

**SURVEYANOMALI MAGNETIK BIJIH BESI DI PESISIR  
PANTAI MARINA KABUPATEN BANTAENG BERDASARKAN  
METODE GEOMAGNETIK**



**Skripsi**

*Diajukan Untuk Memenuhi Salah Satu Syarat Meraih Gelar Sarjana Sains (S.Si)  
Jurusan Fisika Pada Fakultas Sains dan Teknologi  
Universitas Islam Negeri (UIN) Alauddin Makassar*

**Oleh**

**SUSILAS TUTI  
NIM. 60400112006**

**FAKULTAS SAINS DAN TEKNOLOGI  
UNIVERSITAS ISLAM NEGERI (UIN) ALAUDDIN  
MAKASSAR  
2016**

**PERNYATAAN KEASLIAN SKRIPSI**

Dengan penuh kesadaran, penulis yang bertanda tangan di bawah ini menyatakan bahwa skripsi ini benar adalah hasil karya penyusun sendiri. Jika di kemudian hari terbukti bahwa ia merupakan duplikat, tiruan, plagiat, atau dibuat oleh orang lain, sebagian atau seluruhnya, maka skripsi dan gelar yang diperoleh karenanya batal karena hukum.

NAMA : SUSILAS TUTI

NIM : 60400112006

JURUSAN : FISIKA

Gowa, 21 November 2016

Penyusun



**SUSILAS TUTI**  
Nim. 60400112006

### PENGESAHAN SKRIPSI

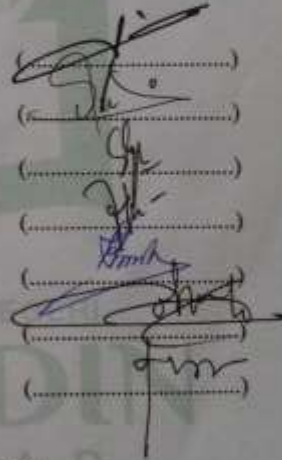
Skripsi yang berjudul, "Survey Anomali Magnetik Bijih Besi di Pesisir Pantai Marina Kabupaten Bantaeng berdasarkan Metode Geomagnetik" yang disusun oleh Susilas Tuti, Nim: 60400112006, mahasiswa Jurusan Fisika pada Fakultas Sains dan Teknologi UIN Alauddin Makassar, telah diuji dan dipertahankan dalam sidang *munaqasyah* yang diselenggarakan pada hari Rabu, tanggal 29 November 2016 M, bertepatan dengan 29 Shafar 1438 H, dinyatakan telah dapat diterima sebagai salah satu syarat untuk meraih gelar sarjana dalam Ilmu Sains, Jurusan Fisika.

Gowa, 29 November 2016 M

29 Shafar 1438 H

#### DEWAN PENGUJI

Ketua : Prof. Dr. H. Arifuddin, M.Ag.  
Sekertaris : Sri Zelviani, S.Si., M.Sc.  
Munaqisy I : Sahara, S.Si., M.Sc., Ph.D.  
Munaqisy II : Ayusari Wahyuni, S.Si., M.Sc.  
Munaqisy III : Dr. Sohrah, M.Ag.  
Pembimbing I : Muh. Said L., S.Si., M.Pd.  
Pembimbing II : Rahmaniah, S.Si., M.Si.



Diketahui oleh:  
Dekan Fakultas Sains dan Teknologi  
UIN Alauddin Makassar



Prof. Dr. H. Arifuddin, M.Ag.  
NIP: 19691205 199303 1 001

## KATA PENGANTAR

Puji syukur atas kehadirat Allah swt dengan segala Rahmat, Hidayah serta keberkahannya yang diberikan kepada penulis sehingga mampu menyelesaikan skripsi yang berjudul *” Survey Anomali Magnetik Bijih Besi di Pesisir Pantai Marina Kabupaten Bantaeng Berdasarkan Metode Geomagnetik ”* sebagai salah satu persyaratan akademis guna memperoleh gelar sarjana S-1 pada Jurusan Fisika Fakultas Sains dan Teknologi, Universitas Islam Negeri Alauddin Makassar.

Dalam proses penyusunan skripsi sangat banyak hambatan yang dihadapi penulis, akan tetapi, berkat doa, kerja keras, serta bantuan dari berbagai pihak hingga akhirnya penulis mampu menyelesaikan skripsi ini. Oleh karena itu, penulis merasa sangat bersyukur dan mengucapkan banyak terima kasih yang sebesar-besarnya kepada semua pihak yang telah meluangkan waktu dan tenaga guna terselesaikan-nya skripsi ini.

Terima kasih penulis hantarkan dengan setulus hati dan kerendahan hati kepada kedua orangtua tercinta Bapak **Abdul Latief Bembang** dan Ibu **Yuliana Patahuddin** yang senantiasa tiada hentinya mendoakan dan memberikan motivasi serta dukungan baik moril maupun materi dengan penuh keikhlasan kepada penulis sehingga dapat menyelesaikan studi starata satu dengan sebagaimana mestinya.

Rasa syukur dan Terima kasih penulis ucapkan kepada Bapak **Muh. Said L. S.Si., M.Pd** selaku pembimbing I dan Ibu **Rahmaniah S.Si., M.Si** selaku pembimbing II, dengan segala ketulusan hati membimbing, bahkan telah banyak

memberikan bantuan kepada penulis baik berupa arahan, nasehat dan semangat dalam menghadapi berbagai macam kendala dan tantangan dalam penyusunan skripsi ini.

Terselesainya skripsi ini tidak terlepas dari bantuan dan motivasi dari berbagai pihak, maka dari itu tidak lupa penulis menyampaikan banyak terima kasih kepada:

1. Bapak **Prof. Dr. H. Musafir Pababbari, M.Si** selaku Rektor UIN Alauddin Makassar.
2. Bapak **Prof. Dr. H. Arifuddin Ahmad, M.Ag** selaku Dekan Fakultas Sains dan Teknologi UIN Alauddin Makassar berserta Pembantu Dekan I, Pembantu Dekan II dan Pembantu Dekan III dan seluruh staf administrasi yang telah memberikan berbagai fasilitas kepada kami selama pendidikan.
3. Ibu **Sahara S.Si., M.Si., Ph.D.** selaku Ketua Jurusan Fisika Fakultas Sains dan Teknologi sekaligus Penguji I yang telah memberi kritikan, saran, nasehat, motivasi kepada penulis dalam proses penyelesaian skripsi ini.
4. Bapak **Ihsan, S.Si., M.Si** Selaku Sekretaris Jurusan Fisika Fakultas Sains dan Teknologi yang telah membantu selama masa studi.
5. Ibu **Ayusari Wahyuni. S.Si., M.Sc** selaku penguji II yang telah memberikan saran, motivasi serta masukan dalam perbaikan skripsi penulis.
6. Ibu **Dr. Sohrah M.Ag** selaku penguji III yang telah memberikan saran, motivasi, masukan dalam perbaikan skripsi penulis.
7. Bapak dan Ibu Dosen Fisika beserta para Staff Jurusan Fakultas Sains dan Teknologi, Universitas Islam Negeri Alauddin Makassar yang telah membekali dan memberikan bantuannya dalam penyusunan skripsi ini.

8. Kepada kakak-kakak Laboran Fisika Bapak **Abdul Mun'im, ST. MT**, Bapak **Mukhtar, ST. MT**, Kak **Nurhaisah, S.Si**, Kak **Ningsih, S.E** yang sangat membantu memberi pencerahan dan bantuan kepada penulis hingga terselesainya tugas akhir ini.
9. Kakanda **Nurdin S.Si** selaku pembimbing lapangan.
10. Kakanda **Anugrah Pratama S.Si** atas semua bantuan dan masukannya selama proses penyelesaian skripsi ini.
11. Para sahabat sebagai tempat berbagi suka dan duka penulis selama proses penyelesaian skripsi ini terlaksana: **Suci Afriyani Sari S.E, Amir Rahman, Muh. Akbar, Muldatulnia Samsul, Ahdiyatul Muqaddas, Nur Hikmah, Rezky Shakiah, Lutpat Trisiani L, Husnul Khatimah S.Si, Asiyati, Kaharuddin S.Si, Arief Rahman S.Si, Abu Rizal ST, Nurbiah S.Ei, Sugiarti S.Ei.**
12. Tim Pasir Besi **Nurhidayat S.Si, Juharni S.Si, Indah Permatasari S.Si, Nur Hidayah S.Si.**
13. Teman-teman Angkatan 2012 (Radiasi) yang selalu memberikan motivasi dan semangat bagi penulis.
14. Kepada semua pihak yang telah memberikan bantuan. Dalam penyusunan skripsi ini. Penulis menyadari masih banyak kekurangan dan kelemahan akibat terbatasnya kemampuan penulis.

Akhir kata penulis mengucapkan banyak terima kasih kepada semua pihak, semoga skripsi ini bermanfaat bagi penulis dan semua orang yang membacanya. Amin ya Robbal alamin,

**Gowa, November 2016**

**Penulis**

**(SUSILAS TUTI)**

## DAFTAR ISI

|  |             |
|--|-------------|
| <b>HALAMAN SAMPUL .....</b>                      | <b>i</b>    |
| <b>HALAMAN PERNYATAAN KEASLIAN SKRIPSI .....</b> | <b>ii</b>   |
| <b>HALAMAN PENGESAHAN MUNAQASYAH .....</b>       | <b>iii</b>  |
| <b>KATA PENGANTAR .....</b>                      | <b>iv</b>   |
| <b>DAFTAR ISI .....</b>                          | <b>viii</b> |
| <b>ABSTRACT .....</b>                            | <b>x</b>    |
| <b>ABSTRAK .....</b>                             | <b>xi</b>   |
| <b>DAFTAR TABEL .....</b>                        | <b>xii</b>  |
| <b>DAFTAR GAMBAR .....</b>                       | <b>xiii</b> |
| <b>DAFTAR LAMPIRAN .....</b>                     | <b>xiv</b>  |
| <b>BAB I PENDAHULUAN</b>                         |             |
| I.1. Latar Belakang .....                        | 1           |
| I.2. Rumusan Masalah .....                       | 5           |
| I.3. Tujuan Penelitian .....                     | 5           |
| I.4. Ruang Lingkup Penelitian.....               | 5           |
| I.5. Manfaat Penelitian .....                    | 7           |
| 1.5.1.Bagi Instansi Pemerintah .....             | 7           |
| 1.5.2.Bagi Masyarakat .....                      | 7           |
| 1.5.3.Bagi Mahasiswa .....                       | 8           |

**BAB II TINJAUAN PUSTAKA**

|                                       |    |
|---------------------------------------|----|
| II.1. Medan Magnet Bumi.....          | 9  |
| II.2. Pasir Besi .....                | 17 |
| II.3. Metode Geomagnet .....          | 23 |
| II.4. Pengolahan Data Geomagnet ..... | 25 |

**BAB III METODOLOGI PENELITIAN**

|  |    |
|--|----|
| III.1. Waktu Dan Tempat.....               | 30 |
| III.2. Alat Dan Bahan .....                | 30 |
| III.3. Prosedur Penelitian.....            | 30 |
| III.4. Teknik Analisis Data Lapangan ..... | 31 |
| III.5. Bagan Alir .....                    | 37 |
| III.6. Rencana Jadwal Kegiatan.....        | 39 |

**BAB IV HASIL PENELITIAN DAN PEMBAHASAN**

|                              |    |
|------------------------------|----|
| IV.1. Hasil Penelitian ..... | 40 |
| IV.2. Pembahasan .....       | 47 |

**BAB V PENUTUP**

|                       |    |
|-----------------------|----|
| V.1. Kesimpulan ..... | 50 |
| V.2. Saran.....       | 50 |

|                            |           |
|----------------------------|-----------|
| <b>DAFTAR PUSTAKA.....</b> | <b>51</b> |
|----------------------------|-----------|

|                           |           |
|---------------------------|-----------|
| <b>RIWAYAT HIDUP.....</b> | <b>53</b> |
|---------------------------|-----------|

## ABSTRACT

**Name : SUSILAS TUTI**  
**Nim : 60400112006**  
**Thesis Title : SURVEY MAGNETIC ANOMALY IRON ORE IN  
COASTAL MARINE MARINA DISTRICT BANTAENG  
BASED GEOMAGNETIC METHOD**

---

---

The purpose of this study was to determine how much the value of the intensity magnetic field and the location of iron ore on the coast of Marina. The method used in this study is based on a method geomagnetic anomaly magnetic field intensity variations rocks containing magnetic minerals in the subsurface. This study uses 73 grid with area is 3 ha. The results obtained from this study is the spread of iron ore in Bantaeng have varying intensity value. For a low magnetic field intensity value by -900nt to -100nt, to the magnetic field intensity was at 100nt up 900nt and to the magnetic field intensity higher by 1000nt up 1800nt. The spread of iron ore located at coordinates  $120^{\circ} 5' 44,48''$  BT until  $5^{\circ} 35' 1,31''$  LS, at a depth of 25-77 m.

*Keywords: Iron Ore, Geomagnetic, Magnetic Anomaly, Magnetic Field Intensity.*

## ABSTRAK

**Nama : SUSILAS TUTI**  
**Nim : 60400112006**  
**Judul Skripsi : SURVEY ANOMALI MAGNETIK BIJIH BESI DI  
PESISIR PANTAI MARINA KABUPATEN BANTAENG  
BERDASARKAN METODE GEOMAGNETIK**

---

---

Penelitian ini bertujuan untuk mengetahui seberapa besar nilai intensitas magnetik dan letak bijih besi di pesisir pantai Marina. Metode yang digunakan pada penelitian ini adalah metode geomagnetik yang didasarkan pada variasi intensitas medan magnet batuan yang mengandung mineral magnetik di bawah permukaan. Penelitian ini menggunakan 73 grid dengan luas wilayah adalah 3 ha. Hasil yang diperoleh dari penelitian ini adalah penyebaran bijih besi di Kabupaten Bantaeng memiliki nilai intensitas yang bervariasi. Untuk intensitas medan magnet rendah nilainya sebesar -900nT hingga -100nT, untuk intensitas medan magnet sedang sebesar 100nT hingga 900nT dan untuk intensitas medan magnet tinggi sebesar 1000nT hingga 1800nT. Penyebaran bijih besi terletak pada koordinat  $120^{\circ} 5' 44,48''$  BT hingga  $5^{\circ} 35' 1,31''$  LS, pada kedalaman 25-77 m.

*Kata Kunci : Bijih Besi, Geomagnetik, Anomali Magnetik, Intensitas Medan Magnet.*

## **DAFTAR TABEL**

---

---

|   |    |
|---|----|
| Tabel 2.1 : Nilai suseptibilitas mineral diamagnetik .....  | 13 |
| Tabel 2.2 : Nilai suseptibilitas mineral paramagnetik ..... | 14 |
| Tabel 3.1 : Hasil pengamatan data di lapangan .....         | 30 |
| Tabel 3.2 : Rencana jadwal kegiatan penelitian .....        | 36 |
| Tabel 4.1 : Posisi jenis batuan pada lintasan A-B .....     | 43 |

## DAFTAR GAMBAR

---

---

|  |    |
|--|----|
| Gambar 2.1 : Elemen medan magnet bumi .....  | 10 |
| Gambar 2.2 : Kurva histeris loop.....  | 12 |
| Gambar 2.3 : Pasir besi .....  | 16 |
| Gambar 3.1 : Model lintasan pengukuran .....                                       | 29 |
| Gambar 4.1 : Hasil kontur intensitas medan magnet total .....                      | 39 |
| Gambar 4.2 : Hasil kontur anomali setelah difilter <i>upward continuitas</i> ..... | 40 |
| Gambar 4.3 : Hasil kontur intensitas medan magnet total setelah difilter .....     | 41 |
| Gambar 4.4 : Lintasan <i>forward modeling</i> .....                                | 42 |

## **DAFTAR LAMPIRAN**

---

---

|   |      |
|---|------|
| Lampiran 1 : Peta lokasi, peta geologi, peta grid data dan peta administrasi..... | L.1  |
| Lampiran 2 : Daftar suseptibilitas magnetik batuan.....                           | L.6  |
| Lampiran 3 : Dumping data lapangan .....  | L.9  |
| Lampiran 4 : Pengolahan data pada software .....                                  | L.11 |
| Lampiran 5 : Hasil pengolahan data pada Ms. Excel 2013 .....                      | L.19 |
| Lampiran 6 : Dokumentasi Penelitian .....   | L.33 |

## **BAB I**

### **PENDAHULUAN**

#### **1.1. Latar Belakang**

Salah satu jenis mineral logam yang banyak dibutuhkan dalam kegiatan perindustrian saat ini adalah logam besi. Biasanya logam besi digunakan sebagai bahan campuran semen, bahan pembuatan kendaraan bermotor, bahan dasar tinta kering (*toner*) untuk mesin fotocopy maupun keperluan rumah tangga lainnya. Berkaitan dengan meningkatnya permintaan logam besi ini, maka dibutuhkan bahan baku yang tidak sedikit jumlahnya. Bahan baku tersebut dapat diperoleh dari salah satu sumber daya alam (SDA) yaitu pasir besi (Moe tamar, 2008: 1-2).

Pasir besi merupakan endapan pasir yang mengandung mineral seperti magnetit, ilmenit dan oksida besi. Terbentuk karena adanya proses transportasi melalui media air, cuaca maupun gelombang terhadap batuan yang mengandung mineral logam besi yang kemudian mengalami proses sedimentasi, sehingga untuk jenis batuan yang lebih ringan massanya akan terkikis oleh air permukaan maupun cuaca dan terendapkan di pesisir pantai (Tim Direktorat Inventarisasi Sumber Daya Mineral, 2005: 1). Ganesa pasir besi terdapat pada batuan beku yang berupa batu basal dan breksi yang tergolong dalam batuan beku luar. Salah satu wilayah di Sulawesi Selatan yang memiliki kondisi geologi menyerupai ganesa pembentukan pasir besi adalah di pesisir pantai Marina, kabupaten Bantaeng.

Sebelumnya telah dilakukan penelitian mengenai pasir besi oleh Moe Tamar pada 2008 dalam jurnal yang berjudul "*Eksplorasi Umum Pasir Besi di Daerah kabupaten Jeneponto*". Penelitian ini dilakukan di sepanjang pantai desa Bulo-bulo, kecamatan Arungkeke dan Kelurahan Pabiringan, kabupaten Jeneponto dengan menggunakan metode pemetaan dan pengeboran. Hasil penelitian diperoleh bahwa sumber daya pasir besi daerah Punagaya adalah sebesar 20.102 ton dengan total keseluruhan sumber daya pasir besi dari keempat sektor yakni Bulo-bulo, Kampala dan Pabiringa adalah sebesar 120.554 ton.

Kabupaten Jeneponto secara geologi memiliki jenis batuan yang mirip dengan kabupaten Bantaeng, yakni jenis batuan breksi, lahar dan tufa. Selain kemiripan jenis batuan pada daerah tersebut, letak kedua kabupaten ini pun berada pada satu garis pantai yang berdekatan, sehingga pendugaan adanya pasir besi pada daerah kabupaten Bantaeng dapat dimungkinkan.

Secara geografis kabupaten Bantaeng terletak pada  $05^{\circ} 21'15''$  LS sampai  $05^{\circ} 34' 3''$  LS dan  $119^{\circ} 51'07''$  BT sampai  $120^{\circ} 51' 07''$  BT. Karakteristik batuan yang berada di kabupaten ini terdiri atas jenis batuan breksi laharik, batuan breksi piroklastik, kelompok basal dan batuan alluvial (POKJA Bantaeng, 2015). Beranjak dari literatur sebelumnya maka peneliti akan mengkaji mineral bijih besi yang berada di kabupaten Bantaeng tepatnya di sekitar pesisir pantai Marina.

Pasir besi yang berada di pesisir pantai Marina, kabupaten Bantaeng terbentuk dari peristiwa tektonik gunung api Lompobattang. Peristiwa tersebut

mengeluarkan tiga buah batuan rombakan gunung api yakni breksi, lahar dan tufa yang dikenal sebagai formasi Lompobattang. Batuan tersebut tertransportasi oleh salah satu media yakni sungai, sebagaimana diketahui bahwa pada daerah tersebut dialiri oleh sepuluh aliran sungai yang terhubung langsung dengan pantai marina, sehingga batuan yang tertransportasi tadi selanjutnya tersedimentasi dengan waktu yang cukup lama, kemudian terkikis oleh air permukaan maupun cuaca dan terendapkan di pesisir pantai, sehingga terbentuklah endapan pasir besi.

Hasil penelitian yang telah dilakukan oleh Juharni pada tahun 2016 dengan menggunakan metode observasi, dokumentasi dan uji laboratorium mengenai kandungan bijih besi di pesisir Pantai Marina kabupaten Bantaeng, diperoleh bahwa bijih besi dengan menggunakan uji XRF (X-Ray Fluorescence) adalah tergolong jenis *hematite* ( $Fe_2O_3$ ) dengan ciri-ciri fisik yakni berwarna kehitam-hitaman. Sementara untuk karakteristik morfologi yang diuji menggunakan SEM dengan perbesaran 200 kali diperoleh hasil karakteristik bijih besi yang teratur dan jenis mineral besi yang diperoleh adalah *magnetit* ( $Fe_3O_4$ ) dengan kadar bijih besi yang lebih randah (Juharni, 2016).

Metode lainnya yang dapat digunakan untuk mengetahui kedalaman maupun nilai anomali magnetik pasir besi adalah metode geomagnet. Sebelumnya metode ini pernah digunakan untuk mengetahui potensi bijih besi di Pantai Pabiringa, Kabupaten Jeneponto. Dari hasil penyelidikan diperoleh anomali magnetik bervariasi antara - 276 nT sampai 341 nT. Model penyebab anomali magnetik di daerah penelitian,

terdapat sumber anomali magnetik yang diperkirakan berupa batuan beku yang telah mengalami pelapukan dan mineralisasi berupa mineral logam besi dan paduan besi sehingga mengandung (magnetit) yang terendapkan di sekitar pantai yang berbentuk lapisan-lapisan dengan konsentrasi yang bervariasi pada kedalaman sekitar 1 m hingga 7 m (Aryadi Nurfalaq, 2009).

Berdasarkan literatur tersebut maka peneliti akan mengkaji mengenai potensi bijih besi daerah kecamatan Pajukukang, kabupaten Bantaeng, Sulawesi Selatan dengan menggunakan metode geomagnet. Secara geografis kecamatan pajukukang berada pada  $120^{\circ} 01' 08''$  BT dan  $05^{\circ} 33' 30''$  LS, dengan luas  $48,90 \text{ km}^2$ . Berdasarkan Data geologi, kecamatan Pajukukang memiliki pesebaran jenis batuan breksi laharik, aluvial dan tufa (POKJA Bantaeng, 2015).

Metode geomagnet merupakan metode yang digunakan untuk mengetahui nilai *susceptibilitas* batuan berdasarkan sifat kemagnetan batuan. Metode geomagnet sering digunakan dalam kegiatan eksplorasi minyak bumi, gas bumi dan mineral batuan. Metode geomagnet ini sensitif terhadap perubahan vertikal, umumnya digunakan untuk mempelajari tubuh intrusi, batuan dasar, urat *hydrothermal* yang kaya akan mineral *ferromagnetic* dan struktur geologi (Broto Sudaryo<sup>2011: 79</sup>).

Penelitian geomagnet di kecamatan pajukukang dilakukan dengan menghitung anomali medan magnet berdasarkan sifat kemagnetan batuan. Metode geomagnet dipilih karena metode ini biasanya digunakan untuk mengetahui kedalaman batuan dangkal struktur bawah permukaan dengan berdasarkan sifat

kemagnetan, memiliki kemudahan dan kecepatan dalam proses pengambilan data selain itu baik untuk mencari mineral magnetik. Dari riwayat tersebut maka diharapkan setelah peneliti melakukan identifikasi mengenai mineral bijih besi di pantai Marina kabupaten Bantaeng dapat memberikan informasi mengenai seberapa besar nilai anomali medan magnet serta letak penyebaran bijih besi yang nantinya dapat dijadikan sebagai informasi mengenai adanya bijih besi di pesisir pantai Marina.

### **1.2. Rumusan Masalah**

Rumusan masalah yang diangkat pada penelitian ini adalah:

1. Seberapa besar nilai intensitas medan magnet di pesisir pantai Marina, dengan menggunakan magnetometer berdasarkan metode geomagnetik?
2. Dimana letak sebaran mineral bijih besi daerah pesisir pantai Marina, dengan menggunakan magnetometer berdasarkan metode geomagnetik?

### **1.3. Tujuan Penelitian**

Tujuan pada penelitian ini adalah:

1. Mengetahui seberapa besar nilai intensitas medan magnet di pesisir pantai Marina, dengan menggunakan magnetometer berdasarkan metode geomagnetik.
2. Mengetahui letak sebaran mineral bijih besi daerah pesisir pantai Marina, dengan menggunakan magnetometer berdasarkan metode geomagnetik.

#### 1.4. Ruang Lingkup Penelitian

Ruang lingkup pada penelitian ini yaitu:

1. Penelitian ini terbatas pada pengukuran nilai intensitas medan magnet dan letak sebaran bijih besi berdasarkan metode geomagnet.
2. Penelitian ini menggunakan jumlah lintasan dan jarak antar grid diambil sebanyak 3 lintasan dan jarak antar grid-nya 20 m sebab, pada daerah lokasi penelitian hanya dapat menjangkau hingga 3 lintasan. Untuk lintasan pertama berada pada koordinat  $120^{\circ} 06' 5,78''$  BT dan  $5^{\circ} 35' 10,37''$  LS hingga  $120^{\circ} 06' 43,47''$  BT dan  $5^{\circ} 35' 4,99''$  LS, lintasan kedua berada pada  $120^{\circ} 06' 43,44''$  BT dan  $5^{\circ} 35' 4,05''$  LS hingga  $120^{\circ} 06' 6,24''$  BT dan  $5^{\circ} 35' 9,47''$  LS dan untuk lintasan ketiga berada pada  $120^{\circ} 06' 6,60''$  BT dan  $5^{\circ} 35' 8,59''$  LS hingga  $120^{\circ} 06' 48,93''$  BT dan  $5^{\circ} 35' 3,30''$  LS. Kemudian untuk jarak antar gridnya diperoleh dari nilai pertengahan antar grid pertama dan selanjutnya sebab jika jarak yang digunakan terlalu besar maka kemungkinan hasil interpretasi akan kurang maksimal. Sehingga untuk total keseluruhan grid adalah sebanyak 73 grid.
3. Jarak antar lintasan satu dengan lintasan lainnya adalah sebesar 30 m. Dengan jarak pada masing-masing lintasan terhadap *base* adalah sebesar 40 m. Dengan letak *base* berada pada koordinat  $120^{\circ} 06' 6,43''$  BT dan  $5^{\circ} 35' 10,15''$  LS.
4. Luas daerah yang digunakan dalam penelitian seluas 3 ha. Dengan letak titik awal pengambilan data berada pada koordinat  $120^{\circ} 06' 5,78''$  BT dan  $5^{\circ} 35'$

10,37 ° LS hingga 120° 06' 48,93 ° BT dan 5° 35' 3,30" LS yang mengarah dari arah timur ke barat.

5. Alat yang digunakan adalah jenis magnetometer geotron G5 proton sebanyak satu unit.
6. Variabel yang terukur di lapangan adalah koordinat, stasiun, elevasi, waktu, tanggal dan nilai medan magnet.
7. Variabel yang dihitung adalah berupa koreksi harian, koreksi saat *looping* di base, koreksi alat, koreksi nilai base, koreksi igrf.
8. Software yang digunakan pada proses pengolahan data adalah *Ms. Excel 2013* digunakan untuk menghitung faktor koreksi, *Surfer 10* digunakan untuk menampilkan peta kontur anomali intensitas medan magnet, *Magpick* digunakan untuk proses *filtering* peta kontur dan *Mag2Dc* digunakan untuk melakukan pemodelan lapisan bawah permukaan.

## **1.5. Manfaat Penelitian**

Dengan melakukan survey lokasi di daerah pesisir Pantai Marina maka manfaat yang dapat diperoleh adalah sebagai berikut:

### **1.5.1. Bagi Instansi Pemerintah**

Manfaat yang diperoleh pemerintah melalui penelitian ini adalah dapat digunakan sebagai:

1. Bahan informasi atau data mengenai potensi endapan pasir besi ke dalam bentuk, letak serta penyebarannya di daerah pesisir pantai Marina.

2. Dapat digunakan sebagai bahan informasi kepada pihak pengelolah sumber daya alam dan mineral yang dapat dimanfaatkan untuk berbagai macam kepentingan.

#### **1.5.2. Bagi Masyarakat**

Manfaat yang diperoleh masyarakat sesuai dengan hasil penelitian adalah dapat dijadikan bahan informasi awal bagi masyarakat kabupaten Bantaeng khususnya mengenai endapan pasir besi di pesisir Pantai Marina.

#### **1.5.3. Bagi Mahasiswa**

Manfaat yang diperoleh mahasiswa pada penelitian ini adalah:

1. Menambah khasanah keilmuan dengan jenis metode geofisika yakni metode geomagnetik.
2. Menambah pengetahuan tentang pasir besi dengan berdasarkan metode geomagnet.

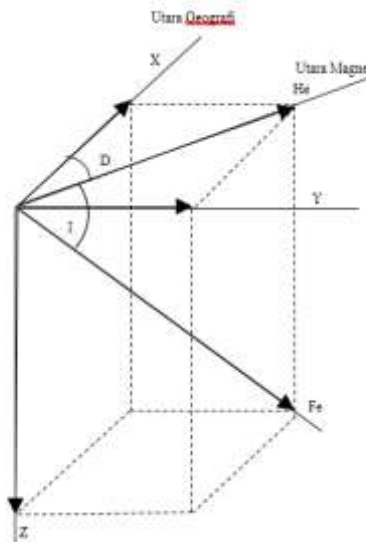
## **BAB II**

### **TINJAUAN TEORETIS**

#### **2.1. Medan Magnet Bumi**

Magnet atau magnit merupakan sebuah objek yang memiliki sebuah medan magnet. Medan magnet adalah daerah disekitar magnet yang diperangaruhi gaya magnetisnya. Salah satu metode geofisika yang didasarkan pada medan magnet bumi adalah metode geomagnetik. Dalam metode geomagnet ada yang disebut sebagai *geomagnetic pole* atau kutub dipole yang merupakan sudut kutub geografis dari permukaan bumi terhadap sumbu magnet batang yang diperkirakan sebagai bidang geomagnetik. Secara sederhana di dalam inti bumi terdapat sebuah batang magnet besar atau dengan kata lain *dipole* magnetik yang menimbulkan adanya medan magnet. Medan magnet yang ditimbulkan oleh batang magnet raksasa tidak berhimpit dengan pusat bumi. Menurut hasil perhitungan simetris diperoleh bahwa *dipole* magnetik memotong permukaan bumi, sehingga letak kutub utara dan kutub selatan magnetik bumi adalah  $75^\circ$  LU,  $101^\circ$  BB dan  $67^\circ$  LS,  $143^\circ$  BT. Hal ini disebabkan karena pusat sumbu *dipole* pada inti bumi miring  $\pm 18^\circ$  terhadap diameter kutub-kutub bumi, sehingga kutub utara geografis bumi tidak terletak pada tempat yang sama persis dengan kutub selatan magnetik bumi (Deniyanto, 2010: 77-78).

Elemen medan magnet bumi dapat diukur yakni meliputi besaran dan arah (vektor). Parameter fisis tersebut dinyatakan sebagai *inklinasi* (I), *deklinasi* (D), intensitas horizontal (H), medan magnet total (F). *Inklinasi* adalah posisi (sudut) pengamat ketika berada antar medan magnet total dengan bidang horizontal yang dihitung dari bidang horizontal menuju bidang vertikal ke bawah. *Deklinasi* adalah penyimpangan antara utara magnetik dengan komponen horizontal yang dihitung dari utara menuju timur. Intensitas horizontal adalah besar dari medan magnetik total pada bidang horizontal. Medan magnet total <sup>8</sup>lah besar dari vektor medan magnetik total (Bagus jaya santosa, dkk., 2012: 8). Elemen tersebut terlihat pada gambar berikut:



Gambar: 2.1. Elemen–elemen medan magnet bumi.

(Sumber : Telford. W. M.1976: 68).

Keterangan:

H<sub>e</sub>: Medan magnet horizontal (T)

F<sub>e</sub>: Medan magnet total (T)

X: Utara geografi

Y: Timur geografi

Z: Medan magnet vertikal ( $T$ )

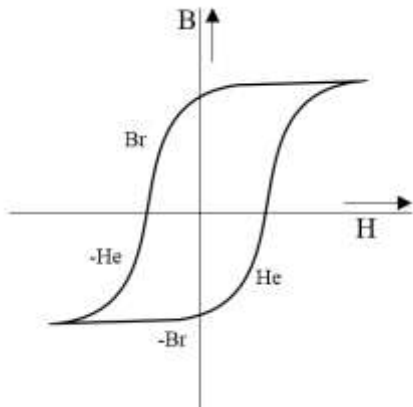
Kuat medan magnet yang terukur di permukaan bumi sebagian besar berasal dari dalam bumi (*internal field*) yang mencapai  $\pm 90\%$ . Sedangkan sisanya adalah medan magnet dari kerak bumi yang merupakan target dalam eksplorasi geofisika (*external field*) (Deniyanto, 2010: 78).

Medan magnet utama (*main field*) merupakan medan rata-rata hasil pengukuran dalam jangka waktu yang cukup lama dimana nilai variasinya terhadap waktu sangat kecil. Pada medan magnet luar (*external field*) merupakan target dalam eksplorasi geofisika. Pengaruh medan magnet luar berasal dari pengaruh luar bumi yang merupakan hasil ionisasi di atmosfer yang ditimbulkan oleh sinar ultraviolet dari matahari. Karena sumber medan luar ini berhubungan dengan arus listrik yang mengalir dalam lapisan terionisasi di atmosfer, maka perubahan medan ini terhadap waktu jauh lebih cepat. Selanjutnya untuk medan magnet anomali atau sering juga disebut medan magnet lokal (*crustal field*) disebabkan oleh adanya mineral bermagnet yang terdapat di bawah permukaan bumi maupun disekitarnya, maka dari itu perubahannya konstan terhadap waktu. Anomali ini disebabkan karena gangguan lokal yang berada di kerak bumi. Jika anomali cukup besar, maka besar medan magnet akan menjadi dua kali lipat dari medan magnet utama. Anomali merupakan sebuah penyimpangan, dalam hal ini anomali magentik merupakan sebuah penyimpangan medan magnet yang disebabkan karena adanya

batuan yang mengandung mineral magnetik, yang kemudian dijadikan tujuan utama dalam penyelidikan geomagnet (Bagus Jaya Santosa, dkk., 2012: 8).

Anomali yang diperoleh dari survey merupakan gabungan medan magnet ramen dan medan magnet induksi. Medan magnet ramen memiliki peran pada besar magnetisasi batuan dan arah medan magnetnya. Medan magnet induksi memiliki peran pada sisa kemagnetannya yang merupakan akibat dari magnetisasi medan utama, jika arah medan magnet ramen dan induksi sama besar maka anomalinya akan bertambah besar. Namun dalam survey magnetik efek medan magnet ramen akan diabaikan apabila anomali magnetik kurang dari 25% medan magnet bumi (Telford. W. M , 1976: 73).

Di dalam sebuah magnet terdapat medan magnet (H), medan magnet merupakan suatu medan yang dibentuk dengan menggerakan muatan listrik (arus listrik) yang menyebabkan munculnya gaya dimuatan listrik yang bergerak lainnya. Sebuah medan magnet dapat didentifikasi dalam kekuatan dan arah. Ukuran magnetisme dari medan magnet disebut sebagai fluks medan magnet (B). Fluks medan magnet dapat didefinisikan sebagai ukuran medan magnet dalam penampang tertentu. Maka jelaslah bahwa fluks magnet dan medan magnet sangat berkaitan, dimana jika semakin besar ukuran medan magnet suatu mineral yang mengandung magnetik maka kekuatan dan arah medan magnetnya akan semakin besar pula. Seperti yang ditunjukkan pada kurva *histeresis loop* berikut:



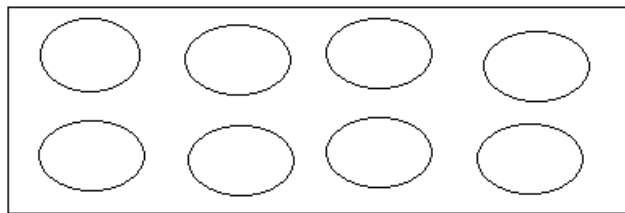
Gambar: 2.2. Kurva *histeris loop*

(Sumber: Telford. W. M. 1976: 64)

Bahan magnetik dapat diklasifikasikan menjadi beberapa jenis yang sesuai dengan respon magnetisasinya terhadap pengaruh kuat medan magnet luar. Pengklasifikasian ini didasarkan pada spin elektron dari atom penyusun bahan tersebut. Spin elektron inilah yang akan menentukan apakah suatu medium dapat dikatakan bersifat magnet atau tidak. Dalam hal ini elektron sebagai ion negatif yang menghasilkan momen-momen magnetik, sehingga jika elektron pada atom suatu medium/ bahan berpasangan maka elektron tersebut tidak akan menarik garis-garis gaya magnetik luar begitu pula sebaliknya (Preason Prentice Hall, Inc, 2005: 5).

### 1) Diamagnetik

Diamagnetik merupakan mineral yang mempunyai sifat suseptibilitas negatif atau kecil dan tidak tergantung pada medan magnet luar maka intensitas induksi akan berlawanan arah dengan gaya magnetnya. Orbit elektron pada benda ini selalu berlawanan dengan medan magnet dari luar. Harga suseptibilitas magnetik untuk bahan ini adalah sebesar  $(-8 < k < 310) \times 10^{-6}$  emu, (Broto Sudaryo, 2011: 82).



Gambar: 2.3. Arah polarisasi diamagnetik

(Sumber: Syamsu Rosyid, 2008: 34)

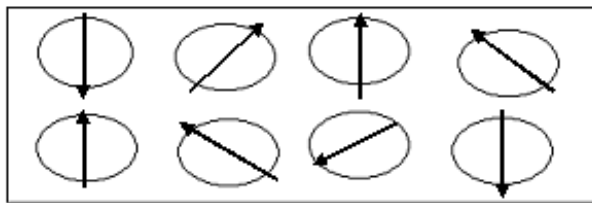
Tabel: 2.1: Nilai Suseptibilitas Mineral Diamagnetik

| Mineral                   | Diamagnetisme ( $\times 10^{-6}$ emu) |
|---------------------------|---------------------------------------|
| Bismut                    | -0,166                                |
| Karbon ( <i>Berlian</i> ) | -0,21                                 |
| Karbon ( <i>Grafit</i> )  | -0,16                                 |
| Tembaga                   | -0,1                                  |
| Timbal                    | -0,18                                 |
| Mercuri                   | -0,29                                 |
| Perak                     | -0,26                                 |
| Air                       | -0,091                                |

Sumber: <http://www.digilib.unila.ac.id/131/12/bab%20III.pdf>.

## 2) Paramagnetik

Paramagnetik yaitu mineral yang jumlah elektron pada kulit atomnya tidak lengkap (sebagian ada elektron yang tidak berpasangan). Tanpa pengaruh dari kuat medan luar, momen magnetik memiliki arah orientasi yang acak jika terdapat pengaruh dari medan magnet luar. Maka dari itu momen magnetiknya akan sejajar dan searah dengan medan tersebut. Namun magnetisasi yang akan dihasilkan sangatlah kecil terhadap kuat medan magnetnya sehingga harga sifat suseptibilitas positif atau  $\geq 1$  dan tergantung pada suhu (Preason Prentice Hall, Inc, 2005: 11)



Gambar: 2.4. Arah polarisasi paramagnetik

(Sumber: Syamsu Rosyid, 2008: 34)

Tabel: 2.2: Nilai Suseptibilitas Mineral Paramagnetik

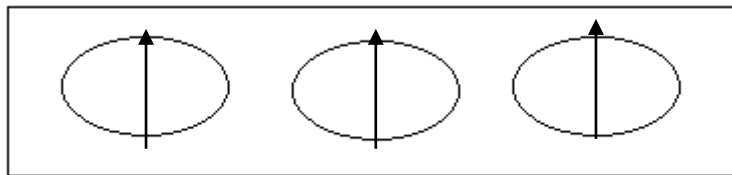
| Mineral          | Paramagnetik ( x 10 <sup>-6</sup> emu) |
|------------------|--|
| <i>Tungsten</i>  | 0,68                                   |
| <i>Cesium</i>    | 0,51                                   |
| <i>Aluminium</i> | 0,22                                   |
| <i>Lithium</i>   | 0,14                                   |
| <i>Magnesium</i> | 0,12                                   |
| <i>Sodium</i>    | 0,072                                  |

Sumber: <http://www.digilib.unila.ac.id/131/12/bab%20III.pdf>

### 3) Feromagnetik

Feromagnetik yaitu mineral yang memiliki nilai kerentanan magnet besar, misalnya berbagai batuan beku basa atau ultra basa (Broto Sudaryo, 2011: 82). Ada dua karakteristik dari bahan feromagnetik yaitu magnetisasi spontan dan tingkat kemagnetan yang tidak bergantung pada suhu, berbeda dengan paramagnetik. Mempunyai sifat *susceptibilitas* positif dan jauh lebih besar dari satu dan suseptibilitas k tidak bergantung dari temperatur. Sebab material atomnya memiliki momen magnet dan interaksi antar atomnya sangat kuat sehingga menghasilkan kombinasi magnet yang kuat. Pada temperatur di atas suhu kritis atau *titik curie* maka gerak termal-nya sudah cukup besar untuk merusak keteraturan dari arah bahan ini dan pada saat itu

maka bahan ferromagnetik akan berubah menjadi paramagnetik (Barita Uli Basa Mangatur Siahaan, 2009: 28).



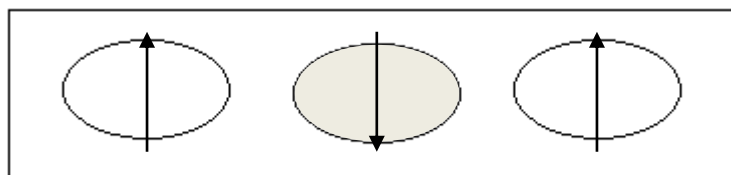
Gambar: 2.5. Arah polarisasi ferromagnetik

(Sumber: Syamsu Rosyid, 2008: 32)

Ferromagnetik dibagi menjadi dua yaitu:

a) *Antiferromagnetik*

Pada bahan *antiferromagnetik* domain-domain tadi menghasilkan *dipole* magnetik yang saling berlawanan arah sehingga momen magnetik secara keseluruhan sangat kecil. *Susceptibilitas*-nya seperti pada bahan *paramagnetic*, tetapi harganya naik sampai dengan *titik curie* kemudian turun lagi menurut hukum *curie-weiss*. Contoh: *hematit* ( $\text{Fe}_2\text{O}_3$ ) (Andi Tendri Awali Wildasana, dkk., 2014: 18).



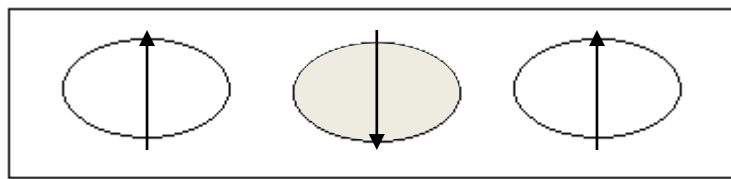
Gambar: 2.6. Arah polarisasi antiferromagnetik

(Sumber: Syamsu Rosyid, 2008: 33)

b) *Ferrimagnetik*

Pada bahan *ferrimagnetik* domain-domain tadi juga saling anti paralel tetapi jumlah *dipole* pada masing-masing arah tidak sama sehingga masih

mempunyai resultan magnetisasi cukup besar. *Susceptibilitas*-nya tinggi dan tergantung pada temperatur. Contoh: *magnetit* ( $Fe_3O_4$ ), *ilmenit* ( $FeTiO_3$ ), *pirhotit* ( $FeS$ ), *hematit* ( $Fe_2O_3$ ), *ferrite* ( $NiOFe_2O_3$ ) (Andi Tendri Awali Wildasana, dkk., 2014: 19).



Gambar: 2.7. Arah polarisasi ferrimagnetik

(Sumber: Syamsu Rosyid, 2008: 33)

## 2.2. Pasir Besi

Pasir besi merupakan salah satu endapan besi yang selain telah dimanfaatkan sebagai bahan campuran dalam industri semen, juga memiliki prospek untuk dikembangkan sebagai bahan baku besi baja sesuai dengan perkembangan teknologi pengolahan dan kebutuhan pasar (Tim Direktorat Investasi Sumber Daya Mineral, 2005: 1).

Besi merupakan batuan yang mengandung mineral-mineral besi yang terkandung di dalamnya. Endapan besi yang ekonomis umumnya berupa *magnetite*, *hematite*, *limonite* dan *siderite*. Kadang kala dapat berupa mineral: *pyrite*, *pyrhotite*, *marcasite* dan *chamosite*. Besi adalah unsur kuat logam VIII B yang memiliki nomor atom 26. Logam besi merupakan logam kedua yang paling banyak digunakan dimuka bumi ini (Vlack Va H Lawarence, 2004: 25).



Gambar: 2.8. Pasir Besi

Pasir besi yang telah *diekstrak* akan menjadi mineral bijih besi. Mineral bijih besi ini nantinya akan diolah menjadi besi yang banyak digunakan saat ini. Sejak peradaban Mesopotamia hingga zaman sekarang besi merupakan salah satu jenis logam yang jumlah pemakaiannya sangat banyak. Dapat dikatakan besi merupakan tulang punggung peradaban moderen karena kekuatan dan ketahanannya. Misalnya saja tentang kekuatan besi yang digunakan sebagai kerangka jembatan, bisa dibayangkan betapa kuatnya besi, dimana setiap saat menerima beban secara kontinu, yakni selalu dibebani oleh mobil yang melewati jembatan tersebut, akan tetapi jembatan tersebut tetap kokoh dan tidak hancur.

Semua fakta ini merupakan salah satu bukti bahwa ayat-ayat kauniyah (hukum-hukum Allah swt di Jagat Raya) bersesuaian dengan ayat-ayat qauliyah (firman Allah swt), seperti yang dijelaskan dalam surah Al-Hadid ayat 25 yang berbunyi:

لَقَدْ أَرْسَلْنَا رَسُولَنَا بِالْبَيِّنَاتِ وَأَنْزَلْنَا مَعَهُمُ الْكِتَابَ وَالْمِيزَانَ لِيَقُولَمُ الْنَّاسُ بِالْقِسْطِ  
وَأَنْزَلْنَا الْحَدِيدَ فِيهِ بَاسٌ شَدِيدٌ وَمَنْفَعٌ لِلنَّاسِ وَلِيَعْلَمَ اللَّهُ مَنْ يَنْصُرُهُ وَرَسُولُهُ بِالْغَيْبِ إِنَّ  
اللَّهَ قَوِيٌّ عَزِيزٌ

Terjemah-Nya:

Sesungguhnya Kami telah mengutus Rasul-rasul Kami dengan membawa bukti-bukti yang nyata dan telah Kami turunkan bersama mereka Al kitab dan neraca (keadilan) supaya manusia dapat melaksanakan keadilan. dan Kami ciptakan besi yang padanya terdapat kekuatan yang hebat dan berbagai manfaat bagi manusia, (supaya mereka mempergunakan besi itu) dan supaya Allah mengetahui siapa yang menolong (agama)-Nya dan rasul-rasul-Nya Padahal Allah tidak dilihatnya. Sesungguh-Nya Allah Maha kuat lagi Maha Perkasa (Departemen Agama R.I, 2002: 541).

Menurut M. Quraish Shihab dalam tafsir Al-misbah Vol 9 menjelaskan bahwa kata *Dan Kami turunkan*, yakni ciptakan, juga *besi yang padanya terdapat kekuatan yang hebat*, antara lain dapat dijadikan alat untuk melawan kezaliman *dan berbagai manfaat* lain *bagi* kebutuhan dan kenyamanan hidup *manusia*. Dalam Tafsir al-muntakhab, dikemukakan antara lain bahwa ayat ini menjelaskan bahwa besi mempunyai kekuatan yang dapat membahayakan dan dapat pula menguntungkan bagi umat manusia. Bukti paling kuat tentang hal ini adalah bahwa lempeng besi, dengan berbagai macamnya, secara singkat mempunyai keistimewaan dalam bertahan menghadapi panas, tarikan, kekaratan dan kerusakan, di samping itu juga lentur hingga dapat menampung daya magnet. Karenanya besi adalah logam paling cocok untuk bahan senjata dan peralatan perang, bahkan merupakan bahan baku berbagai macam industri berat dan ringan yang dapat menunjang kemajuan peradaban (Tafsir Al-Misbah, 2002: 452).

Surah Al-Hadid adalah salah satu surah yang turun di Madinah. Ia adalah satu-satunya surah yang memuat sebuah nama unsur yang mudah dikenal manusia. Di mana unsur-nya bisa mencapai 105 buah unsur. Surah ini turun di antara masa-masa Perang Uhud, pada awal terbentuknya Negara Islam di Madinah. Nama surah terambil dari kalimat *wa anzalna-hadida*, ayat 25. Ketika perang Uhud terjadi karena alat yang digunakan oleh nabi dan para sahabat hanya sebuah tombak maka turunlah ayat ini dan singkat cerita besi pada zaman itu dijadikan pedang untuk melawan para kaum non muslim, karena kekuatan dan kehebatanya.

Berdasarkan integrasinya dengan ilmu sains dan teknologi ayat 25 Q.S al-hadid dimana Allah sebagai pencipta jagat raya ini memilih kalimat “*anzalna*” yang berarti “*Telah Kami turunkan*”, bukan kalimat “*Kholaqna*” yang berarti “*telah kami ciptakan*”. Menurut peneliti yakni Profesor asal Amerika Serikat yang merupakan empat dari perwakilan astronot NASA mengatakan bahwa mustahil besi itu hasil ciptaan di bumi. Besi harus tercipta di langit lalu kemudian turun ke bumi. Itu karena pembentukan zat besi hanya satu. Ketika kami hitung, kami menjumpai bahwa besi membutuhkan sebuah daya dari daya atau kekuatan galaksi sebanyak empat kali lipat. Jadi, besi adalah sebuah unsur yang datang dari alam semesta ini (IR. Agus Haryo sudarmojo, 2013).

Para ahli astronomi menganalisa bahwa asal muassal kekayaan besi bukan dari planet bumi. Tapi dari luar angkasa. Dengan kata lain besi berasal dari serpihan-serpihan gugusan bintang dan meteor di mana pelapis udara (ozon) berubah menjadi

abu ketika masuk ke wilayah bumi. Sementara yang bagian serpihan yang lainnya memiliki bentuk yang beragam. Akibat Besi yang berasal dari tumbukan asteroid terkonsentralisasikan di dalam inti bumi, maka bumi membentuk lapisan magnetosfer yang melindunginya dari serangan badai Matahari. Lelehan besi tersebut mengalir sejauh ribuan kilometer dari permukaan mengikuti perjalanan-nya menuju inti bumi (Iin Hurun'in, 2014).

Unsur besi tidak akan mungkin terdiri dari dalam kumpulan galaksi. Matahari sendiri adalah jenis bintang yang memiliki rasa panas dan daya yang tidak cukup untuk menyatu dengan unsur besi. Inilah alasan yang membuat para ahli mengatakan bahwa bahan dasar besi terjadi di luar galaksi kita (bima sakti). Lalu kemudian turun ke bumi melalui jalan meteor dan gugusan-gugusan bintang. Para ahli astronomi berkeyakinan sekarang bahwa meteor-meteor yang gugusan-gugusan bintang tidak lain adalah serpihan-serpihan dengan berbagai macam bentuknya. menyatu dari bahan dasar besi dan lain-nya. Oleh karena itu bahan dasar besi merupakan barang tambang pertama yang dikenal manusia di atas muka bumi ini, karena ia jatuh dengan bentuknya yang bersih dari atas langit menyerupai komet (Iin Hurun'in, 2014).

Berdasarkan penjelasan ayat dan tafsir sebelumnya maka peneliti berkesimpulan bahwa kata “*Fiihi ba’sun syadiid*” yang artinya “*padanya terdapat kekuatan yang hebat*” telah menjelaskan tentang kekuatan besi yang beraneka ragam sesuai dengan keperluan hidup manusia, misalnya seperti yang telah dijelaskan

sebelumnya mengenai pemanfaatan besi sebagai rangka jembatan ataupun sebagai bahan baku pembuatan senjata dan lain sebagainya.

Simbol kekuatan dan keadilan dari surah Al-Hadid ini dalam konteks ilmiahnya sebenarnya telah menjelaskan bahwa logam besi yang diturunkan memang terbukti sebagai jenis logam yang sangat kuat. Secara kimiawi besi sendiri berada pada isotop 57, dimana jenis isotop ini memiliki karakteristik yang berbeda dibandingkan isotop lainnya. No atom pada isotop ini berjumlah 26 dengan jumlah elektron adalah 31 maka jika dijumlahkan jumlahnya adalah 57. Maka bukan secara kebetulan jika surah Al-Hadid ini berada dalam urutan surah ke 57.

Berdasarkan penjelasan tabel al-jumuah huruf Alif=1, Lam=30, Ha'=8, Do'=4, Ya=10 dan Do'=4 yang jika di jumlah  $1+30+8+4+10+4= 57$ , hal ini berarti menandakan bahwa surah Al-Hadid ayat 57 yang menginformasikan mengenai kekuatan dan keadilan dari besi itu sendiri memang sangat istimewa. Maka maha suci Allah dengan segala ciptaannya.

Dari uraian tersebut di atas maka tidak dapat dipungkiri lagi bahwa jauh sebelum ilmu pengetahuan menemukan akan adanya kekuatan dan kandungan besi dalam bumi sebelumnya Al-qur'an-lah yang terlebih dahulu telah menemukan dan telah dijelaskan dalam Qs. Al-Hadid ini. Maka dari itu dapat pula disimpulkan bahwasalnya ilmu pengetahuan khususnya pengkajian mengenai besi ini memang tidak bertentangan dengan ayat Al-qur'an yang lebih dulu telah membahasnya. Untuk itu tidak dapat dipungkiri memang bahwasalnya Al-qur'an sejatinya adalah petunjuk

dan penerang bagi umat manusia, bukan saja sebagai pedoman hidup, terlebih khusus dapat dijadikan sumber informasi pengetahuan khususnya untuk bias dikaji sesuai dengan prespektif ilmu sains saat ini. Berdasarkan semua penjelasan mengenai keistimewaan dari Al-qur'an terlebih pada surah al-Hadid ayat 57 maka nikmat Tuhan kamu manakah yang kamu dustakan. Maha suci Allah dengan segala kebesaran dan kemuliaannya. Jadi sepatutnya-lah kita sebagai umat manusia tidak menya-nyiakan ataupun bermalas-malasan dalam membaca pun mengkaji Al-qur'an namun tidak dilakukan secara serakah atau berlebih-lebihan terutama yang sifatnya hanya untuk pribadi ataupun dunia semata.

Mekanisme awal terbentuknya deposit mineral bijih besi ialah karena adanya peristiwa tektonik, sehingga terbentuklah sesar. Hal tersebut merupakan zona lemah yang akan memungkinkan terbentuknya magnetisme, yang merupakan interusi magma ketika menerobos batuan tua. Secara umum terdapat berbagai saluran magma yang menuju ke permukaan bumi. Oleh karena adanya kontak magmatik ini, maka terbentuklah proses rekristalisasi, alterasi dan mineralisasi. Biasanya proses penerobosan magma pada zona lemah ini hingga akhirnya membeku umumnya disertai dengan kontak metamorfosa, dimana kontak ini akan menimbulkan bahan cair (*fluida*) seperti cairan *magmatik* dan *metamorfik* yang nantinya banyak mengandung mineral bijih (Muhammad Altin Massinai, dkk., (t.th.): 3).

### **2.3. Metode Geomagnet**

Metode magnetik merupakan salah satu metode geofisika yang sering digunakan untuk survey pendahuluan pada eksplorasi minyak bumi, gas bumi dan penyelidikan batuan mineral. Metode ini mempunyai akurasi pengukuran yang relatif tinggi. Alat yang digunakan dalam metode ini adalah megnetometer (Boko Nurdyanto S, 2004: 37).

Metode Geomagnet didasarkan pada pengukuran variasi intensitas magnetik di permukaan bumi yang disebabkan adanya kontras sifat kemagnetan batuan (suseptibilitas) antar batuan dalam kerak bumi (termasuk didalamnya kemagnetan anomali benda magnetik ramen dan magnetik induksi), hal ini mengakibatkan terjadinya ketidak homogennya medan magnet bumi, atau dapat disebut anomali magnetik. Biasanya perubahan variasi medan magnet ini disebabkan karena adanya perubahan struktur geologi di bawah permukaan bumi. Variasi medan magnetik yang terukur kemudian ditafsirkan dalam bentuk distribusi bahan magnetik di bawah permukaan, kemudian dijadikan dasar bagi pendugaan keadaan geologi yang teramat. Jika sekarang suatu benda diletakkan dalam suatu medan magnet dengan kuat medan  $\bar{H}$ , maka akan terjadi polarisasi magnetik pada benda tersebut. Besarnya diberikan oleh:

$$\bar{I} = k \cdot \bar{H} \quad (2.1)$$

(Telford. W. M., 1976: 64).

Keterangan:

$\bar{I}$ = Intensitas medan magnet bumi (T)

$k$ = Subseptibilitas magnetik

$\bar{H}$ = Kuat medan magnet bumi (T)

Kuat medan magnet (H) merupakan gaya pada satuan kutub magnetik, jika diletakkan pada titik dalam medan magnetik yang merupakan hasil dari kuat kutub. Satuan medan magnet (H) dalam SI adalah ampere/meter (A/m), sedangkan dalam cgs adalah *oersted* dimana, *oersted* adalah 1 (satu) dyne/unit kutub atau sama dengan Tesla (T). *Intensitas* medan magnet merupakan besaran yang menyatakan seberapa besar intensitas keteraturan yang sebuah benda yang terinduksi oleh medan magnet. Dalam hal ini intensitas medan magnet akan bergantung pada keadaan kutub magnet. Satuan magnetisasi dalam cgs adalah gauss atau emu.cm<sup>3</sup> dan dalam SI adalah ampere/meter (A/m). Suseptibilitas magnet batuan adalah harga magnet suatu batuan terhadap pengaruh magnet utama, yang pada umumnya erat kaitannya dengan kandungan mineral dan oksida besi. Semakin besar kandungan mineral magnetit di dalam batuan, akan semakin besar harga suseptibilitasnya. Harga suseptibilitas batuan sendiri dapat dilihat pada lampiran 2.

Konversi nilai K yang terukur dalam SI dinyatakan sebagai berikut:

$$k = 4\pi k' \quad (2.2)$$

(Andi Tendri Awali Wildasana, dkk., 2014: 17).

#### 2.4.Pengolahan Data Geomagnetik

Pada pengolahan data geomagnet untuk mendapatkan hasil pengolahan data, maka terlebih dahulu dilakukan koreksi-koreksi perhitungan. Koreksi tersebut

dilakukan guna memperoleh nilai intensitas medan magnet anomali dan untuk menghilangkan efek-efek variasi harian dan medan magnet bumi yang secara teori dapat mempengaruhi suatu data pengukuran di lapangan. Koreksi-koreksi dalam pengolahan data antara lain:

1) Koreksi Harian (*diurnal corection*)

Koreksi harian atau *diurnal corection* adalah penyimpangan intensitas medan magnet bumi yang disebabkan oleh adanya perbedaan waktu pengukuran dan efek sinar matahari dalam satu hari. Waktu yang dimaksudkan harus mengacu atau sesuai dengan waktu pengukuran data medan magnetik di setiap titik lokasi (stasiun pengukuran) yang akan dikoreksi.

$$\Delta H = H_{observasi} \pm \Delta H_{harian} \quad (2.3)$$

Keterangan  $\Delta H$  adalah nilai *diurnal corection*,  $H_{observasi}$  merupakan nilai medan anomali hasil observasi,  $\Delta H_{harian}$  merupakan hasil nilai koreksi pada base (*diurnal change rate*)

(Andi Tendri Awali Wildasana,dkk., 2014: 27)

Sebelum mendapatkan nilai koreksi harian maka yang perlu diketahui terlebih dahulu adalah nilai *looping di base*. *Looping* merupakan metode pengambilan data yang dilakukan secara berulang. Metode ini dilakukan untuk mendapatkan koreksi variasi harian dan perubahan nilai harian. Maka persamaan yang dapat digunakan untuk memperoleh nilai *looping di base* adalah:

$$L = \frac{H_n - H_1}{t_n - t_1} \quad (2.4)$$

(Andi Tendri Awali Wildasana, 2014: 27).

Setelah memperoleh nilai *looping* di *base*. Selanjutnya adalah menentukan koreksi alat (*base drift*) yang dapat diperoleh dengan persamaan:

$$R = H_n - H_1 \quad (2.5)$$

(Andi Tendri Awali Wildasana, 2014: 27).

keterangan:

$L$  : *looping di base*

$R$  : koreksi pada alat (*base drift*) setelah melakukan *looping*.

$H_n$  : pembacaan medan anomali pada base akhir.

$H_1$  : pembacaan medan anomali pada base awal.

$t_n$  : waktu pada base akhir.

$t_1$  : waktu pada base awal.

Apabila nilai variasi harian negatif, maka koreksi harian dilakukan dengan cara menambahkan nilai variasi harian yang terekam pada waktu tertentu terhadap data medan magnetik yang akan dikoreksi. Sebaliknya apabila variasi harian bernilai positif, maka koreksinya dilakukan dengan cara mengurangkan nilai variasi harian yang terekam pada waktu tertentu terhadap data medan magnetik yang akan dikoreksi, dapat dituliskan dalam persamaan (Ismail, 2010: 8-9):

$$\Delta H_{\text{harian}} = L_n (t_{\text{akhir}} \pm t_{\text{awal}(n)}) + R \quad (2.6)$$

Keterangan:

$L_n$  : koreksi nilai Looping pada base

$\Delta H_{\text{harian}}$  : nilai *Diurnal Change Rate*.

R : koreksi pada alat (*base drift*) setelah melakukan *looping*.

$t_{\text{awal}(n)}$  : waktu pada base awal.

$t_{\text{akhir}}$  : waktu pada base akhir

## 2) Koreksi IGRF (*International Geomagnetik Reference Field*)

Koreksi IGRF dilakukan dengan mengukurangkan data nilai medan magnet utama bumi di daerah penelitian yang diperoleh melalui pendekatan matematis dari intensitas magnet utama bumi atau IGRF terhadap medan magnet bumi total dititik pengamat. Data IGRF dapat diperoleh melalui [ngdc.noaa.gov/geomag-web/#igrfwmm](http://ngdc.noaa.gov/geomag-web/#igrfwmm) yang diperbaiki setiap lima tahun sekali

Untuk mendapatkan nilai residual magnetik yang dicari maka dapat menggunakan persamaan:

$$\text{Residual} = \Delta H - \Delta H_{\text{igrf}} \quad (2.7)$$

(Deniyanto, 2010: 80).

Keterangan:

$\Delta H$  : nilai *diurnal corection*

$\Delta H_{\text{igrf}}$  : nilai koreksi IGRF

## 3) Koreksi Topografi

Merupakan koreksi yang dilakukan jika pengaruh topografi pada daerah penelitian sangat besar. Salah satu metode untuk menentukan nilai koreksi adalah dengan menggunakan model prisma segiempat. Dalam pemodelan tersebut nilai

susceptibilitas (k) batuan topografi terlebih dahulu harus diketahui, sehingga menghasilkan nilai anomali medan magnetik ( $\Delta H_{top}$ ) yang sesuai dengan fakta dilapangan. Untuk koreksi topografi dapat digunakan persamaan:

$$\Delta H_{top} = \Delta H_{igrf} - H \quad (2.8)$$

(Bagus Jaya Santosa, dkk., 2012: 10).

Keterangan:

$\Delta H_{top}$  : Koreksi topografi

$\Delta H_{igrf}$  : Koreksi IGRF

H : Medan magnet anomia

## **BAB III**

### **METODE PENELITIAN**

#### **3.1. Waktu dan Tempat Penelitian**

Waktu dan tempat pelaksanaan penelitian telah dilaksanakan pada bulan juni 2016. Bertempat di sepanjang pesisir pantai Marina, Dusun Korong Batu, Desa Baruga, kecamatan Pajukukang, kabupaten Bantaeng, Sulawesi Selatan. Luas daerah penelitian adalah 3 Ha, dari total 12 Ha. Sementara untuk proses *Dumping* data dilakukan di *Sains Building* UNHAS, untuk proses pengolahan data dilakukan di Laboratorium Komputasi Fakultas Sains dan Teknologi UIN Alauddin Makassar dan Paccinongan Harapan.

#### **3.2. Alat dan Bahan Penelitian**

Alat dan bahan yang digunakan dalam penelitian ini adalah:

- 1) Seperangkat Magnetometer Geotron G5 Proton
- 2) GPS (*Global Positioning System*)
- 3) Meteran
- 4) Laptop / komputer yang dilengkapi perangkat lunak Surfer 10, Ms. Excel 2013, Mag2DC dan Magpick.
- 5) Alat dokumentasi
- 6) Peta Geologi
- 7) Peta Topografi

- 8) Kompas geologi

### **3.3. Prosedur Penelitian**

Prosedur kerja yang dilakukan pada penelitian ini adalah:

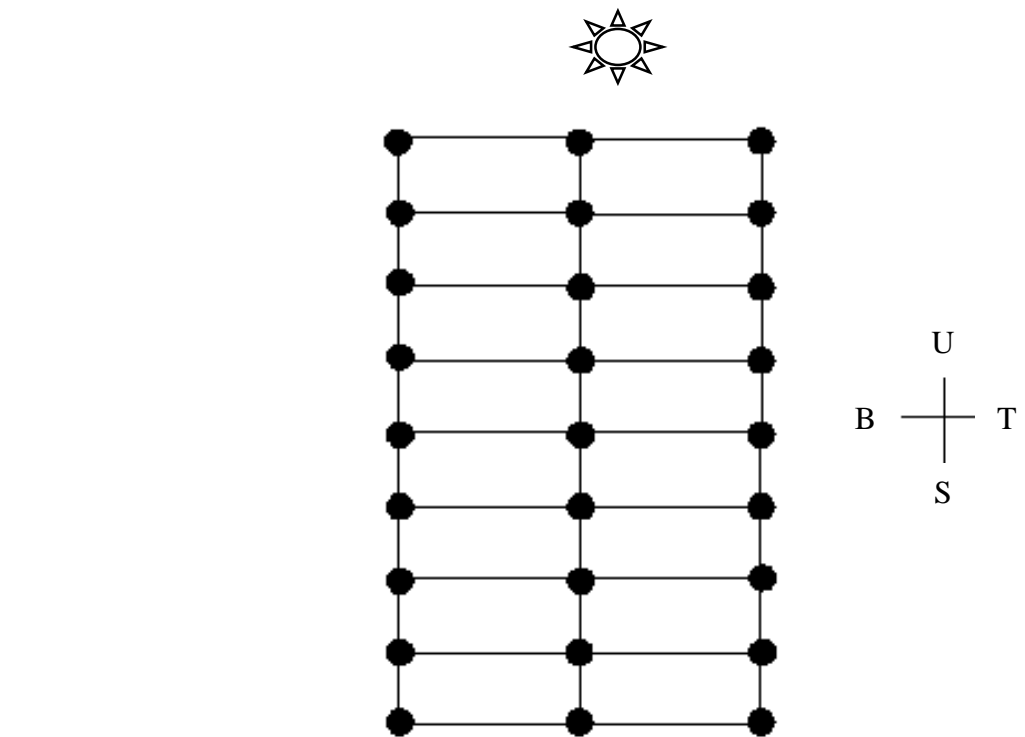
#### **3.3.1 Prosedur Penelitian di Lapangan**

Pengambilan data geomagnetik dilakukan dengan mengukur nilai medan magnet, berdasarkan harga suseptibilitas batuan termagnetisasi di bawah permukaan. Nilai medan magnet tersebut akan terbaca secara manual pada alat Magnetometer Geotron G5 Proton.

Langkah dalam pengambilan data geomagnet adalah sebagai berikut:

1. Menentukan *base camp* dan *stasiun pengamat* dalam bentuk grid. Model grid yang digunakan adalah persegi sebab dapat menghasilkan data pengukuran yang lebih akurat dibandingkan dengan model lingkaran atau model lainnya.
2. Melakukan *looping* (pengambilan data berulang) pada *base* terlebih dahulu, kemudian melakukan pembacaan pada grid awal / stasiun pertama minimal sebanyak dua kali kemudian mengambil rata-rata pengukurannya. Hal ini dilakukan untuk melihat selisih pembacaan pertama dan kedua, agar nilai anomali magnetik yang diperoleh lebih akurat.
3. Mengukur pembacaan nilai anomali medan magnet pada alat, dimulai dari grid pertama hingga grid ke 73 dengan jarak 20 m antar grid.
4. Melakukan *looping* pada *base* sebanyak tiga kali.

Berikut bentuk lintasan yang digunakan saat berada di lapangan:



Gambar 3.1 Bentuk lintasan pengukuran

Keterangan:

: Sebagai *base station* .

: Sebagai *line* atau lintasan. Penelitian ini menggunakan tiga buah lintasan.

Dengan jarak antar lintasan atau *line* adalah sebesar 30 m.

: Sebagai *stasiun* atau grid. Penelitian ini menggunakan total 73 grid dengan jarak antar grid-nya adalah 20 m.

5. Melakukan pengecekan data yang telah di *save* pada alat secara otomatis pada stasiun akhir.

### 3.3.2 Teknik Analisis Data Lapangan

#### 3.3.2.1. Dumping Data Lapangan Hasil Penelitian

Setelah melakukan pengukuran di lapangan selanjutnya adalah melakukan *dumping* data, yakni mengambil data mentah dari perangkat Magnetometer menggunakan software yang telah tersedia di gedung *Sains Building* UNHAS. Setelah melakukan dumping maka akan diperoleh nilai medan magnet hasil penelitian. Untuk proses *dumping data* dapat dilihat pada lampiran 3.

#### 3.3.2.2. Tabel Data Hasil Penelitian di Lapangan

|              |                 |            |                          |
|--------------|-----------------|------------|--------------------------|
| Peneliti     | : SUSILAS TUTI  | Cuaca      | : Cerah                  |
| Topografi    | : Daerah landai | Alat       | : Magnetometer G5 Proton |
| Jumlah Grid: | 73              | P.Lapangan | : NURHIDAYAT N. S.Si     |

Tabel 3.1 Hasil Pengambilan data di lapangan adalah:

| No Data | Line | Hari | Tanggal Pengukuran Data | Waktu (UTM) | Medan Magnet (nT) | Posisi Pengamat | Northing (UTM) | Easting (UTM) | Ketinggian Tempat (m) |
|---------|------|------|-------------------------|-------------|-------------------|-----------------|----------------|---------------|-----------------------|
| ...     | ...  | ...  | ...                     | ...         | ...               | ...             | ...            | ...           | ...                   |
| ...     | ...  | ...  | ...                     | ...         | ...               | ...             | ...            | ...           | ...                   |
| ...     | ...  | ...  | ...                     | ...         | ...               | ...             | ...            | ...           | ...                   |
| ...     | ...  | ...  | ...                     | ...         | ...               | ...             | ...            | ...           | ...                   |
| ...     | ...  | ...  | ...                     | ...         | ...               | ...             | ...            | ...           | ...                   |
| ...     | ...  | ...  | ...                     | ...         | ...               | ...             | ...            | ...           | ...                   |
| ...     | ...  | ...  | ...                     | ...         | ...               | ...             | ...            | ...           | ...                   |
| ...     | ...  | ...  | ...                     | ...         | ...               | ...             | ...            | ...           | ...                   |

Daftar tabel merujuk pada Lampiran 5A.

### 3.3.2.3. Pengolahan Data Lapangan

Data pengamatan yang diperoleh hasil pengukuran adalah koordinat dalam UTM (*Universal Transverse Mercator*), waktu dalam UTM (*Universal Transverse Mercator*), posisi pengamat dan medan magnet. Setelah melakukan proses pengukuran selanjutnya melakukan perhitungan terhadap koreksi-koreksi dan pengolahan data dengan menggunakan bantuan software *Ms. Excel 2013, Surfer 10, Magpic dan Mag2Dc*. Langkah-langkah dalam pengolahan data adalah sebagai berikut:

1. Menginput data mentah yang telah diperoleh di lapangan pada *Microsoft excel 2013*. Berupa line, base, waktu, koordinat, ketinggian tempat dan pembacaan nilai anomali medan magnet.
2. Mengkonfersi waktu dan koordinat dalam satuan *Desimal Degree*, kemudian menghitung pembacaan medan medan magnet terhadap nilai faktor pembagi ke dalam program *Microsoft excel 2013*.
3. Menghitung nilai *looping* dengan merujuk ke persamaan (2.6), kemudian menghitung koreksi pada alat dapat menggunakan persamaan (2.7). Menghitung nilai koreksi harian dengan persamaan (2.5) dan nilai koreksi di base dapat merujuk pada persamaan (2.8) dan untuk nilai anomali residual merujuk pada persamaan (2.9). Semua perhitungan tersebut dilakukan dalam program *Microsoft excel 2013*.

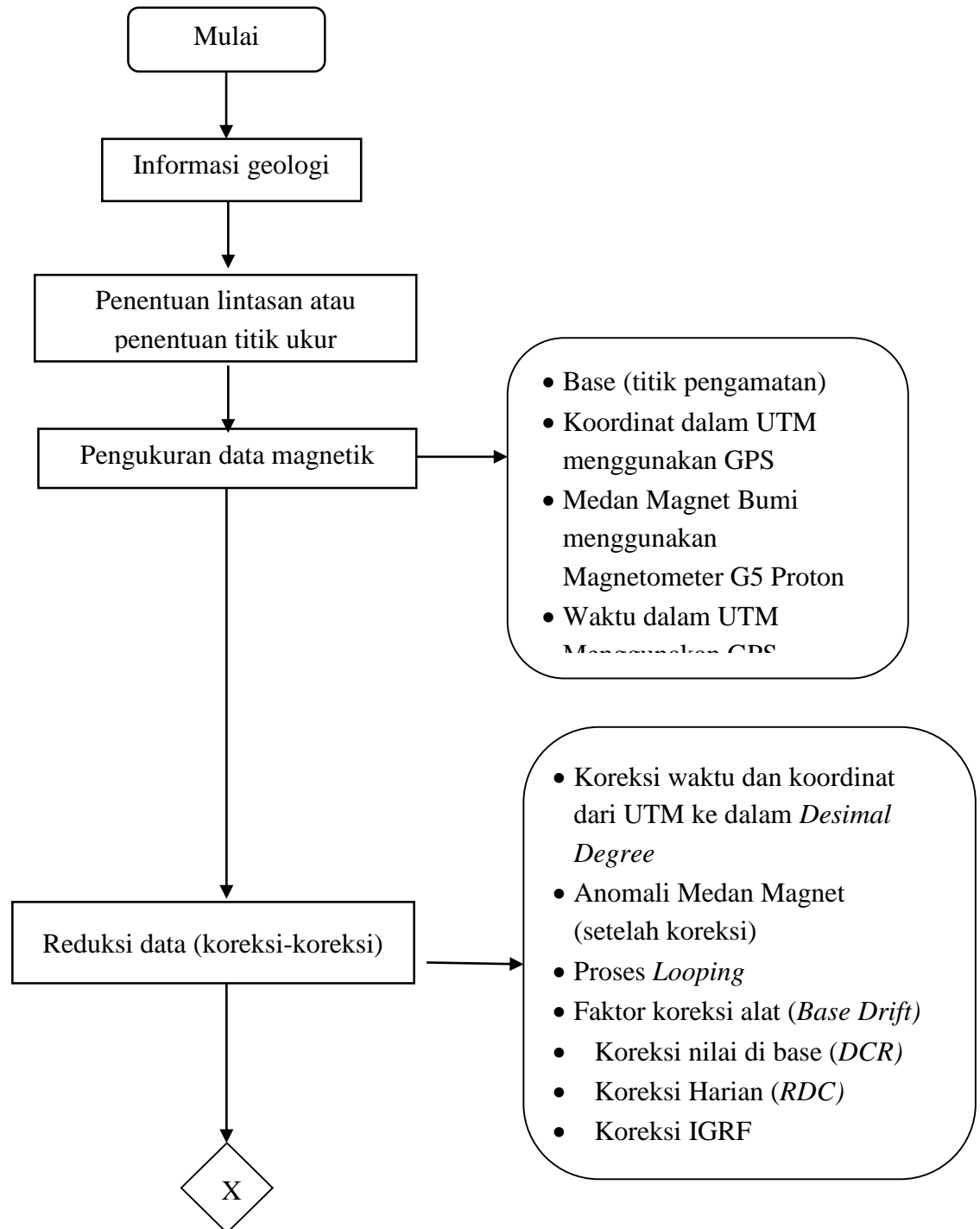
4. Selanjutnya menginput nilai residual dan koordinat dalam UTM pada program *Surfer 10* untuk memperoleh gambaran dasar daerah penelitian, kemudian menyimpan data yang telah diolah dalam bentuk grid.
5. Setelah memperoleh Kontur anomali magnetik pada *Surfer 10*, selanjutnya mereduksi ke bidang datar dan di-kontinuitas ke atas ke dalam *software magpick*.
6. Memplot data yang telah di reduksi ke bidang datar pada *software magpick*, ke dalam *Surfer 10*. Maka akan muncul kontur reduksi ke bidang datar yang selanjutnya akan di *digitasi*. Proses fitering berupa reduksi ke bidang datar dilakukan untuk mengsimulasikan kondisi magnet yang menginduksi batuan sehingga anomali batuan yang termagnetisasi dengan nilai negatif atau kecil berada tepat diatas penyebab anomali tersebut. Sementara filtering kontinuitas ke atas dilakukan untuk mereduksi efek magnet total atau merupakan proses pengangkatan suatu bidang datar ke bidang datar lainnya. Dengan kata lain proses filtering dilakukan untuk menghilangkan noise atau frekuensi yang tidak dibutuhkan pada saat proses pengambilan data penelitian.
7. Untuk memperoleh struktur bawah permukaan dari sisa anomali medan magnet maka dapat dilakukan pemodelan kedepan ke dalam *Mag2dc*.
8. Untuk memperoleh hasil interpretasi, maka dilakukan dua jenis metode interpretasi yakni berupa interpretasi kuantitatif dan kualitatif. Untuk interpretasi kuantitatif hasil yang diperoleh secara langsung yakni berupa ketebalan yang diinterpretasikan dari hasil olah data nilai anomali medan magnet pada software

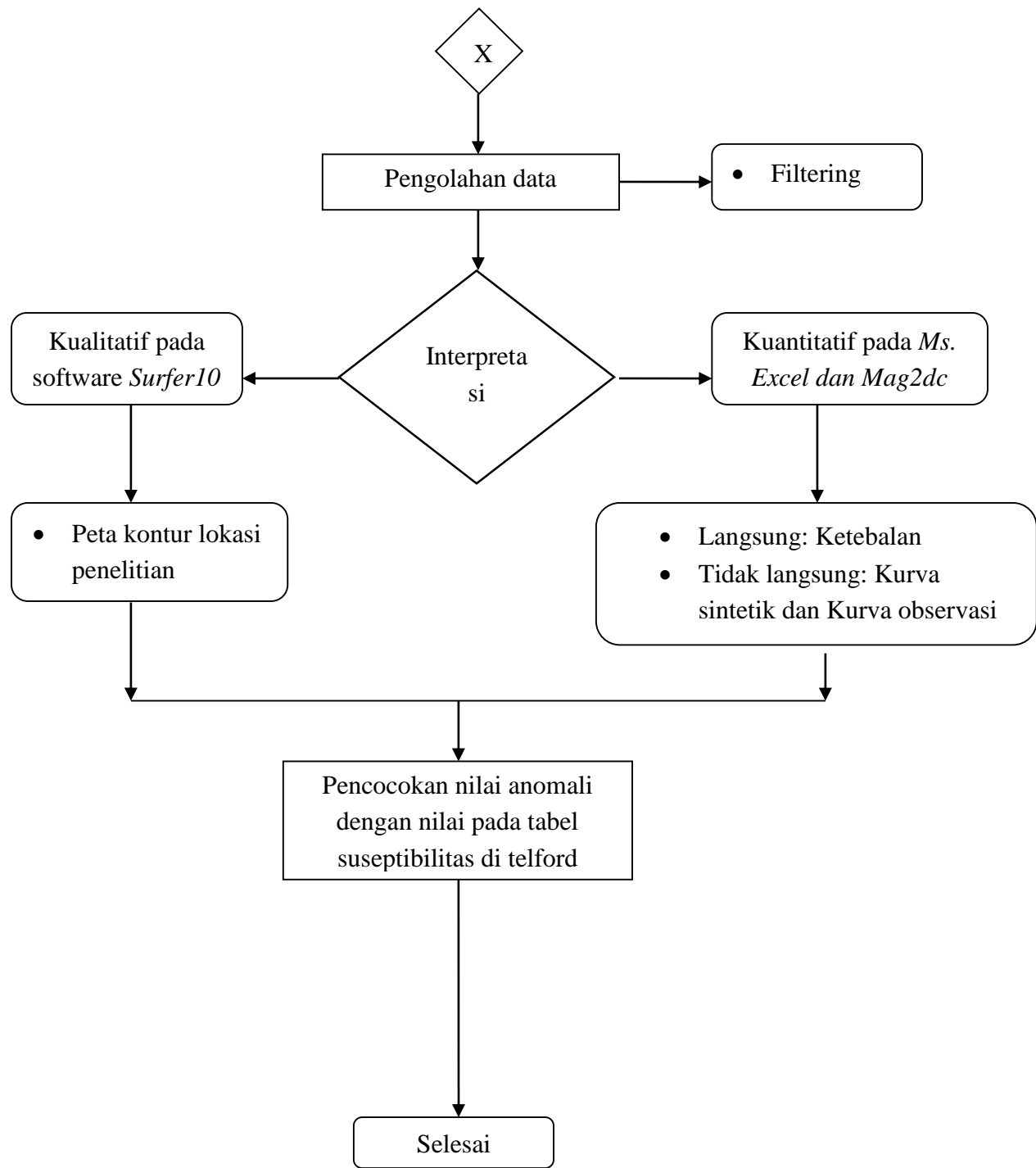
*Mag2dc.* Sementara untuk interpretasi kuantitatif tidak langsung diperoleh bentuk kurva sintetik dan kurva observasi yang didapatkan dari hasil pengolahan nilai anomali yang telah di slice pada *surfer10* ke dalam *Microsoft excel 2013*. Kemudian untuk interpretasi kualitatif merupakan jenis interpretasi yang akan menghasilkan peta kontur anomali magnetik batuan bawah permukaan sehingga nantinya dapat diinterpretasikan berupa nilai anomali magnetik batuan di pesisir pantai marina serta koordinat indikasi adanya mineral magnetik.

9. Setelah melakukan proses interpretasi kuantitatif dan kualitatif maka selanjutnya mencocokkan kurva hasil observasi dan kurva sintetik kedalam software *Mag2dc*. Kemudian setelah memperoleh kurva yang tindih antara kurva sintetik dan kurva observasi selanjutnya mencocokkan hasil interpretasi berupa *body* batuan bawah permukaan yang diindikasikan mengandung bijih besi terhadap nilai suseptibilitas yang telah ditetapkan pada tabel terlford.

### 3.4. Bagan Alir

Bagan alir pada penelitian ini adalah sebagai berikut:





### 3.5 Jadwal Rencana Kegiatan

Tabel 3.2. Rencana Jadwal Pelaksanaan Kegiatan Penel

| No | Jenis Kegiatan                         | Bulan |   |   |   |       |   |   |   |     |   |   |   |      |   |   |   |      |   |   |   |         |   |   |   |           |   |   |   |         |   |   |   |
|----|--|-------|---|---|---|-------|---|---|---|-----|---|---|---|------|---|---|---|------|---|---|---|---------|---|---|---|-----------|---|---|---|---------|---|---|---|
|    |  | Maret |   |   |   | April |   |   |   | Mei |   |   |   | Juni |   |   |   | Juli |   |   |   | Agustus |   |   |   | September |   |   |   | Oktober |   |   |   |
|    |  | 1     | 2 | 3 | 4 | 1     | 2 | 3 | 4 | 1   | 2 | 3 | 4 | 1    | 2 | 3 | 4 | 1    | 2 | 3 | 4 | 1       | 2 | 3 | 4 | 1         | 2 | 3 | 4 | 1       | 2 | 3 | 4 |
| 1  | Studi Literatur                        |       |   |   |   |       |   |   |   |     |   |   |   |      |   |   |   |      |   |   |   |         |   |   |   |           |   |   |   |         |   |   |   |
| 2  | Kemantapan Rencana Kegiatan            |       |   |   |   |       |   |   |   |     |   |   |   |      |   |   |   |      |   |   |   |         |   |   |   |           |   |   |   |         |   |   |   |
| 3  | Observasi Awal                         |       |   |   |   |       |   |   |   |     |   |   |   |      |   |   |   |      |   |   |   |         |   |   |   |           |   |   |   |         |   |   |   |
| 4  | Pengambilan Sampel Lapangan            |       |   |   |   |       |   |   |   |     |   |   |   |      |   |   |   |      |   |   |   |         |   |   |   |           |   |   |   |         |   |   |   |
| 5  | Penentuan titik awal lokasi penelitian |       |   |   |   |       |   |   |   |     |   |   |   |      |   |   |   |      |   |   |   |         |   |   |   |           |   |   |   |         |   |   |   |
| 6  | Pengambilan data                       |       |   |   |   |       |   |   |   |     |   |   |   |      |   |   |   |      |   |   |   |         |   |   |   |           |   |   |   |         |   |   |   |
| 7  | Pengolahan data                        |       |   |   |   |       |   |   |   |     |   |   |   |      |   |   |   |      |   |   |   |         |   |   |   |           |   |   |   |         |   |   |   |
| 8  | Interpretasi data                      |       |   |   |   |       |   |   |   |     |   |   |   |      |   |   |   |      |   |   |   |         |   |   |   |           |   |   |   |         |   |   |   |
| 9  | Penyusunan Skripsi                     |       |   |   |   |       |   |   |   |     |   |   |   |      |   |   |   |      |   |   |   |         |   |   |   |           |   |   |   |         |   |   |   |

## **BAB IV**

### **HASIL PENELITIAN DAN PEMBAHASAN**

#### **4.1. Hasil Penelitian**

Lokasi penelitian terletak di daerah Dusun Korong Batu, Desa Baruga, Kec. Pajukukang Kab. Bantaeng, dengan kondisi topografi wilayah adalah daerah landai dan di pesisir pantai. Penelitian mengenai penyebaran bijih besi ini dilakukan dengan menggunakan metode geomagnetik. Metode ini didasarkan pada nilai susebtibilitas batuan termagnetisasi di bawah permukaan bumi. Jumlah *line* yang digunakan pada penelitian adalah sebanyak 3 *line*, dengan total keseluruhan grid adalah 73 grid. Jarak yang digunakan antar stasiun adalah sebesar 20 m dengan melakukan proses *Looping* sebanyak 3 kali, yakni sebelum melakukan pengukuran pada grid pertama, kemudian saat melewati *line* ke-dua dan terakhir saat telah mengukur anomaly pada grid ke-73. Luas wilayah penelitian yang digunakan adalah sebesar 3 ha dari total keseluruhan 12 ha. Hal ini disebabkan karena faktor kondisi lapangan yang kurang mendukung, sebab jika luasan daerah ditambah maka proses pengambilan data akan susah untuk dilakukan sebab terhalang oleh bagunan, SPBU serta empang yang saat penelitian sulit untuk dijangkau. .

#### 4.1.1. Data Hasil Pengamatan

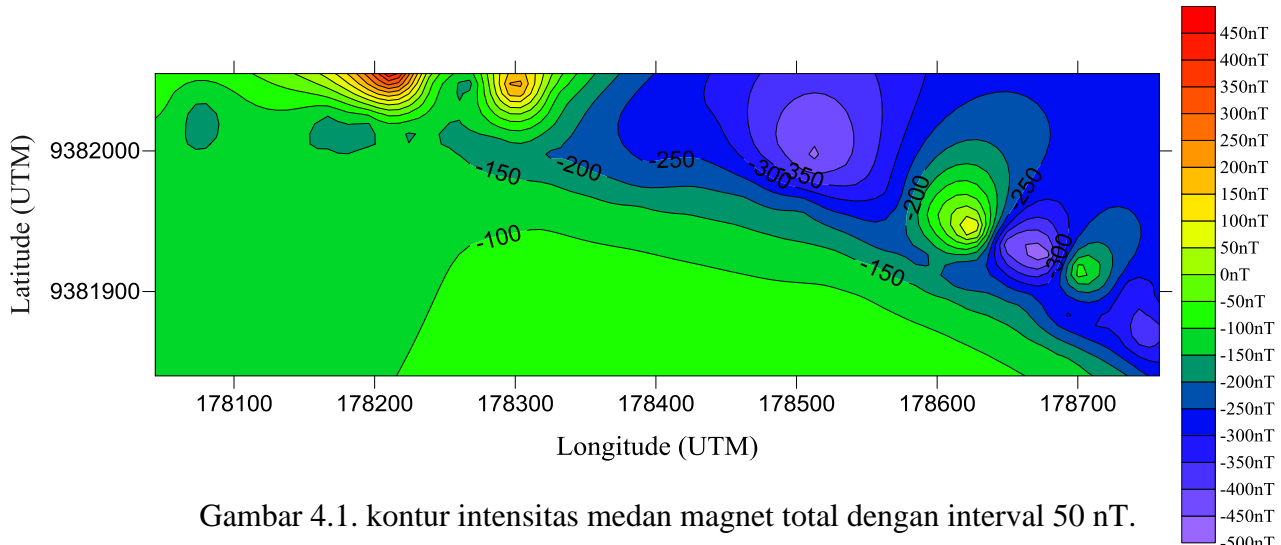
Setelah melakukan penelitian di lapangan maka diperoleh nilai anomali medan magnet seperti yang terlampir pada lampiran 4A. Sebelum melakukan perhitungan koreksi, terlebih dahulu melakukan konversi koordinat dan waktu yang diperoleh di lapangan dari bentuk UTM (*Universal Transverse Mercator*) ke dalam bentuk *Desimal Degree*, terlampir pada lampiran 4B Untuk memperoleh nilai dalam perhitungan, data selanjutnya diolah pada Ms. Excel untuk mendapatkan nilai residualnya. Variabel yang dihitung pada koreksi tersebut adalah menghitung nilai *Looping* dengan merujuk ke persamaan (2.6), kemudian nilai *Base Drift* dengan merujuk pada persamaan (2.7). Untuk koreksi harian (RDC) dapat merujuk pada persamaan (2.5), untuk koreksi nilai base (DCR) dapat merujuk pada persamaan (2.8). Koreksi IGRF dapat diperoleh pada website ([ngdc.noaa.gov/geomag-web/#igrfwmm](http://ngdc.noaa.gov/geomag-web/#igrfwmm)) seperti pada lampiran 4C. Sehingga untuk nilai residualnya dapat diperoleh dengan menggunakan persamaan (2.9). Tabel hasil pengolahannya seperti yang terlampir pada lampiran 4D.

Pada metode ini digunakan jenis pemodelan *Forward Modeling*, untuk memperoleh hasil penyebaran pasir besi. *Prossesing* data geomagnet dapat diolah pada *Surfer 10* untuk memberikan kontur gambaran dasar daerah penelitian. Kemudian hasil anomali sementara dari *Surfer 10* selanjutnya di filter berupa *Reduce to pole* dan *Upward Kontinuitas* pada software *Magpick*. Proses tersebut dimaksudkan untuk menghilangkan pengaruh anomali yang bukan sebenarnya karena

adanya pengaruh suhu dan noise frekuensi tinggi atau benda yang mempengaruhi anomali medan magnet. Setelah melakukan filter, selanjutnya peta anomali di *slicing* dari arah utara ke selatan. Selanjutnya melakukan pemodelan body dengan cara *Forward Modeling* atau pemodelan ke depan yang dimaksudkan untuk menampilkan profil bawah permukaan dari peta anomali medan magnet. Pomedelan ini dibuat pada software *Mag2Dc*.

#### 4.1.2. Hasil Pengolahan Data

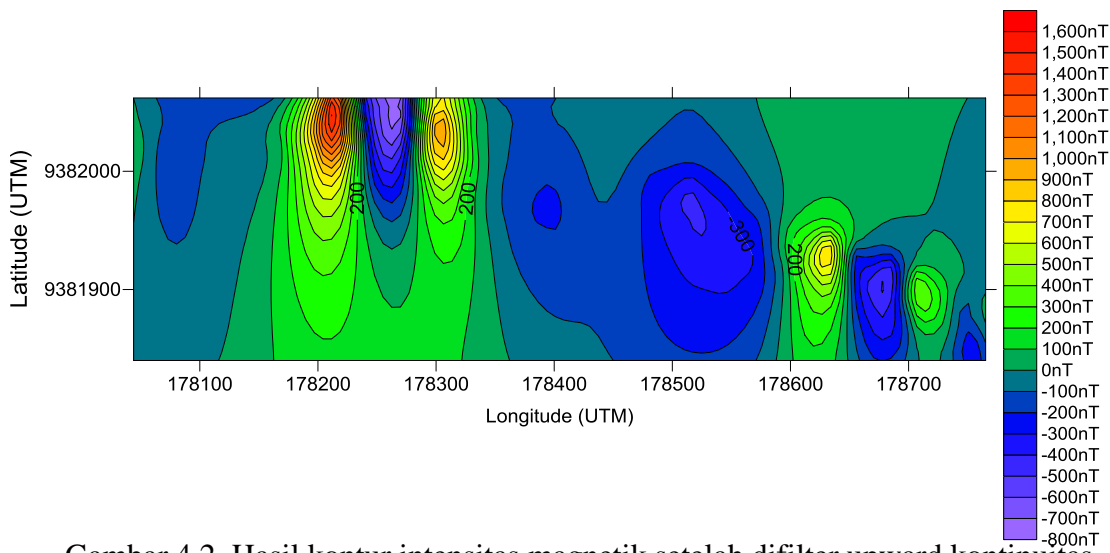
Hasil pengolahan data melalui *surfer 10* dapat di lihat bentuk kontur anomali medan magnet (sebelum filter).



Gambar 4.1. kontur intensitas medan magnet total dengan interval 50 nT.

Pada gambar 4.1 memperlihatkan bahwa nilai intensitas medan magnet lokasi penelitian berkisar antara -500 nT hingga 450 nT, pada lokasi penelitian menunjukkan terdapat daerah yang memiliki nilai intensitas medan magnet maksimum sebesar 350 nT dan nilai intensitas minimum sebesar -100 nT. Nilai intensitas medan magnet batuan yang bernilai negatif diinterpretasikan merupakan jenis batuan yang bersifat

non magnetik dan untuk intesitas rendah mendekati nol diinterpretasikan merupakan batuan yang memiliki kemagnetan yg sudah lapuk, berbeda dengan nilai intensitas yang bernilai positif yang disebabkan karena batuan yang memiliki magnetisasi segar.

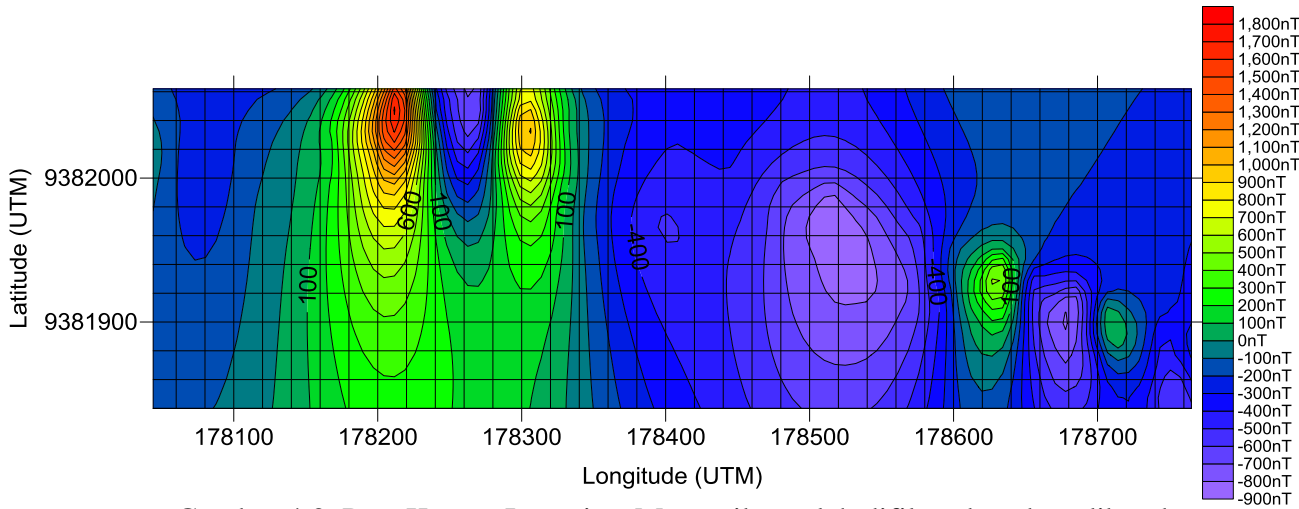


Gambar 4.2. Hasil kontur intensitas magnetik setelah difilter upward kontinuitas

Seperti yang sudah dijelaskan sebelumnya *Upward Continuitas* merupakan proses filter untuk menghilangkan noise frekuensi tinggi yang diperoleh dekat daerah penelitian, sehingga perlu dilakukan pengangkatan ketinggian. Atau dengan kata lain merupakan tapis lolos rendah yakni untuk mereduksi efek magnetik lokal yang berasal dari berbagai sumber benda magnetik di permukaan topografi yang tidak terkait dengan daerah penelitian. Proses pengangkatan tidak dapat dilakukan terlalu tinggi sebab dapat mereduksi anomali magnetik lokal yang bersumber dari benda magnetik atau struktur geologi yang menjadi target survey. Proses *Upward Continuitas* ini akan menghasilkan hasil reduksi pengaruh untuk kontinuitasi yang

tidak terlalu besar serta menampakkan efek regional dari lokasi penelitian untuk kontinuitas yang besar. Data yang diperoleh adalah medan magnet total yang telah terbebas dari pengaruh regional, IGRF serta medan regional, sehingga dari hasil filter ini hanya tersisa benda penyebab anomali saja.

Hasil yang diperoleh nilai intensitas medan magnetnya tidak jauh berbeda yakni -800 nT hingga 1600 nT hanya saja intensitas medan magnet lokal dan regionalnya terpisah. Nilai intensitas medan magnet yang bernilai negatif atau rendah disebabkan karena jenis batuan tersebut bersifat non magnetik, begitu sebaliknya. Seperti batuan dimana jika semakin lapuk batuan tersebut maka nilai suseptibilitasnya akan semakin rendah pula, dan jika bernilai negatif maka batuan tersebut bersifat non magnetik.

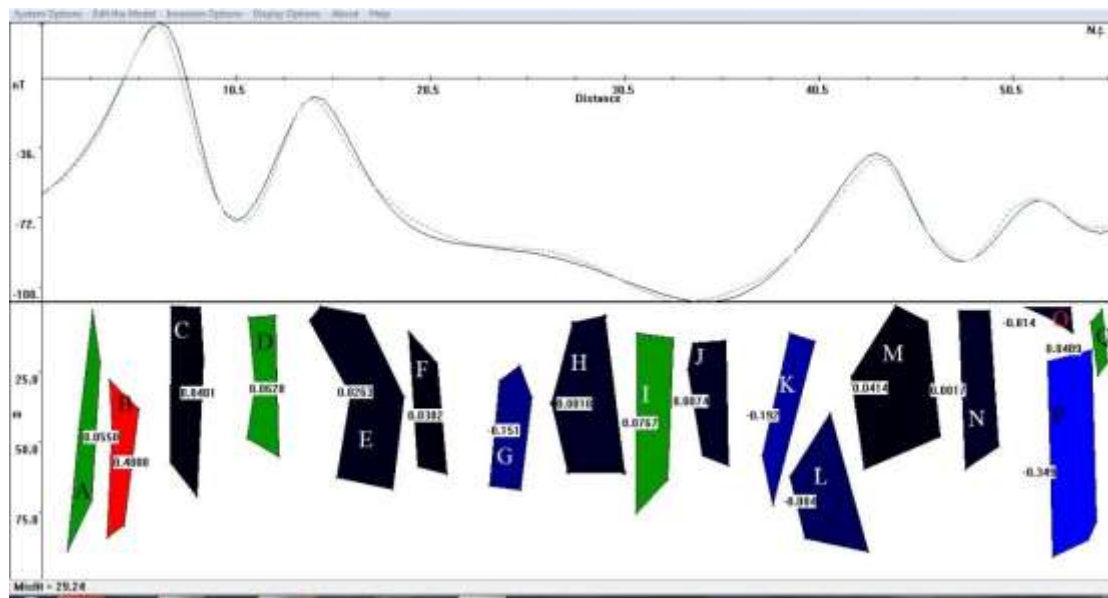


Gambar 4.3. Peta Kontur Intensitas Magnetik setelah difilter dan akan dibuatkan model berupa *Forward Modeling* pada *Mag2dc*

Proses filter akhir adalah *Reduce to pole* yang merupakan proses pereduksi kutub untuk melokalisasi daerah dengan nilai anomali minimum atau maksimum.

Pada proses ini dibutuhkan data pendukung berupa nilai *inklinasi*, *deklinasi* dan ketinggian tempat. Proses filter ini dilakukan sebab adanya perbedaan nilai inklinasi dan deklinasi dari setiap lokasi, sehingga medan magnet pada lokasi pengukuran berubah menjadi medan magnet dikutub utara magnet. Nilai medan magnet yang berubah secara bertahap disebabkan karena lokasi penelitian yang luas sehingga melibatkan nilai lintang dan bujur yang bervariasi. Hasil yang diperoleh berupa peta intensitas medan magnet rendah yang ditunjukkan dengan skala -900 nT sampai -100 nT, disebabkan karena batuan yang bersifat non magnetik. Untuk intensitas medan magnet sedang ditunjukkan 100 nT hingga 900 nT menunjukkan bahwa jenis batuan tersebut masih memiliki magnetisasi yang lapuk. Sementara untuk intensitas medan magnet tinggi adalah 1000 nT hingga 1800 nT merupakan jenis batuan yang memiliki sifat kemagnetan batuan yang sangat segar. Dari hasil pemodelan pada *surfer10* diperoleh hasil interpretasi kualitatif berupa peta anomali magnetik dengan letak penyebaran bijih besi adalah pada koordinat  $120^{\circ}5'44,48''$  BT dan  $5^{\circ}35'1,31''$  LS.

Untuk interpretasi kuantitatif jenis batuan maka digunakan pemodelan pada software *mag2dc*. Metode ini merupakan jenis metode *trial-eror*, yakni jenis metode coba-coba, dimana tampilan grafik yang muncul akan didekati menggunakan pendekatan coba-coba nilai suseptibilitas batuan.



Gambar 4.4. *Forward Modeling* lintasan A-B, dengan beberapa *body* pada *Mag2dc*.

Gambar 4.4 menggambarkan tentang struktur bawah permukaan. Pada sumbu x menunjukkan panjang sayatan, sedangkan pada sumbu y positif menunjukkan nilai anomali medan magnet dengan pemodelan kedalaman maksimum 100 m. Untuk indikasi pasir besi diinterpretasikan berupa sayatan B (berwarna merah) dengan nilai suseptibilitas batuan 0,4800 emu/cc.

Setelah melakukan pemodelan berupa peta anomali intensitas medan magnet selanjutnya membuat model penampang permukaan 2D dengan cara *Forward Modeling*. Hasil yang diperoleh adalah sebagai berikut:

Tabel 4.1. Posisi Jenis Batuan Pada Lintasan A-B

| No. | Body     | Nilai suseptibiliras emu/cc | Kedalaman (m) | Interpretasi                               |
|-----|----------|-----------------------------|---------------|--|
| 1   | A        | 0,055                       | 1,6-85        | pirit dan <i>dolomite</i>                  |
| 2   | <b>B</b> | <b>0,4800</b>               | <b>25-77</b>  | <b>batu pasir dan <i>dolomite</i></b>      |
| 3   | C        | 0,0401                      | 1,6-66        | serpih dan <i>dolomite</i>                 |
| 4   | D        | 0,0620                      | 5-56          | serpih, <i>dolomite</i> , pirit            |
| 5   | E        | 0,0263                      | 3-80          | serpih, <i>dolomite</i>                    |
| 6   | F        | 0,0382                      | 10-58         | serpih, <i>dolomite</i>                    |
| 7   | G        | -151                        | 22-60         | <i>Quatz, rock salt, anhydrite, gypsum</i> |
| 8   | H        | 0,0018                      | 8-56          | <i>Dolomite</i>                            |
| 9   | I        | 0,0767                      | 10-68         | serpih dan <i>dolomite</i>                 |
| 10  | J        | 0,0074                      | 11,3-55       | <i>Dolomite</i>                            |
| 11  | K        | -0,192                      | 10-67         | <i>Quatz, rock salt, anhydrite, gypsum</i> |
| 12  | L        | -0,084                      | 30-74         | kalsit                                     |
| 13  | M        | 0,0414                      | 1,2-55        | Serpih                                     |
| 14  | N        | 0,0017                      | 3-54          | <i>Dolomite</i>                            |
| 15  | O        | -0,014                      | 1,6-7         | kuarsa, garam kasar, anhydrit, gips        |
| 16  | P        | -0,394                      | 10-80         | Kalsit                                     |
| 17  | Q        | 0,0489                      | 1,5-15        | <i>Dolomite</i>                            |

## 4.2. Pembahasan

Metode geomagnet merupakan metode dalam geofisika yang didasarkan pada batuan yang mengandung mineral magnetik seperti bijih besi. Jenis batuan yang termagnetisasi akan diinterpretasikan berdasarkan nilai suseptibilitas batuan bawah permukaan. Secara teori keadaan yang terjadi ketika sebuah benda terinduksi oleh

medan magnet disebut dengan intensitas medan magnet. Hal ini disebabkan karena adanya anomali magnetik bawah permukaan. Anomali magnetik merupakan penyimpangan yang terjadi pada suatu benda yang termagnetisasi di bawah permukaan. Berdasarkan penjelasan tersebut dapat disimpulkan jika semakin besar anomali magnetik suatu batuan maka nilai intensitas medan magnetnya akan semakin besar pula.

Pada penelitian ini jenis mineral yang diindikasikan adalah mineral bijih besi. Mineral ini banyak mengandung magnetik, ilmenite dan oksida besi, sehingga dalam kegiatan geofisika salah satu metode yang sangat tepat digunakan untuk jenis mineral magnetik adalah metode geomagnet.

Bijih besi merupakan mineral yang terkandung dalam pasir besi. Ganesa pasir besi sendiri berasal dari letusan gunung berapi yang mengalami transportasi dan sedimentasi dalam kurun waktu yang sangat lama. Batuan penyusun bijih besi ialah berupa batuan beku yakni batu basal dan breksi. Berdasarkan informasi geologi lembar Ujung Pandang, daerah Bantaeng, Sinjai Sulawesi tahun 1982 yang dipetakan oleh Rab Sukamto dan Sam Suprianata 1:250.0000 diketahui bahwa lokasi penelitian memiliki formasi batuan berupa breksi, tufa dan lahar.

Secara umum pasir besi yang dijumpai pada lokasi penelitian merupakan hasil erupsi Gunung api Lompobattang yang disebut sebagai formasi Lompobattang. Pasir besi disekitar pesisir pantai itu, mengalami pelapukan dan perombakan seiring berjalannya waktu. Untuk lokasi penelitian sendiri, pasir besi yang ditemukan

berdasarkan penampakan dasar permukaan terakumulasi karena proses penghancuran oleh cuaca, air permukaan dan gelombang terhadap batuan asal yang mengandung mineral besi seperti *magnetit*, *ilmenit* dan oksida besi. Secara umum pasir besi berasal dari batuan beku, namun mengingat lokasi penelitian berada di pesisir pantai maka akan sangat memungkinkan untuk tidak ditemukannya batuan beku, melainkan batu sedimen.

Batuan sedimen terbentuk karena adanya proses pelapukan, erosi dan eksogen. Pengelompokan jenis batuan ini berdasarkan ukuran butir (*fragmen*) dan komposisi mineral pembentukannya. Secara teori batu pasir terbentuk oleh kuarsa dan feldspart. Untuk ukuran fragmennya batu pasir memiliki rentang ukuran (1/16 sampai 2 mm). Batu pasir dengan fragmen besar terbentuk breksi sementara untuk fragmen kecil/halus batuannya berupa andesit, basalt.

Pada penelitian digunakan tiga buah lintasan dengan jarak antar lintasan adalah 30m dengan total grid yang digunakan adalah 73 grid. Proses *lopping* yang dilakukan adalah sebanyak 3 kali *lopping*. Pengambilan data lapangan dilakukan dengan metode grid persegi. Data yang diperoleh dilapangan kemudian dianalisis menggunakan Ms. Excel, *surfer 10* , *magpick* dan Mag2Dc. Dari hasil interpretasi kualitatif berupa filtering pada software *surfer 10* dan *magpick* diperoleh hasil berupa peta kontur intensitas magnetik pada lokasi penelitian. Pada nilai intensitas medan magnet diperoleh sifat kemagnetan batuan di pesisir Pantai Marina adalah jenis batuan yang termagnetisasi segar, karena nilai intensitas magnetiknya bernilai positif

dan  $>1000$  nT yakni sebesar  $1,500$  nT, yang diinterpretasikan berada pada koordinat  $120^{\circ}5' 44,48''$  BT dan  $5^{\circ} 35' 1,31''$  LS.

Untuk jenis batuannya sendiri setelah diinterpretasi kuantitatif dalam pemodelan ke atas, diperoleh nilai susebtibilitas magnetik batuan pasir adalah  $0,4800$  emu, berada pada kedalaman  $25 - 77$  m.

## **BAB V**

### **PENUTUP**

#### **5.1. Kesimpulan**

Kesimpulan Pada Penelitian ini adalah:

1. Dari hasil pemodelan peta kontur nilai intensitas medan magnet ditemukan penyebaran pasir besi di pesisir pantai Marina untuk nilai intensitas medan magnet rendah yang ditunjukan dengan skala -900 nT sampai -100nT. Untuk nilai intensitas medan magnet sedang ditunjukan 100 nT hingga 900 nT. Sementara untuk nilai intensitas medan magnet tinggi adalah 1000 nT hingga 1800 nT.
2. Indikasi letak bijih besi berada pada koordinat  $120^{\circ} 5' 44,48''$  BT dan  $5^{\circ} 35' 1,31''$  LS. Yakni jenis batu pasir dengan nilai suseptibilitas sebesar 0,4800 emu/cc, pada kedalaman 25-77 m.

#### **5.2. Saran**

Saran yang dapat disampaikan pada penelitian ini adalah:

1. Untuk memperoleh data yang lebih akurat mengenai keberadaan bijih besi dapat dilakukan dengan metode geofisika yang berbeda yakni metode grafitasi.
2. Sebaiknya dalam proses pengambilan data dapat menggunakan dua jenis alat ukur agar menghasilkan waktu *looping* yang baik, sehingga mengurangi eror. Sebab pada penelitian ini hanya menggunakan satu unit Magnetometer dikarenakan keterbatasan alat dan biaya.

## DAFTAR PUSTAKA

Anonim, 2015. <http://www.digilib.unila.ac.id/131/12/bab%20III.pdf>.

Altin, Muhammad Massinai, dkk., "Penerapan Metoda Geomagnet Dalam Pendugaan Potensi Laterite Biji Besi di Patalassang Donggala", UNHAS (t.th.)

Andi Tendri Awali Wildasana, dkk., "Akuisi Pengolahan dan Interpretasi Data Geomagnet Untuk Analisis Struktur Bawah Permukaan" (Laporan Geomagnet). FMIPA Unhas. Mei 2014.

Badan Pusat Statistik Bantaeng, "Statistik Daerah Kecamatan Pajukukang", 2015., [www.bantaengkab.bps.go.id](http://www.bantaengkab.bps.go.id).

Deniyanto."Pemodelan kedepan (Forward Modeling) 2 Dimensi Data Magnetik Untuk Identifikasi Biji Besi Di Lokasi X, Provinsi Sumatra Barat", Jurnal Aplikasi Fisika 6, no. 2 (2010).

Departemen Agama R.I., "Al-qur'an dan terjemahnya", jakarta: Bumi aksar, 2002.

Faisol Muhammad Abdullah, dkk., "Pendugaan Jenis Batuan Bawah Permukaan Daerah Bendungan Karangkates Menggunakan Metode Geomagnetik", Universitas Brawijaya 2007.

Iin Hurun'in, "Tafsir, q.s al-hadid", Tasikmalaya: Jawa Barat, 2014.

IR. Agus Haryo sudarmojo, "Buku History Of Earth" .PT. BENTANG PUSTAKA : Kalimantan. 2013.

Juharni. "Karakteristik Pasir Besi di Pantai Marina Kabupaten Bantaeng". Skripsi. Makassar: Fak. Sains dan Teknologi UIN Alauddin. 2016

Lawarence, Vlack Va H. "Elemen-Elemen dan Ilmu Rekayasa Material", edisi 6. Jakarta: Erlangga, 2004. (Dalam skripsi: Muhammad Yunus, 2010: 25)

M. Quraish Shihab. "Tafsir Al-Misbah", Vol 9, 2002.

Nurdyianto Boko S, dkk., "Analisis Data Magnetik Untuk Mengetahui Struktur Bawah Permukaan Daerah Menifestasi Air Panas Dilereng Utara Gunung Api Ungaran". Prosiding Himpunan Ahli Geofisika Indonesia ke-29, 5-7 Oktober 2004.

- Nurfalaq, Aryadi. "Model Anomali Magnetik Daerah Potensi Pasir Besi di Pantai Pabiringa Kabupaten Jeneponto". *Skripsi*. Makassar. FMIPA UNM. 2009.
- POKJA, "Buku Putih Sanitasi, Gambar Umum Wilayah. Kabupaten Bantaeng ", *Situs Resmi pokja*. <http://www.gambaran.umumkabupaten.banteng>. 14 Juni 2015.
- Ramadhan Apriyanto, dkk., "Pendugaan Potensi Bijih Besi Di Dusun Sepoteng Kecamatan Sungai Betung Kabupaten Bengkayang Dengan Metode Geomagnet". *prisma fisika*, Vol II, 3. 2014, ISSN: 2337-8204.
- Santoso Bagus Jaya, dkk., "Interpretasi Metode Geomagnetik Untuk Penentuan Struktur Bawah Permukaan Disekitar Gunung Kelud Kabupaten Kediri". *Penelitian Fisika dan Aplikasinya (JPFA)*, Vol 2, 1. 2012, ISSN: 2087-9946.
- Siahaan, Barita Uli Basa Mangatur. "Penentuan Struktur Pada Zona Hyrokarbon Daerah "X" Menggunakan Metode Magnetik". *Skripsi*. Depok: Fak. Matematika dan Ilmu Pengetahuan UI, 2009.
- Sudaryo, Broto, dkk., "Aplikasi Metode Geomagnet Dalam Eksplorasi Panas Bumi". *Jurnal Teknik* 32, No. 1. 2011, ISSN 0852-1697.
- Syamsu Rosid. "Geomagnetic Method Lecture Note. Physic Departement". Depok: FMIPA UI. 2008. (Dalam skripsi: Isna Laily Juanita, 2016: 32-34)
- Tamar, Moe." Eksplorasi Umum Pasir Besi di Daerah Kabupaten Jeneponto, Provinsi Sulawesi Selatan ", Proceeding Pemaparan Hasil-Hasil Kegiatan Lapangan dan Non Lapangan. 2008.
- Tim Direktorat Inventarisasi Sumberdaya Mineral. "Pedoman Teknis Eksplorasi Pasir Besi", Pusat Sumber Daya Geologi. 2005.
- Tendri, Andi Awali Wildasana, DKK. "Laporan : "Akuisi, Pengolahan dan Interpretasi Data Geomagnet Untuk Analisis Struktur Bawah Permukaan", FMIPA, UNHAS. 2012.
- Telford. W. M. "Applied Geophysics", Cambridge University Press, London BATAN. 1976.

## RIWAYAT HIDUP

Susilas Tuti. Lahir pada tanggal 29 Juli 1994 di Palopo, Sulawesi Selatan. Merupakan anak pertama dari pasangan Ayahanda Abdul Latief Bembang dan Ibunda Yuliana Patahuddin. Pada tahun 1999, penulis menamatkan pendidikan TK Dasar di TK YAPIS Timika, Papua. Kemudian tammat pada tahun 2005 di SD Impres Kwamki II Timika, Papua dan tahun 2008 penulis tammat dari SMPN 02 Timika, Papua. Selanjutnya penulis menyelesaikan *study* di SMAN 06 Makassar pada tahun 2012 dan pada tahun itu pula penulis terdaftar sebagai Mahasiswa Jurusan Fisika Fakultas Sains dan Teknologi, Universitas Islam Negeri Alauddin Makassar. Selama menjadi Mahasiswa penulis aktif menjadi anggota Tae Kwon Do, dan sempat menjabat sebagai Wakil Bendahara dan Koordinator HUMAS di HMJ-Fisika.



# **LAMPIRAN 1**

**PETA LOKASI**

**PETA GEOLOGI**

**PETA GRID LINTASAN  
GEOMAGNET**

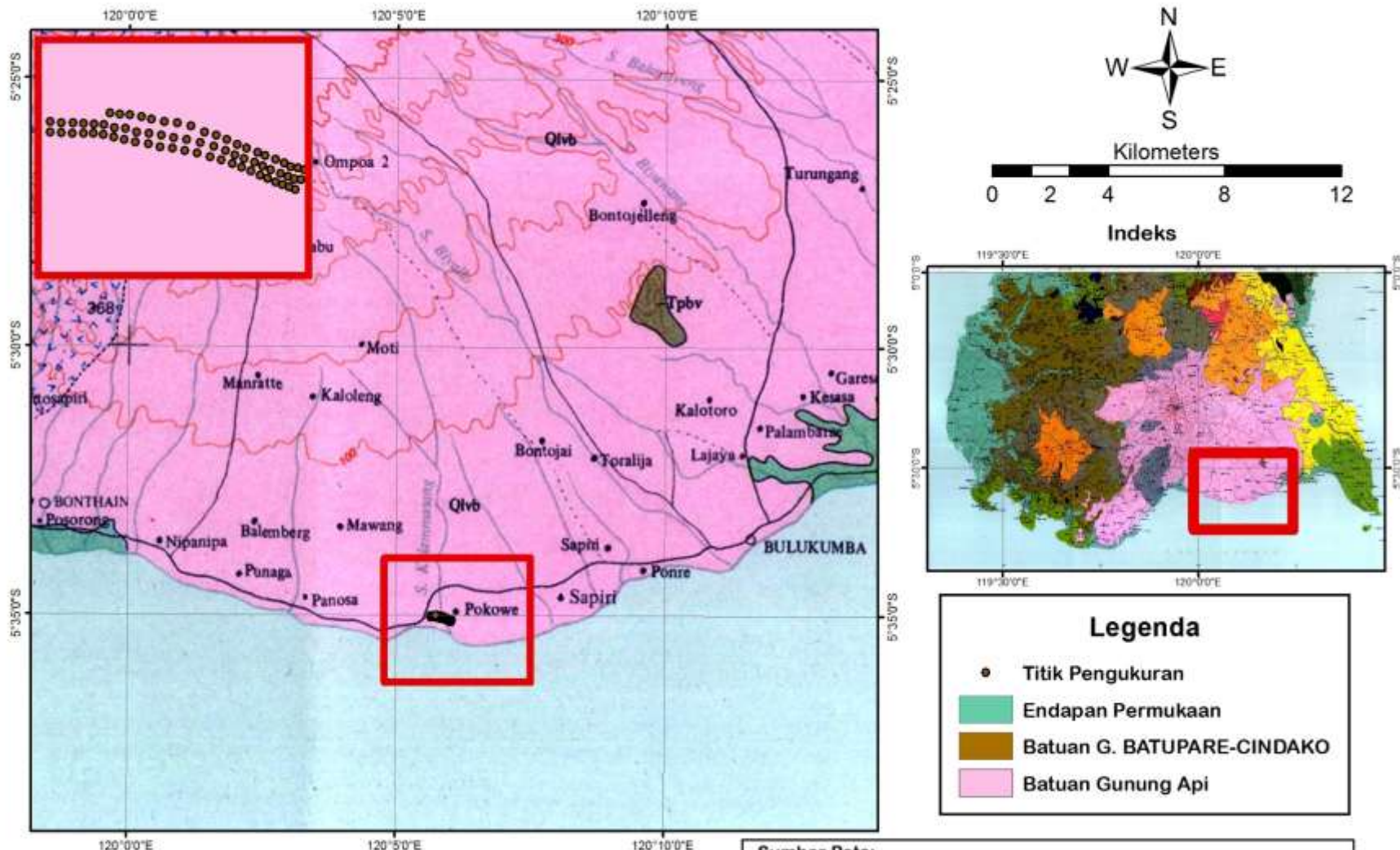
**PETA ADMINISTRASI**

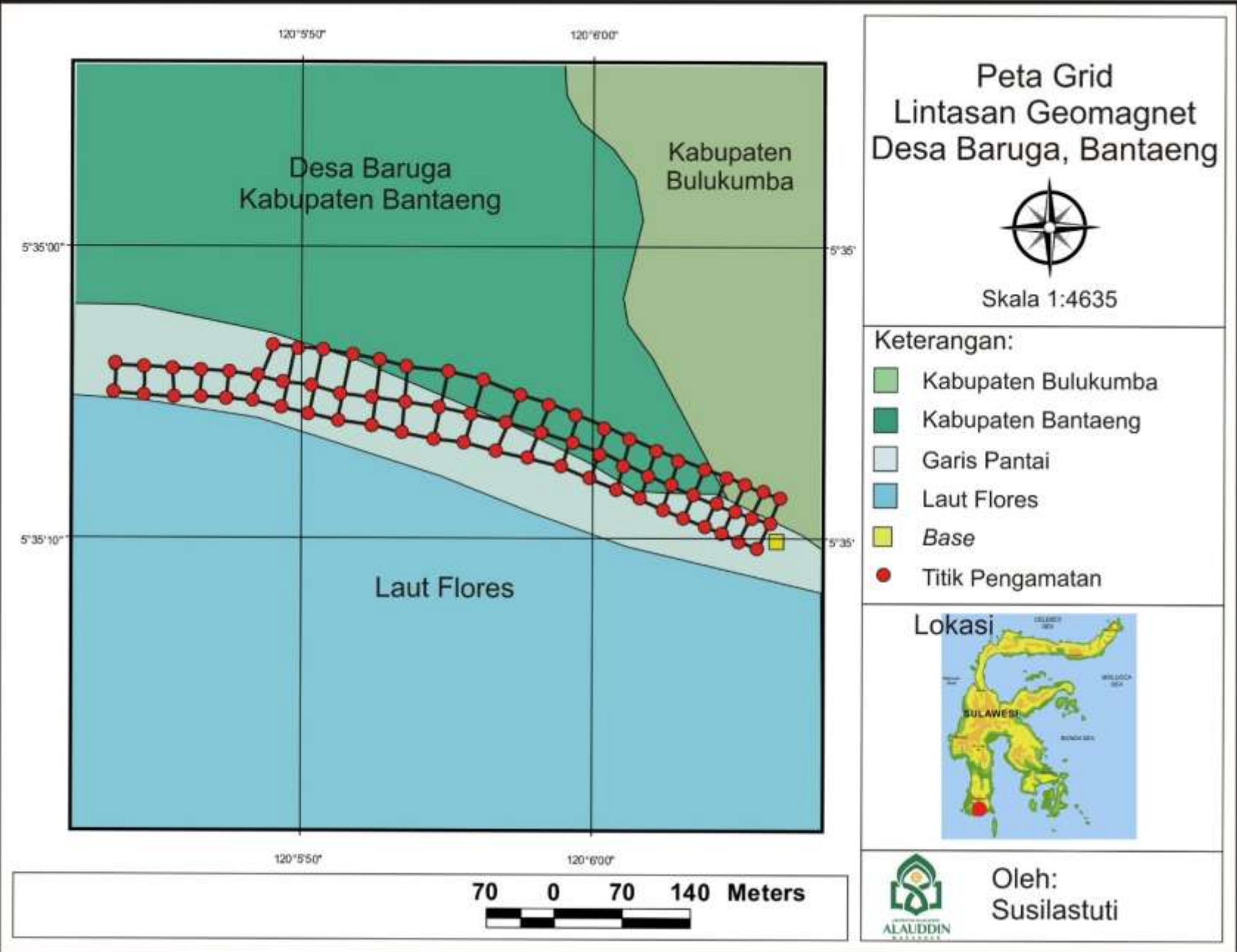
**PETA LOKASI KABUPATEN BANTAENG**  
**DUSUN KORONG BATU DESA BARUGA KEC. PAJUKUKANG KAB.**  
**BANTAENG PANTAI MARINA**



Sumber: Dokumen Pribadi. *Foto peta penelitian survey geolistrik resistivitas*. Gowa: Makassar, 2015.

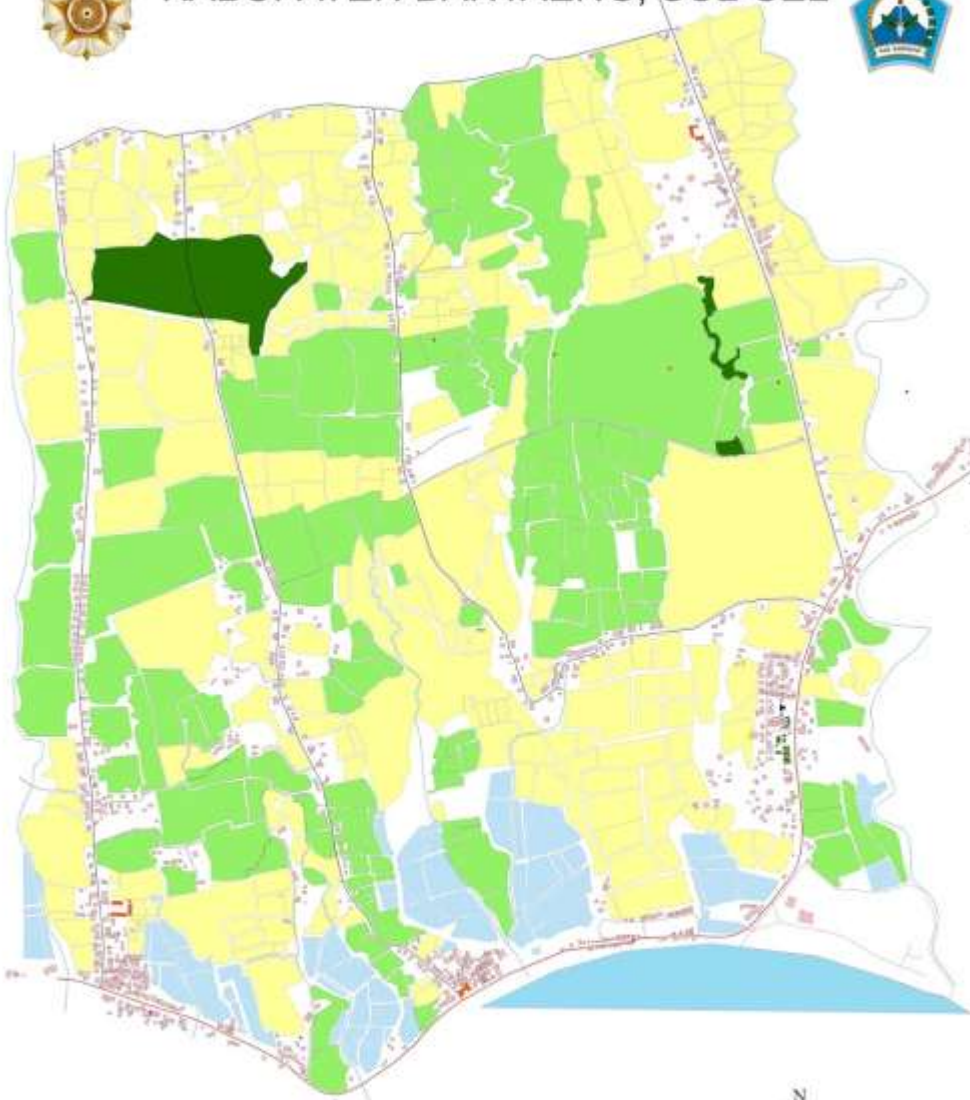
# PETA GEOLOGI LOKASI PENELITIAN





## PETA ADMINISTRASI DESA BARUGA

### PETA DESA BARUGA, KECAMATAN PA'JUKUKANG, KABUPATEN BANTAENG, SUL-SEL



#### Legenda:

|                |   |                   |   |               |
|----------------|---|-------------------|---|---------------|
| tower          | — | jalan_poros       | — | pantai_marina |
| sungai         | — | UPTD              | — | empang        |
| kawasan_wisata | — | puskesmas         | — | persawahan    |
| jalan_setapak  | — | kantor_desa       | — | lahan_kering  |
| gang           | — | sekolah           | — | hutan         |
| jalan_desa     | — | rumah_kepala_desa | — | rumah         |



400 200 0 400 Meters

1:4,000

KKN PPM UGM 2015 SSL-01

# **LAMPIRAN 2**

## **DAFTAR SUSEPTIBILITAS MAGNETIK BATUAN DAN MINERAL**

**(DALAM BESARAN  $k \times 10^3$  emu/cc)**

DAFTAR TABEL SUSEBTIBILITAS ANOMALI MEDAN MAGNET ( X 10<sup>3</sup> emu/cc)

| Tipe                      | Range            | Rata-Rata |
|---------------------------|------------------|-----------|
| Sedimen                   |                  |           |
| <i>Dolomite</i>           | 0-0.9            | 0.1       |
| <i>Limestones</i>         | 0-3              | 0.3       |
| <i>Sandstones</i>         | 0-20             | 0.4       |
| <i>Shales</i>             | 0.01-15          | 0.6       |
| <i>Av. 48 sedimentary</i> | 0-18             | 0.9       |
| Beku                      |                  |           |
| <i>Granite</i>            | 0-50             | 2.5       |
| <i>Rhyolite</i>           | 0.2-35           |           |
| <i>Dolorite</i>           | 1-35             | 17        |
| <i>Augite-syenite</i>     | 30-40            |           |
| <i>Olivine-disbase</i>    |                  | 25        |
| <i>Diabase</i>            | 1-160            | 55        |
| <i>Porphyry</i>           | 0.3-200          | 60        |
| <i>Gabbro</i>             | 1-90             | 70        |
| <i>Basalts</i>            | 0.2-175          | 70        |
| <i>Diorite</i>            | 0.6-120          | 85        |
| <i>Pyroxenite</i>         |                  | 125       |
| <i>Peridotite</i>         | 90-200           | 150       |
| <i>Andesite</i>           |                  | 160       |
| <i>Av. Acidic igneous</i> | 0-80             | 8         |
| <i>Av. Basic igneous</i>  | 0.5-97           | 25        |
| Mineral                   |                  |           |
| <i>Graphite</i>           |                  | 0.1       |
| <i>Quartz</i>             |                  | -0.01     |
| <i>Rock Salt</i>          |                  | -0.01     |
| <i>Anhdrite, Gypsum</i>   |                  | -0.01     |
| <i>Calcite</i>            | -0.001 - (-0.01) |           |
| <i>Coal</i>               |                  | 0.02      |
| <i>Clays</i>              |                  | 0.2       |
| <i>Chalcopyrite</i>       |                  | 0.4       |
| <i>Sphalerite</i>         |                  | 0.7       |
| <i>Cassiterite</i>        |                  | 0.9       |
| <i>Siderite</i>           | 01 – Apr         |           |
| <i>Pyrite</i>             | 0.05 – 5         | 1.5       |
| <i>Limonite</i>           |                  | 2.5       |
| <i>Arsenopyrite</i>       |                  | 3         |
| <i>Hematite</i>           | 0.5 - 35         | 6.5       |

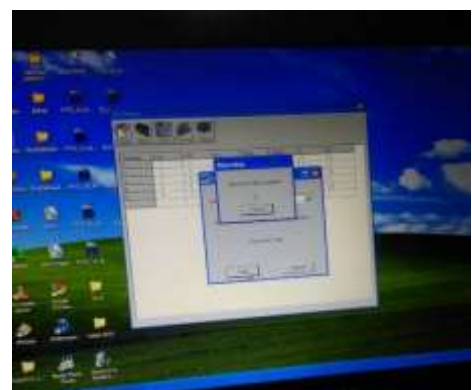
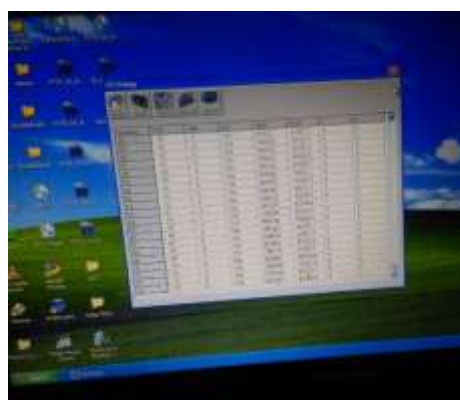
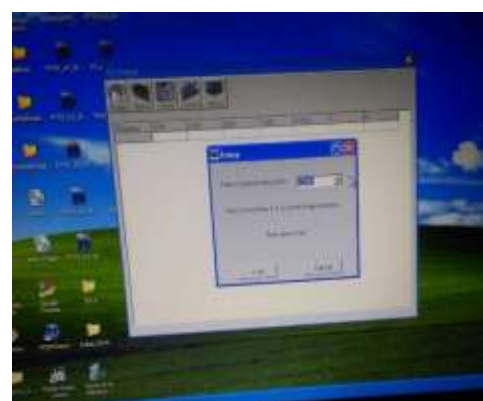
|                    |              |      |
|--------------------|--------------|------|
| <i>Chromite</i>    | 3 - 110      | 7    |
| <i>Franklinite</i> |              | 430  |
| <i>Pyrrhotite</i>  |              | 1500 |
| <i>Ilmenite</i>    | 300 - 3500   | 1800 |
| <i>Magnetite</i>   | 1200 - 19200 | 6000 |

(Sumber: Telfort, 1976: 74).

# **LAMPIRAN 3**

## **DOKUMENTASI DUMPING DATA**

## **LAPANGAN**

**DOKUMENTASI DUMPING DAT DI GEDUNG SAINS BUILDING UNHAS**

# **LAMPIRAN 4**

**PENGOLAHAN DATA PADA**

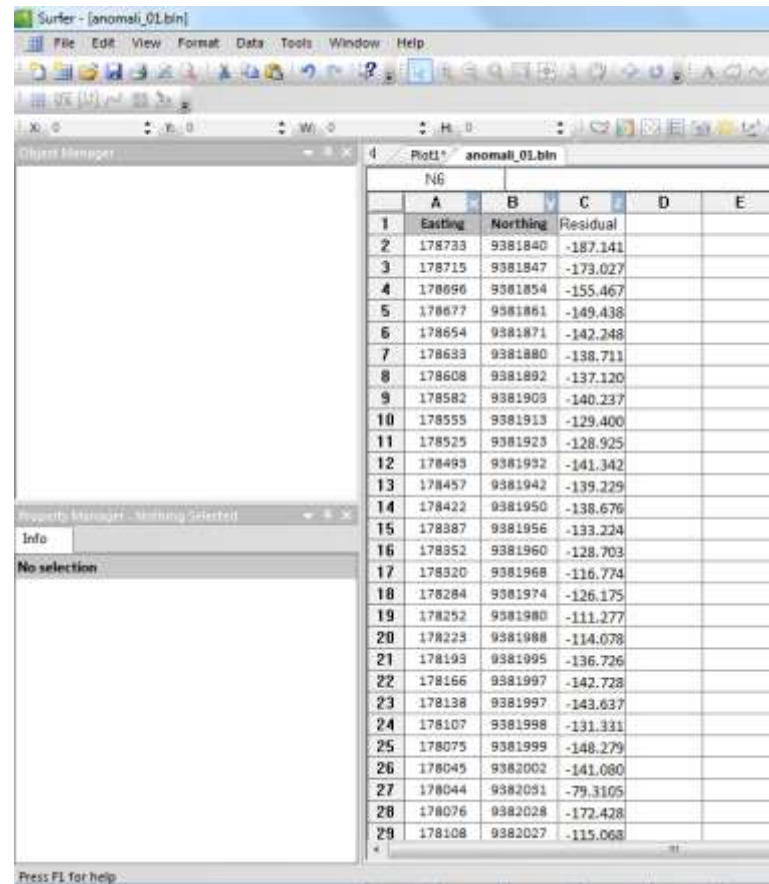
**SOFWARE**

**SURFER 10**

**MAGPICK**

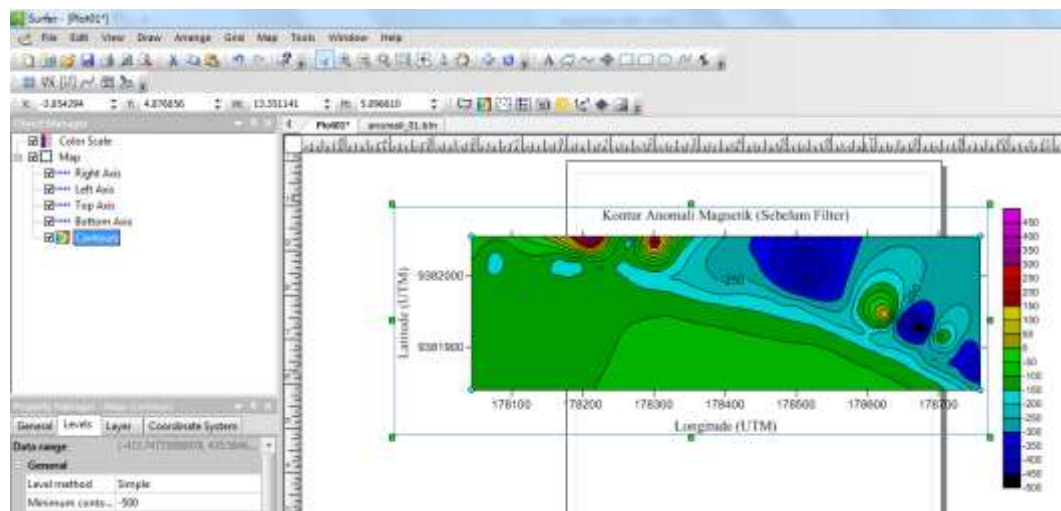
**MAG2DC**

## DOKUMENTASI PENGOLAHAN DATA PADA SURFER 10

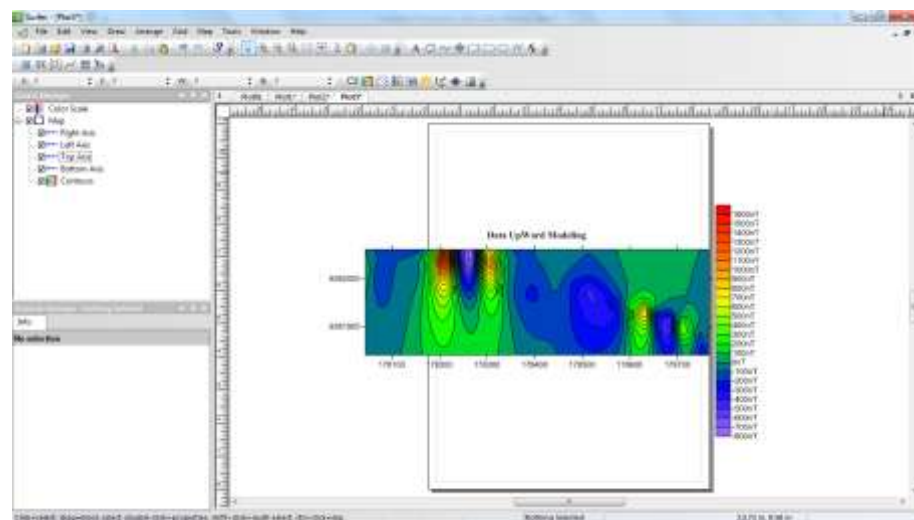


| No | Easting | Northing | Residual |
|----|---------|----------|----------|
| 1  | 178733  | 9381840  | -187.141 |
| 2  | 178715  | 9381847  | -173.027 |
| 3  | 178696  | 9381854  | -155.467 |
| 4  | 178677  | 9381861  | -149.438 |
| 5  | 178654  | 9381871  | -142.248 |
| 6  | 178633  | 9381880  | -138.711 |
| 7  | 178608  | 9381882  | -137.120 |
| 8  | 178582  | 9381903  | -140.237 |
| 9  | 178555  | 9381913  | -129.400 |
| 10 | 178525  | 9381923  | -128.925 |
| 11 | 178493  | 9381932  | -141.342 |
| 12 | 178457  | 9381942  | -139.229 |
| 13 | 178422  | 9381950  | -138.676 |
| 14 | 178387  | 9381956  | -133.224 |
| 15 | 178352  | 9381960  | -128.703 |
| 16 | 178320  | 9381968  | -116.774 |
| 17 | 178284  | 9381974  | -126.175 |
| 18 | 178252  | 9381980  | -111.277 |
| 19 | 178223  | 9381988  | -114.078 |
| 20 | 178193  | 9381993  | -136.726 |
| 21 | 178166  | 9381997  | -142.728 |
| 22 | 178138  | 9381997  | -143.637 |
| 23 | 178107  | 9381998  | -131.331 |
| 24 | 178075  | 9381999  | -148.279 |
| 25 | 178045  | 9382002  | -141.080 |
| 26 | 178044  | 9382001  | -79.3105 |
| 27 | 178076  | 9382028  | -172.428 |
| 28 | 178108  | 9382027  | -115.068 |
| 29 |         |          |          |

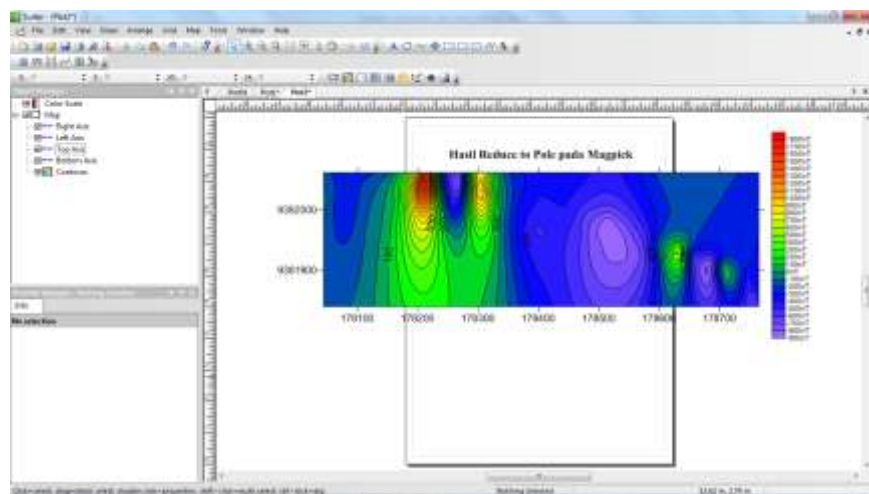
Kontur Anomali Sebelum di Filter Pada Magpick



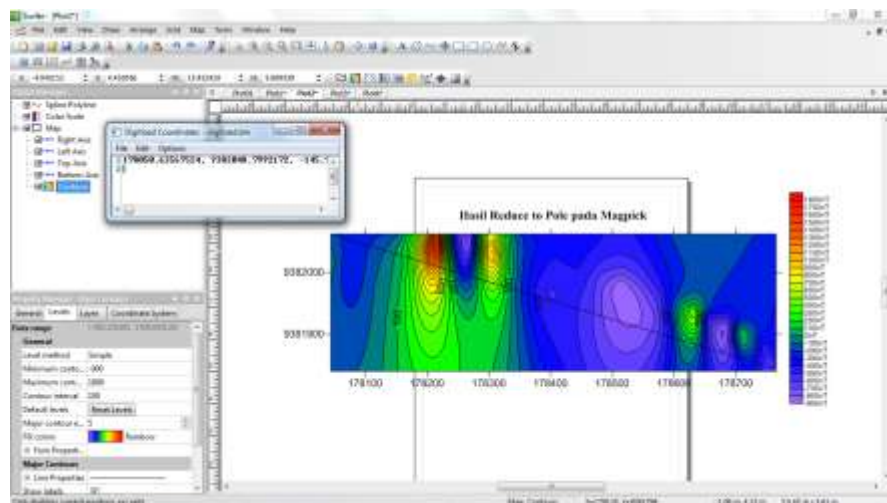
Kontur Hasil Up Ward Modeling



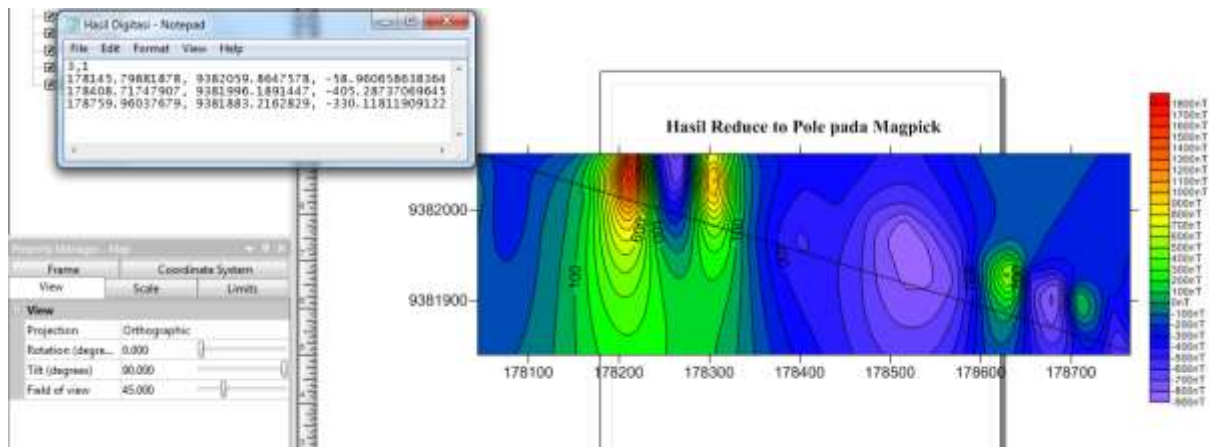
Kontur Hasil Reduce to pole



Kontur Hasil Slice



## Hasil Digitasi

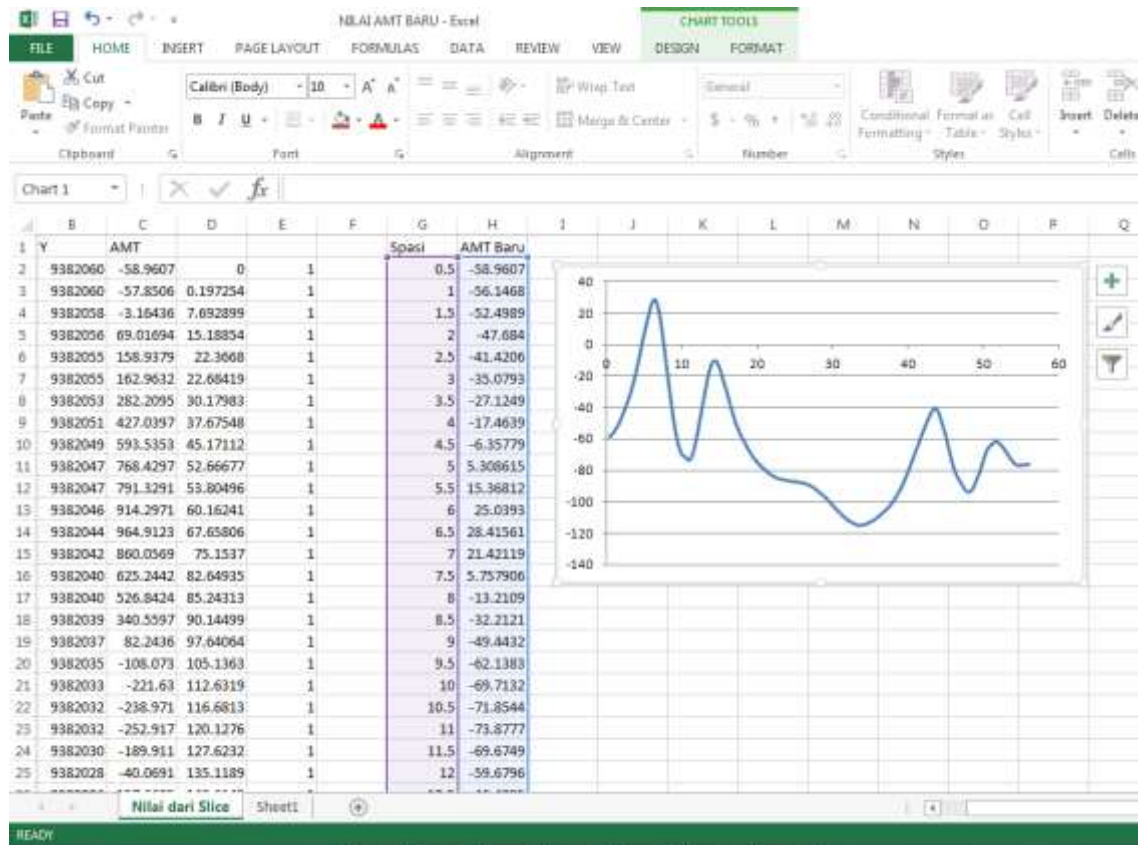


## Data Hasil Slice

Nilai dari Slice

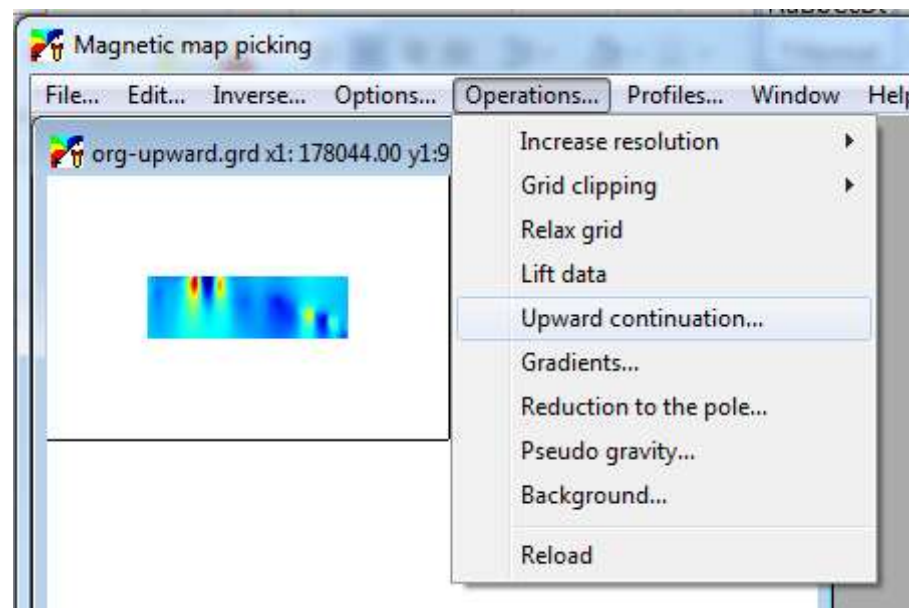
|    | A        | B       | C        | D        | E | F | G     | H        |
|----|----------|---------|----------|----------|---|---|-------|----------|
| 1  | X        | Y       | AMT      |          |   |   | Spasi | AMT Baru |
| 2  | 178145.8 | 9382060 | -58.9607 | 0        | 1 |   | 0.5   | -58.9607 |
| 3  | 178146   | 9382060 | -57.8506 | 0.197254 | 1 |   | 1     | -56.1468 |
| 4  | 178153.3 | 9382058 | -3.16436 | 7.692899 | 1 |   | 1.5   | -52.4989 |
| 5  | 178160.6 | 9382056 | 69.01694 | 15.18854 | 1 |   | 2     | -47.684  |
| 6  | 178167.5 | 9382055 | 158.9379 | 22.3668  | 1 |   | 2.5   | -41.4206 |
| 7  | 178167.8 | 9382055 | 162.9632 | 22.68419 | 1 |   | 3     | -35.0793 |
| 8  | 178175.1 | 9382053 | 282.2095 | 30.17983 | 1 |   | 3.5   | -27.1249 |
| 9  | 178182.4 | 9382051 | 427.0397 | 37.67548 | 1 |   | 4     | -17.4639 |
| 10 | 178189.7 | 9382049 | 593.5353 | 45.17112 | 1 |   | 4.5   | -6.35779 |
| 11 | 178197   | 9382047 | 768.4297 | 52.66677 | 1 |   | 5     | 5.308615 |
| 12 | 178198.1 | 9382047 | 791.3291 | 53.80496 | 1 |   | 5.5   | 15.36812 |
| 13 | 178204.3 | 9382046 | 914.2971 | 60.16241 | 1 |   | 6     | 25.0393  |
| 14 | 178211.6 | 9382044 | 964.9123 | 67.65806 | 1 |   | 6.5   | 28.41561 |
| 15 | 178218.8 | 9382042 | 860.0569 | 75.1537  | 1 |   | 7     | 21.42119 |
| 16 | 178226.1 | 9382040 | 625.2442 | 82.64935 | 1 |   | 7.5   | 5.757906 |
| 17 | 178228.6 | 9382040 | 526.8424 | 85.24313 | 1 |   | 8     | -13.2109 |
| 18 | 178233.4 | 9382039 | 340.5597 | 90.14499 | 1 |   | 8.5   | -32.2121 |
| 19 | 178240.7 | 9382037 | 82.2436  | 97.64064 | 1 |   | 9     | -49.4432 |
| 20 | 178248   | 9382035 | -108.073 | 105.1363 | 1 |   | 9.5   | -62.1383 |
| 21 | 178255.3 | 9382033 | -221.63  | 112.6319 | 1 |   | 10    | -69.7132 |
| 22 | 178259.2 | 9382032 | -238.971 | 116.6813 | 1 |   | 10.5  | -71.8544 |
| 23 | 178262.6 | 9382032 | -252.917 | 120.1276 | 1 |   | 11    | -73.8777 |
| 24 | 178269.8 | 9382030 | -189.911 | 127.6232 | 1 |   | 11.5  | -69.6749 |
| 25 | 178277.1 | 9382028 | -40.0691 | 135.1189 | 1 |   | 12    | -59.6796 |

### Kurva model untuk pemodelan di mag2dc

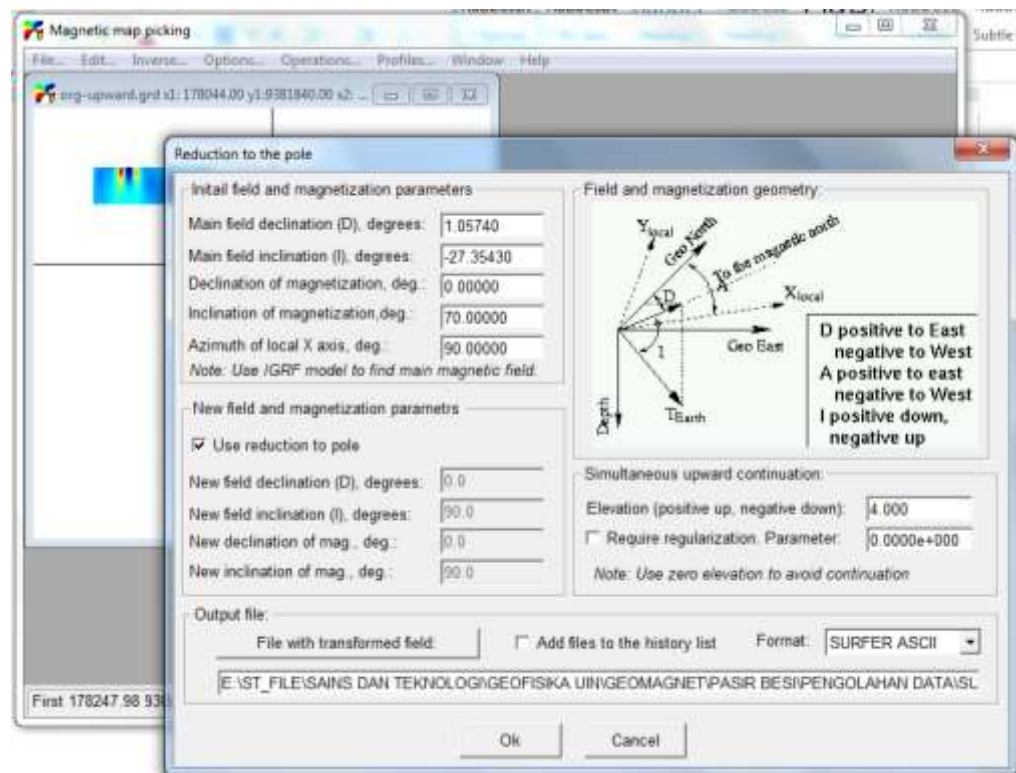


## DOKUMENTASI PENGOLAHAN DATA PADA MagPick

### Data yang di Filter (Upward Continuitas)

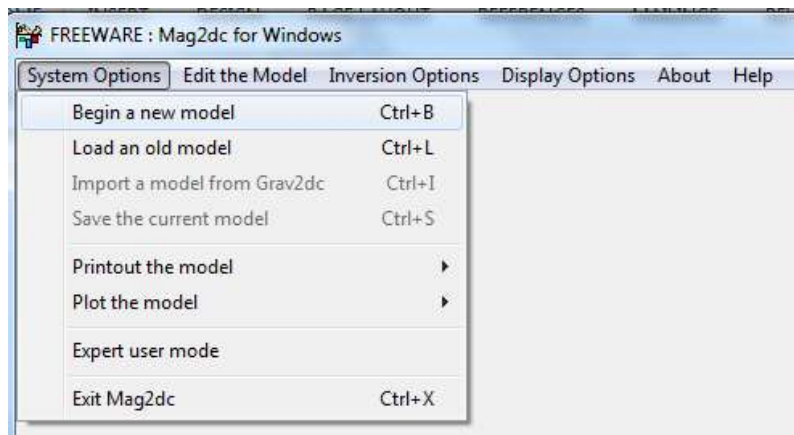


### Data yang di Reduce to pole

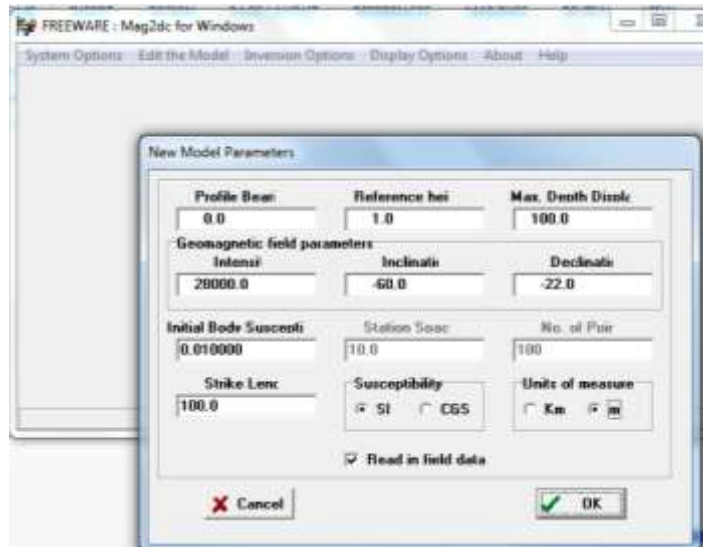


## DOKUMENTASI PENGOLAHAN DATA PADA Mag2DC

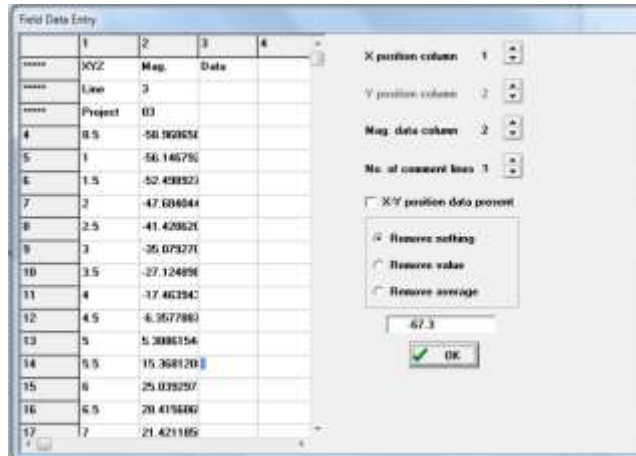
### Membuat pemodelan Forward Modeling



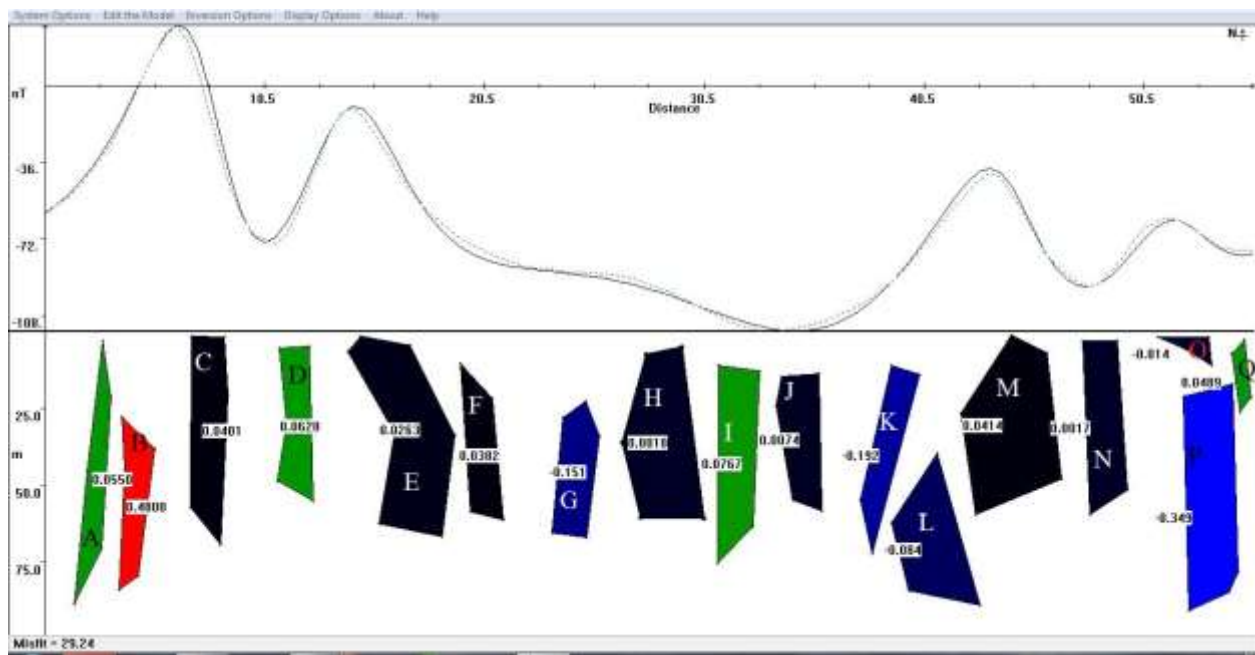
Menginput nilai parameter pemodelan,



Memasukkan data yang ingin di modelkan,



Melakukan Pemodelan / body sesuai dengan nilai suseptibilitas batuan



# **LAMPIRAN 5**

## **HASIL PENGOLAHAN DATA**

### **PADA EXCEL**

## DATA PENGUKURAN DI LAPANGAN

### A. DATA MENTAH

#### Hasil Data Pengukuran Medan Magnet Menggunakan Magnetometer Geotron G5Proton (Waktu dalam UTM)

|                             |                 |                                       |                        |
|-----------------------------|-----------------|---------------------------------------|------------------------|
| Peneliti                    | : SUSILAS TUTI  | Cuaca                                 | : Cerah                |
| Topografi                   | : Daerah Landai | Alat                                  | : MagnetometerG5Proton |
| Jumlah data pengukuran : 73 |                 | pembimbing Lapangan : Nurhidayat S.Si |                        |

| No Data | Line | Tanggal Pengukuran Data | Waktu dalam UTM | Medan Magnet dalam nT | Posisi Pengamat | Northing dalam UTM | Easting dalam UTM | Elevasi dalam m |
|---------|------|-------------------------|-----------------|-----------------------|-----------------|--------------------|-------------------|-----------------|
| 1       | 2    | 3                       | 4               | 5                     | 6               | 7                  | 8                 | 9               |
| 1       | 0    | 6/2/2012                | 81356           | 429545                | base            | 9381847            | 178753            | 4               |
| 2       | 1    | 6/2/2012                | 81503           | 430103                | 1               | 9381840            | 178733            | 3               |
| 3       | 1    | 6/2/2012                | 81549           | 430276                | 2               | 9381847            | 178715            | 3               |
| 4       | 1    | 6/2/2012                | 81630           | 430480                | 3               | 9381854            | 178696            | 3               |
| 5       | 1    | 6/2/2012                | 81710           | 430568                | 4               | 9381861            | 178677            | 3               |
| 6       | 1    | 6/2/2012                | 81818           | 430687                | 5               | 9381871            | 178654            | 3               |
| 7       | 1    | 6/2/2012                | 81855           | 430748                | 6               | 9381880            | 178633            | 3               |
| 8       | 1    | 6/2/2012                | 81937           | 430793                | 7               | 9381892            | 178608            | 3               |
| 9       | 1    | 6/2/2012                | 82022           | 430793                | 8               | 9381903            | 178582            | 3               |
| 10      | 1    | 6/2/2012                | 82112           | 430936                | 9               | 9381913            | 178555            | 3               |
| 11      | 1    | 6/2/2012                | 82200           | 430974                | 10              | 9381923            | 178525            | 3               |
| 12      | 1    | 6/2/2012                | 82245           | 430881                | 11              | 9381932            | 178493            | 3               |
| 13      | 1    | 6/2/2012                | 82331           | 430934                | 12              | 9381942            | 178457            | 3               |
| 14      | 1    | 6/2/2012                | 82415           | 430970                | 13              | 9381950            | 178422            | 3               |
| 15      | 1    | 6/2/2012                | 82459           | 431055                | 14              | 9381956            | 178387            | 3               |
| 16      | 1    | 6/2/2012                | 82555           | 431139                | 15              | 9381960            | 178352            | 3               |
| 17      | 1    | 6/2/2012                | 82635           | 431286                | 16              | 9381968            | 178320            | 3               |
| 18      | 1    | 6/2/2012                | 82714           | 431219                | 17              | 9381974            | 178284            | 3               |
| 19      | 1    | 6/2/2012                | 82753           | 431395                | 18              | 9381980            | 178252            | 3               |
| 20      | 1    | 6/2/2012                | 82832           | 431394                | 19              | 9381988            | 178223            | 3               |
| 21      | 1    | 6/2/2012                | 82916           | 431198                | 20              | 9381995            | 178193            | 3               |
| 22      | 1    | 6/2/2012                | 83008           | 431174                | 21              | 9381997            | 178166            | 3               |
| 23      | 1    | 6/2/2012                | 83050           | 431194                | 22              | 9381997            | 178138            | 3               |
| 24      | 1    | 6/2/2012                | 83139           | 431351                | 23              | 9381998            | 178107            | 3               |
| 25      | 1    | 6/2/2012                | 83223           | 431212                | 24              | 9381999            | 178075            | 3               |

|    |   |          |       |        |      |         |        |   |
|----|---|----------|-------|--------|------|---------|--------|---|
| 26 | 1 | 6/2/2012 | 83315 | 431320 | 25   | 9382002 | 178045 | 3 |
| 27 | 2 | 6/2/2012 | 83626 | 432070 | 25   | 9382031 | 178044 | 3 |
| 28 | 2 | 6/2/2012 | 83724 | 431179 | 24   | 9382028 | 178076 | 3 |
| 29 | 2 | 6/2/2012 | 83805 | 431781 | 23   | 9382027 | 178108 | 3 |
| 30 | 2 | 6/2/2012 | 83841 | 431879 | 22   | 9382026 | 178137 | 3 |
| 31 | 2 | 6/2/2012 | 83918 | 431349 | 21   | 9382024 | 178167 | 3 |
| 32 | 2 | 6/2/2012 | 83957 | 431508 | 20   | 9382022 | 178195 | 3 |
| 33 | 2 | 6/2/2012 | 84101 | 431519 | 19   | 9382014 | 178224 | 3 |
| 34 | 2 | 6/2/2012 | 84142 | 431527 | 18   | 9382011 | 178255 | 3 |
| 35 | 2 | 6/2/2012 | 84218 | 431200 | 17   | 9382002 | 178286 | 3 |
| 36 | 2 | 6/2/2012 | 84254 | 431053 | 16   | 9381998 | 178322 | 3 |
| 37 | 2 | 6/2/2012 | 84329 | 430983 | 15   | 9381993 | 178356 | 3 |
| 38 | 2 | 6/2/2012 | 84405 | 430779 | 14   | 9381985 | 178391 | 3 |
| 39 | 2 | 6/2/2012 | 84439 | 431080 | 13   | 9381980 | 178427 | 3 |
| 40 | 2 | 6/2/2012 | 84513 | 431083 | 12   | 9381972 | 178465 | 3 |
| 41 | 2 | 6/2/2012 | 84551 | 431139 | 11   | 9381962 | 178504 | 3 |
| 42 | 2 | 6/2/2012 | 84627 | 430988 | 10   | 9381950 | 178536 | 3 |
| 43 | 2 | 6/2/2012 | 84704 | 431023 | 9    | 9381937 | 178563 | 3 |
| 44 | 2 | 6/2/2012 | 84743 | 431133 | 8    | 9381926 | 178589 | 3 |
| 45 | 2 | 6/2/2012 | 84819 | 430793 | 7    | 9381916 | 178617 | 3 |
| 46 | 2 | 6/2/2012 | 84856 | 431125 | 6    | 9381906 | 178641 | 3 |
| 47 | 2 | 6/2/2012 | 84933 | 431221 | 5    | 9381895 | 178663 | 3 |
| 48 | 2 | 6/2/2012 | 85010 | 430258 | 4    | 9381886 | 178691 | 3 |
| 49 | 2 | 6/2/2012 | 85041 | 430378 | 3    | 9381877 | 178711 | 3 |
| 50 | 2 | 6/2/2012 | 85109 | 430461 | 2    | 9381870 | 178728 | 3 |
| 51 | 2 | 6/2/2012 | 85142 | 429521 | 1    | 9381868 | 178747 | 3 |
| 52 | 0 | 6/2/2012 | 85249 | 431161 | base | 9381847 | 178753 | 4 |
| 53 | 3 | 6/2/2012 | 85331 | 430676 | 1    | 9381895 | 178758 | 4 |
| 54 | 3 | 6/2/2012 | 85421 | 429878 | 2    | 9381900 | 178739 | 4 |
| 55 | 3 | 6/2/2012 | 85505 | 431478 | 3    | 9381905 | 178719 | 4 |
| 56 | 3 | 6/2/2012 | 85540 | 432953 | 4    | 9381915 | 178701 | 4 |
| 57 | 3 | 6/2/2012 | 85637 | 428430 | 5    | 9381925 | 178677 | 4 |
| 58 | 3 | 6/2/2012 | 85728 | 428957 | 6    | 9381935 | 178648 | 4 |
| 59 | 3 | 6/2/2012 | 85808 | 434612 | 7    | 9381944 | 178626 | 4 |
| 60 | 3 | 6/2/2012 | 85850 | 432482 | 8    | 9381956 | 178596 | 4 |
| 61 | 3 | 6/2/2012 | 90000 | 430313 | 9    | 9381967 | 178569 | 4 |
| 62 | 3 | 6/2/2012 | 90038 | 429355 | 10   | 9381981 | 178539 | 4 |
| 63 | 3 | 6/2/2012 | 90150 | 428446 | 11   | 9381992 | 178510 | 4 |

|    |   |          |       |        |      |         |        |   |
|----|---|----------|-------|--------|------|---------|--------|---|
| 64 | 3 | 6/2/2012 | 90250 | 429216 | 12   | 9382002 | 178478 | 4 |
| 65 | 3 | 6/2/2012 | 90344 | 430054 | 13   | 9382018 | 178440 | 3 |
| 66 | 3 | 6/2/2012 | 90446 | 429961 | 14   | 9382028 | 178402 | 3 |
| 67 | 3 | 6/2/2012 | 90604 | 430518 | 15   | 9382031 | 178364 | 3 |
| 68 | 3 | 6/2/2012 | 90652 | 431635 | 16   | 9382038 | 178329 | 3 |
| 69 | 3 | 6/2/2012 | 90729 | 435298 | 17   | 9382045 | 178300 | 4 |
| 70 | 3 | 6/2/2012 | 90804 | 430896 | 18   | 9382050 | 178267 | 4 |
| 71 | 3 | 6/2/2012 | 90840 | 432236 | 19   | 9382051 | 178240 | 4 |
| 72 | 3 | 6/2/2012 | 91144 | 437234 | 20   | 9382055 | 178213 | 4 |
| 73 | 0 | 6/2/2012 | 91933 | 429660 | base | 9381847 | 178753 | 4 |

## B. DATA KONVERSI

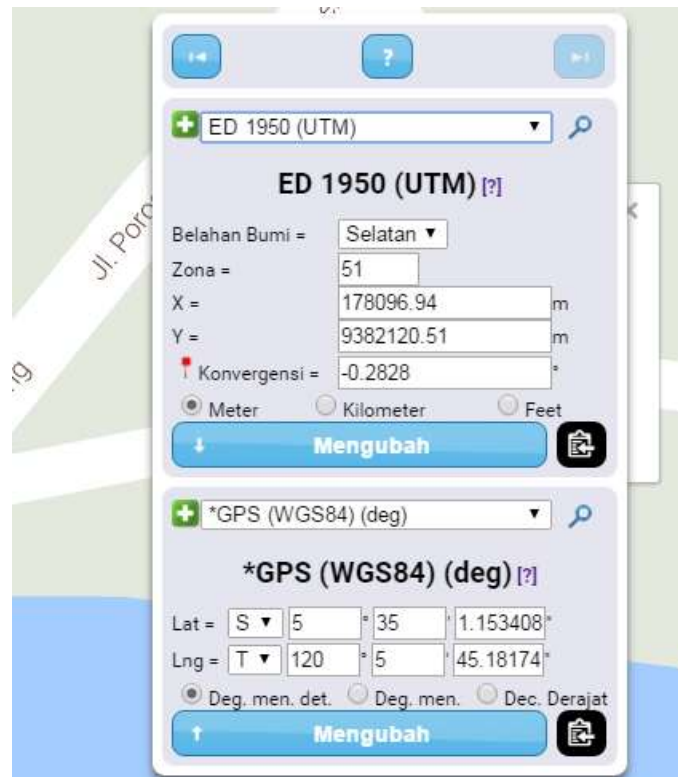
| Hasil Data Pengukuran Medan Magnet Menggunakan<br>Magnetometer Geotron G5Proton (Waktu dalam desimal degree) |  |                                       |  |
|--|--|---------------------------------------|--|
| Peneliti : SUSILAS TUTI  |  | Cuaca : Cerah                         |  |
| Topografi : Daerah Landai  |  | Alat : MagnetometerG5Proton           |  |
| Jumlah data pengukuran : 73  |  | pembimbing Lapangan : Nurhidayat S.Si |  |

| No.data | Tanggal Pengukuran Data | Line | Stasiun (titik grid) | Northing dalam UTM | Easting dalam UTM | Waktu Pengukuran |    |    | Elevasi (Sudut Kemiringan) dalam m | Pembacaan Anomali Medan Magnet (nT) |
|---------|-------------------------|------|----------------------|--------------------|-------------------|------------------|----|----|------------------------------------|-------------------------------------|
|         |                         |      |                      |                    |                   | Jam              | ,  | "  |                                    |                                     |
| 1       | 2                       | 3    | 4                    | 5                  | 6                 | 7                |    |    | 8                                  | 9                                   |
| 1       | 6/2/2016                | 0    | Base                 | 9381847            | 178753            | 8                | 13 | 56 | 4                                  | 429545                              |
| 2       | 6/2/2016                | 1    | 1                    | 9381840            | 178733            | 8                | 15 | 3  | 3                                  | 430103                              |
| 3       | 6/2/2016                |      | 2                    | 9381847            | 178715            | 8                | 15 | 49 | 3                                  | 430276                              |
| 4       | 6/2/2016                |      | 3                    | 9381854            | 178696            | 8                | 16 | 30 | 3                                  | 430480                              |
| 5       | 6/2/2016                |      | 4                    | 9381861            | 178677            | 8                | 17 | 10 | 3                                  | 430568                              |
| 6       | 6/2/2016                |      | 5                    | 9381871            | 178654            | 8                | 18 | 18 | 3                                  | 430687                              |
| 7       | 6/2/2016                |      | 6                    | 9381880            | 178633            | 8                | 18 | 55 | 3                                  | 430748                              |
| 8       | 6/2/2016                |      | 7                    | 9381892            | 178608            | 8                | 19 | 37 | 3                                  | 430793                              |
| 9       | 6/2/2016                |      | 8                    | 9381903            | 178582            | 8                | 20 | 22 | 3                                  | 430793                              |
| 10      | 6/2/2016                |      | 9                    | 9381913            | 178555            | 8                | 21 | 12 | 3                                  | 430936                              |
| 11      | 6/2/2016                |      | 10                   | 9381923            | 178525            | 8                | 22 | 0  | 3                                  | 430974                              |
| 12      | 6/2/2016                |      | 11                   | 9381932            | 178493            | 8                | 22 | 45 | 3                                  | 430881                              |
| 13      | 6/2/2016                |      | 12                   | 9381942            | 178457            | 8                | 23 | 31 | 3                                  | 430934                              |
| 14      | 6/2/2016                |      | 13                   | 9381950            | 178422            | 8                | 24 | 15 | 3                                  | 430970                              |

|    |          |   |      |         |         |        |    |    |    |        |        |
|----|----------|---|------|---------|---------|--------|----|----|----|--------|--------|
| 15 | 6/2/2016 |   | 14   | 9381956 | 178387  | 8      | 24 | 59 | 3  | 431055 |        |
| 16 | 6/2/2016 |   | 15   | 9381960 | 178352  | 8      | 25 | 55 | 3  | 431139 |        |
| 17 | 6/2/2016 |   | 16   | 9381968 | 178320  | 8      | 26 | 35 | 3  | 431286 |        |
| 18 | 6/2/2016 |   | 17   | 9381974 | 178284  | 8      | 27 | 14 | 3  | 431219 |        |
| 19 | 6/2/2016 |   | 18   | 9381980 | 178252  | 8      | 27 | 53 | 3  | 431395 |        |
| 20 | 6/2/2016 |   | 19   | 9381988 | 178223  | 8      | 28 | 32 | 3  | 431394 |        |
| 21 | 6/2/2016 |   | 20   | 9381995 | 178193  | 8      | 29 | 16 | 3  | 431198 |        |
| 22 | 6/2/2016 |   | 21   | 9381997 | 178166  | 8      | 30 | 8  | 3  | 431174 |        |
| 23 | 6/2/2016 |   | 22   | 9381997 | 178138  | 8      | 30 | 50 | 3  | 431194 |        |
| 24 | 6/2/2016 |   | 23   | 9381998 | 178107  | 8      | 31 | 39 | 3  | 431351 |        |
| 25 | 6/2/2016 |   | 24   | 9381999 | 178075  | 8      | 32 | 23 | 3  | 431212 |        |
| 26 | 6/2/2016 |   | 25   | 9382002 | 178045  | 8      | 33 | 15 | 3  | 431320 |        |
| 27 | 6/2/2016 |   | 25   | 9382031 | 178044  | 8      | 36 | 26 | 3  | 432070 |        |
| 28 | 6/2/2016 |   | 24   | 9382028 | 178076  | 8      | 37 | 24 | 3  | 431179 |        |
| 29 | 6/2/2016 |   | 23   | 9382027 | 178108  | 8      | 38 | 5  | 3  | 431781 |        |
| 30 | 6/2/2016 |   | 22   | 9382026 | 178137  | 8      | 38 | 41 | 3  | 431879 |        |
| 31 | 6/2/2016 |   | 21   | 9382024 | 178167  | 8      | 39 | 18 | 3  | 431349 |        |
| 32 | 6/2/2016 |   | 20   | 9382022 | 178195  | 8      | 39 | 57 | 3  | 431508 |        |
| 33 | 6/2/2016 |   | 19   | 9382014 | 178224  | 8      | 41 | 1  | 3  | 431519 |        |
| 34 | 6/2/2016 |   | 18   | 9382011 | 178255  | 8      | 41 | 42 | 3  | 431527 |        |
| 35 | 6/2/2016 |   | 17   | 9382002 | 178286  | 8      | 42 | 18 | 3  | 431200 |        |
| 36 | 6/2/2016 |   | 16   | 9381998 | 178322  | 8      | 42 | 54 | 3  | 431053 |        |
| 37 | 6/2/2016 |   | 15   | 9381993 | 178356  | 8      | 43 | 29 | 3  | 430983 |        |
| 38 | 6/2/2016 |   | 14   | 9381985 | 178391  | 8      | 44 | 5  | 3  | 430779 |        |
| 39 | 6/2/2016 |   | 13   | 9381980 | 178427  | 8      | 44 | 39 | 3  | 431080 |        |
| 40 | 6/2/2016 |   | 12   | 9381972 | 178465  | 8      | 45 | 13 | 3  | 431083 |        |
| 41 | 6/2/2016 |   | 11   | 9381962 | 178504  | 8      | 45 | 51 | 3  | 431139 |        |
| 42 | 6/2/2016 |   | 10   | 9381950 | 178536  | 8      | 46 | 27 | 3  | 430988 |        |
| 43 | 6/2/2016 |   | 9    | 9381937 | 178563  | 8      | 47 | 4  | 3  | 431023 |        |
| 44 | 6/2/2016 |   | 8    | 9381926 | 178589  | 8      | 47 | 43 | 3  | 431133 |        |
| 45 | 6/2/2016 |   | 7    | 9381916 | 178617  | 8      | 48 | 19 | 3  | 430793 |        |
| 46 | 6/2/2016 |   | 6    | 9381906 | 178641  | 8      | 48 | 56 | 3  | 431125 |        |
| 47 | 6/2/2016 |   | 5    | 9381895 | 178663  | 8      | 49 | 33 | 3  | 431221 |        |
| 48 | 6/2/2016 |   | 4    | 9381886 | 178691  | 8      | 50 | 10 | 3  | 430258 |        |
| 49 | 6/2/2016 |   | 3    | 9381877 | 178711  | 8      | 50 | 41 | 3  | 430378 |        |
| 50 | 6/2/2016 |   | 2    | 9381870 | 178728  | 8      | 51 | 9  | 3  | 430461 |        |
| 51 | 6/2/2016 |   | 1    | 9381868 | 178747  | 8      | 51 | 42 | 3  | 429521 |        |
| 52 | 6/2/2016 | 0 | base | 9381847 | 178753  | 8      | 52 | 49 | 4  | 431161 |        |
| 53 | 6/2/2016 |   | 3    | 1       | 9381895 | 178758 | 8  | 53 | 31 | 4      | 430676 |
| 54 | 6/2/2016 |   |      | 2       | 9381900 | 178739 | 8  | 54 | 21 | 4      | 429878 |

|    |          |    |         |         |        |    |    |    |        |        |
|----|----------|----|---------|---------|--------|----|----|----|--------|--------|
| 55 | 6/2/2016 | 3  | 9381905 | 178719  | 8      | 55 | 5  | 4  | 431478 |        |
| 56 | 6/2/2016 | 4  | 9381915 | 178701  | 8      | 55 | 40 | 4  | 432953 |        |
| 57 | 6/2/2016 | 5  | 9381925 | 178677  | 8      | 56 | 37 | 4  | 428430 |        |
| 58 | 6/2/2016 | 6  | 9381935 | 178648  | 8      | 57 | 28 | 4  | 428957 |        |
| 59 | 6/2/2016 | 7  | 9381944 | 178626  | 8      | 58 | 8  | 4  | 434612 |        |
| 60 | 6/2/2016 | 8  | 9381956 | 178596  | 8      | 58 | 50 | 4  | 432482 |        |
| 61 | 6/2/2016 | 9  | 9381967 | 178569  | 9      | 0  | 0  | 4  | 430313 |        |
| 62 | 6/2/2016 | 10 | 9381981 | 178539  | 9      | 0  | 38 | 4  | 429355 |        |
| 63 | 6/2/2016 | 11 | 9381992 | 178510  | 9      | 1  | 50 | 4  | 428446 |        |
| 64 | 6/2/2016 | 12 | 9382002 | 178478  | 9      | 2  | 50 | 4  | 429216 |        |
| 65 | 6/2/2016 | 13 | 9382018 | 178440  | 9      | 3  | 44 | 3  | 430054 |        |
| 66 | 6/2/2016 | 14 | 9382028 | 178402  | 9      | 4  | 46 | 3  | 429961 |        |
| 67 | 6/2/2016 | 15 | 9382031 | 178364  | 9      | 5  | 4  | 3  | 430518 |        |
| 68 | 6/2/2016 | 16 | 9382038 | 178329  | 9      | 6  | 52 | 3  | 431635 |        |
| 69 | 6/2/2016 | 17 | 9382045 | 178300  | 9      | 7  | 29 | 4  | 435298 |        |
| 70 | 6/2/2016 | 18 | 9382050 | 178267  | 9      | 8  | 4  | 4  | 430896 |        |
| 71 | 6/2/2016 | 19 | 9382051 | 178240  | 9      | 8  | 40 | 4  | 432236 |        |
| 72 | 6/2/2016 | 20 | 9382055 | 178213  | 9      | 11 | 44 | 4  | 437234 |        |
| 73 | 6/2/2016 | 0  | base    | 9381847 | 178753 | 9  | 19 | 33 | 4      | 429660 |

### PROSEDUR UNTUK MEMPEROLEH NILAI KOORDINAT UTM KE DESIMAL DEGREE



**Data Hasil Konversi Koordinat Longitude dan Latitude**  
**Dalam Satuan Desimal Degree (DG)**

| Line | No Data | Easting/Longitude (UTM) | Northing/Latitude (UTM) | Elevasi (m) | Longitude |   |       | Latitude |    |       |
|------|---------|-------------------------|-------------------------|-------------|-----------|---|-------|----------|----|-------|
|      |         |                         |                         |             | °         | ' | "     | °        | '  | "     |
| 1    | 2       | 3                       | 4                       | 5           | 6         |   |       | 7        |    |       |
| 1    | BS 1    | 178753                  | 9381847                 | 4           | 120       | 6 | 6,43  | 5        | 35 | 10,15 |
|      | 2       | 178733                  | 9381840                 | 3           | 120       | 6 | 5,78  | 5        | 35 | 10,37 |
|      | 3       | 178715                  | 9381847                 | 3           | 120       | 6 | 5,20  | 5        | 35 | 10,14 |
|      | 4       | 178696                  | 9381854                 | 3           | 120       | 6 | 4,58  | 5        | 35 | 9,91  |
|      | 5       | 178677                  | 9381861                 | 3           | 120       | 6 | 3,97  | 5        | 35 | 9,68  |
|      | 6       | 178654                  | 9381871                 | 3           | 120       | 6 | 9,35  | 5        | 35 | 3,22  |
|      | 7       | 178633                  | 9381880                 | 3           | 120       | 6 | 2,54  | 5        | 35 | 9,06  |
|      | 8       | 178608                  | 9381892                 | 3           | 120       | 6 | 1,73  | 5        | 35 | 8,66  |
|      | 9       | 178582                  | 9381903                 | 3           | 120       | 6 | 0,89  | 5        | 35 | 8,30  |
|      | 10      | 178555                  | 9381913                 | 3           | 120       | 6 | 0,01  | 5        | 35 | 7,97  |
|      | 11      | 178525                  | 9381923                 | 3           | 120       | 5 | 58,00 | 5        | 35 | 7,62  |
|      | 12      | 178493                  | 9381932                 | 3           | 120       | 5 | 56,84 | 5        | 35 | 7,34  |
|      | 13      | 178457                  | 9381942                 | 3           | 120       | 5 | 55,79 | 5        | 35 | 7,01  |
|      | 14      | 178422                  | 9381950                 | 3           | 120       | 5 | 55,60 | 5        | 35 | 6,75  |
|      | 15      | 178387                  | 9381956                 | 3           | 120       | 5 | 54,57 | 5        | 35 | 6,55  |
|      | 16      | 178352                  | 9381960                 | 3           | 120       | 5 | 53,43 | 5        | 35 | 6,41  |
|      | 17      | 178320                  | 9381968                 | 3           | 120       | 5 | 52,39 | 5        | 35 | 6,14  |
|      | 18      | 178284                  | 9381974                 | 3           | 120       | 5 | 51,23 | 5        | 35 | 5,96  |
|      | 19      | 178252                  | 9381980                 | 3           | 120       | 5 | 50,19 | 5        | 35 | 5,74  |
|      | 20      | 178223                  | 9381988                 | 3           | 120       | 5 | 49,25 | 5        | 35 | 5,48  |
|      | 21      | 178193                  | 9381995                 | 3           | 120       | 5 | 48,27 | 5        | 35 | 5,25  |
|      | 22      | 178166                  | 9381997                 | 3           | 120       | 5 | 47,40 | 5        | 35 | 5,18  |
|      | 23      | 178138                  | 9381997                 | 3           | 120       | 5 | 46,49 | 5        | 35 | 5,17  |
|      | 24      | 178107                  | 9381998                 | 3           | 120       | 5 | 45,48 | 5        | 35 | 5,13  |
|      | 25      | 178075                  | 9381999                 | 3           | 120       | 5 | 44,44 | 5        | 35 | 5,10  |
|      | 26      | 178045                  | 9382002                 | 3           | 120       | 5 | 43,47 | 5        | 35 | 4,99  |
| 2    | 1       | 178044                  | 9382031                 | 3           | 120       | 5 | 43,44 | 5        | 35 | 4,05  |
|      | 2       | 178076                  | 9382028                 | 3           | 120       | 5 | 44,48 | 5        | 35 | 4,15  |
|      | 3       | 178108                  | 9382027                 | 3           | 120       | 5 | 45,52 | 5        | 35 | 4,19  |
|      | 4       | 178137                  | 9382026                 | 3           | 120       | 5 | 46,46 | 5        | 35 | 4,23  |
|      | 5       | 178167                  | 9382024                 | 3           | 120       | 5 | 47,44 | 5        | 35 | 4,30  |
|      | 6       | 178195                  | 9382022                 | 3           | 120       | 5 | 48,34 | 5        | 35 | 4,37  |
|      | 7       | 178224                  | 9382014                 | 3           | 120       | 5 | 49,28 | 5        | 35 | 4,63  |
|      | 8       | 178255                  | 9382011                 | 3           | 120       | 5 | 50,29 | 5        | 35 | 4,74  |

|    |    |        |         |   |     |   |       |   |    |       |
|----|----|--------|---------|---|-----|---|-------|---|----|-------|
|    | 9  | 178286 | 9382002 | 3 | 120 | 5 | 51,29 | 5 | 35 | 5,03  |
|    | 10 | 178322 | 9381998 | 3 | 120 | 5 | 52,46 | 5 | 35 | 5,17  |
|    | 11 | 178356 | 9381993 | 3 | 120 | 5 | 53,57 | 5 | 35 | 5,34  |
|    | 12 | 178391 | 9381985 | 3 | 120 | 5 | 54,70 | 5 | 35 | 5,60  |
|    | 13 | 178427 | 9381980 | 3 | 120 | 5 | 55,87 | 5 | 35 | 5,77  |
|    | 14 | 178465 | 9381972 | 3 | 120 | 5 | 57,10 | 5 | 35 | 6,04  |
|    | 15 | 178504 | 9381962 | 3 | 120 | 5 | 58,37 | 5 | 35 | 6,37  |
|    | 16 | 178536 | 9381950 | 3 | 120 | 5 | 59,40 | 5 | 35 | 6,76  |
|    | 17 | 178563 | 9381937 | 3 | 120 | 6 | 0,28  | 5 | 35 | 7,19  |
|    | 18 | 178589 | 9381926 | 3 | 120 | 6 | 1,12  | 5 | 35 | 7,55  |
|    | 19 | 178617 | 9381916 | 3 | 120 | 6 | 2,03  | 5 | 35 | 7,88  |
|    | 20 | 178641 | 9381906 | 3 | 120 | 6 | 2,80  | 5 | 35 | 8,21  |
|    | 21 | 178663 | 9381895 | 3 | 120 | 6 | 3,52  | 5 | 35 | 8,57  |
|    | 22 | 178691 | 9381886 | 3 | 120 | 6 | 4,42  | 5 | 35 | 8,87  |
|    | 23 | 178711 | 9381877 | 3 | 120 | 6 | 5,07  | 5 | 35 | 9,17  |
|    | 24 | 178728 | 9381870 | 3 | 120 | 6 | 5,62  | 5 | 35 | 9,40  |
|    | 25 | 178747 | 9381868 | 3 | 120 | 6 | 6,24  | 5 | 35 | 9,47  |
| BS | 0  | 178753 | 9381847 | 4 | 120 | 6 | 6,43  | 5 | 35 | 10,15 |
| 3  | 1  | 178758 | 9381895 | 4 | 120 | 6 | 6,60  | 5 | 35 | 8,59  |
|    | 2  | 178739 | 9381900 | 4 | 120 | 6 | 5,98  | 5 | 35 | 8,42  |
|    | 3  | 178719 | 9381905 | 4 | 120 | 6 | 5,34  | 5 | 35 | 8,26  |
|    | 4  | 178701 | 9381915 | 4 | 120 | 6 | 4,75  | 5 | 35 | 7,93  |
|    | 5  | 178677 | 9381925 | 4 | 120 | 6 | 3,98  | 5 | 35 | 7,60  |
|    | 6  | 178648 | 9381935 | 4 | 120 | 6 | 3,04  | 5 | 35 | 7,27  |
|    | 7  | 178626 | 9381944 | 4 | 120 | 6 | 2,32  | 5 | 35 | 6,97  |
|    | 8  | 178596 | 9381956 | 4 | 120 | 6 | 1,35  | 5 | 35 | 6,58  |
|    | 9  | 178569 | 9381967 | 4 | 120 | 6 | 0,48  | 5 | 35 | 6,22  |
|    | 10 | 178539 | 9381981 | 4 | 120 | 5 | 59,50 | 5 | 35 | 5,76  |
|    | 11 | 178510 | 9381992 | 4 | 120 | 5 | 58,56 | 5 | 35 | 5,39  |
|    | 12 | 178478 | 9382002 | 4 | 120 | 5 | 57,53 | 5 | 35 | 5,06  |
|    | 13 | 178440 | 9382018 | 3 | 120 | 5 | 56,30 | 5 | 35 | 4,54  |
|    | 14 | 178402 | 9382028 | 3 | 120 | 5 | 55,06 | 5 | 35 | 4,21  |
|    | 15 | 178364 | 9382031 | 3 | 120 | 5 | 53,83 | 5 | 35 | 4,10  |
|    | 16 | 178329 | 9382038 | 3 | 120 | 5 | 52,70 | 5 | 35 | 3,87  |
|    | 17 | 178300 | 9382045 | 4 | 120 | 5 | 51,76 | 5 | 35 | 3,64  |
|    | 18 | 178267 | 9382050 | 4 | 120 | 5 | 50,69 | 5 | 35 | 3,47  |
|    | 19 | 178240 | 9382051 | 4 | 120 | 5 | 49,81 | 5 | 35 | 3,43  |
|    | 20 | 178213 | 9382055 | 4 | 120 | 5 | 48,93 | 5 | 35 | 3,30  |
| BS | 73 | 178753 | 9381847 | 4 | 120 | 6 | 6,43  | 5 | 35 | 10,15 |

## C. KOREKSI IGRF

NOAA NATIONAL CENTERS FOR ENVIRONMENTAL INFORMATION

NOAA > NESDIS > NCEI (formerly NODC) > Geomagnetism

### Magnetic Field Calculators

Declination   U.S. Haversine Declination   Magnetic Field   Magnetic Field Component Grid

#### Magnetic Field Estimated Values

Magnetic field is calculated using the most recent World Magnetic Model (WMM) or the International Geomagnetic Reference Field (IGRF) model. For 1990 to 1990 the calculator is based on the gulfm1 model. A smooth transition from gulfm1 to IGRF was imposed from 1990 to 1990. The calculator provides an easy way for you to get results in HTML, XML, or CSV programmatically (API). For more information click the information button above.

**Calculate Magnetic Field**

Latitude:   S  N

Longitude:   W  E

Elevation:  GPS  Mean sea level

0

Model:  WMM (2014-2015)  IGRF (1990-2015)

Start Date: Year: 2016 Month: 11 Day: 22

End Date: Year: 2016 Month: 11 Day: 22

Step size: 1.0

**Lookup Latitude / Longitude**

Either enter a zip code, select a country/city, or search for an address at USGS Earth Explorer

U.S. Zip Code:

Country:

City:

**Magnetic Field**

| Model Used: IGRF12              |                              |                              |                         |                             |                            |                                |             |
|---------------------------------|------------------------------|------------------------------|-------------------------|-----------------------------|----------------------------|--------------------------------|-------------|
| Latitude: 5.58528611111111° S   |                              |                              |                         |                             |                            |                                |             |
| Longitude: 120.100577777778° E  |                              |                              |                         |                             |                            |                                |             |
| Elevation: 4.0 m Mean Sea Level |                              |                              |                         |                             |                            |                                |             |
| Date                            | Declination<br>( + E   - W ) | Inclination<br>( + D   - U ) | Horizontal<br>Intensity | North Comp<br>( + N   - S ) | East Comp<br>( + E   - W ) | Vertical Comp<br>( + D   - U ) | Total Field |
| 2016-06-02                      | 1.0574°                      | -27.3543°                    | 38,363.1 nT             | 38,356.5 nT                 | 708.0 nT                   | -19,846.7 nT                   | 43,192.8 nT |
| Change/year                     | -0.0921°/yr                  | 0.1065°/yr                   | 22.6 nT/yr              | 23.8 nT/yr                  | -61.3 nT/yr                | 78.7 nT/yr                     | -16.1 nT/yr |

## D. DATA HASIL KOREKSI

### Hasil Data Pengolahan Residual Magnetik (dalam satuan nT)

| Peneliti  |          | : SUSILAS TUTI  |         |                    |                   |        | Cuaca |    | : Cerah                                   |  |             |                                  |   |   |              |  |
|-----------|----------|-----------------|---------|--------------------|-------------------|--------|-------|----|---|--|-------------|----------------------------------|---|---|--------------|--|
| Topografi |          | : Daerah Landai |         |                    |                   |        | Alat  |    | : MagnetometerG5Proton                    |  |             |                                  |   |   |              |  |
| No Data   | Tanggal  | Line            | Stasiun | Northing dalam UTM | Eastung dalam UTM | Waktu  |       |    | Hasil Pembacaan Anomali Medan Magnet (nT) | Konversi Waktu dalam Time Desimal Degree | Looping     | Faktor Koreksi Alat (Base Drift) | Koreksi Nilai Base (Diurnal Change Rate, DCR) | Koreksi Harian (Diurnal Correction) RDC | Koreksi IGRF | Hasil Perhitungan Residual Magnetik (nT) |
| 1         | 2        | 3               | 4       | 5                  | 6                 | 7      | 8     | 9  | 10  | 11                                       | 12          | 13                               | 14  | 15                                      |              |  |
| 1         | 6/2/2016 | 1               | 0       | base               | 9381847           | 178753 | 8     | 13 | 56  | 42954.5                                  | 8.232222222 | 249.361                          | 0   | 42954.5                                 | 43192.8      | -238.3                                   |
| 2         | 6/2/2016 |                 | 1       | 9381840            | 178733            | 8      | 15    | 3  | 43010.3                                   | 8.250833333                              |             |                                  | 4.640891556                                   | 43005.65911                             | 43192.8      | -187.1408916                             |
| 3         | 6/2/2016 |                 | 2       | 9381847            | 178715            | 8      | 15    | 49 | 43027.6                                   | 8.263611111                              |             |                                  | 7.827175311                                   | 43019.77282                             | 43192.8      | -173.0271753                             |
| 4         | 6/2/2016 |                 | 3       | 9381854            | 178696            | 8      | 16    | 30 | 43048.0                                   | 8.275                                    |             |                                  | 10.66712387                                   | 43037.33288                             | 43192.8      | -155.4671239                             |
| 5         | 6/2/2016 |                 | 4       | 9381861            | 178677            | 8      | 17    | 10 | 43056.8                                   | 8.286111111                              |             |                                  | 13.4378054                                    | 43043.36219                             | 43192.8      | -149.4378054                             |
| 6         | 6/2/2016 |                 | 5       | 9381871            | 178654            | 8      | 18    | 18 | 43068.7                                   | 8.305                                    |             |                                  | 18.14796399                                   | 43050.55204                             | 43192.8      | -142.247964                              |
| 7         | 6/2/2016 |                 | 6       | 9381880            | 178633            | 8      | 18    | 55 | 43074.8                                   | 8.315277778                              |             |                                  | 20.71084441                                   | 43054.08916                             | 43192.8      | -138.7108444                             |
| 8         | 6/2/2016 |                 | 7       | 9381892            | 178608            | 8      | 19    | 37 | 43079.3                                   | 8.326944444                              |             |                                  | 23.62006001                                   | 43055.67994                             | 43192.8      | -137.12006                               |
| 9         | 6/2/2016 |                 | 8       | 9381903            | 178582            | 8      | 20    | 22 | 43079.3                                   | 8.339444444                              |             |                                  | 26.73707673                                   | 43052.56292                             | 43192.8      | -140.2370767                             |
| 10        | 6/2/2016 |                 | 9       | 9381913            | 178555            | 8      | 21    | 12 | 43093.6                                   | 8.353333333                              |             |                                  | 30.20042863                                   | 43063.39957                             | 43192.8      | -129.4004286                             |
| 11        | 6/2/2016 |                 | 10      | 9381923            | 178525            | 8      | 22    | 0  | 43097.4                                   | 8.366666667                              |             |                                  | 33.52524646                                   | 43063.87475                             | 43192.8      | -128.9252465                             |
| 12        | 6/2/2016 |                 | 11      | 9381932            | 178493            | 8      | 22    | 45 | 43088.1                                   | 8.379166667                              |             |                                  | 36.64226318                                   | 43051.45774                             | 43192.8      | -  |

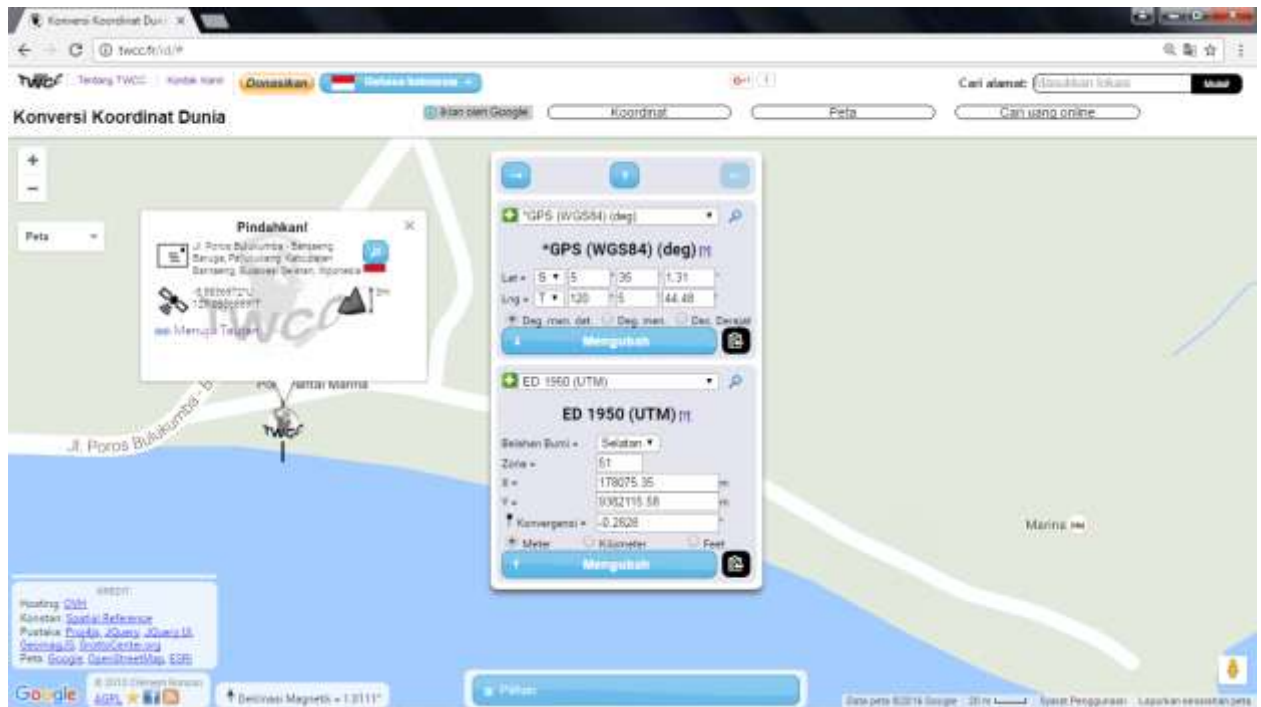


|    |          |    |         |        |   |    |    |         |             |  |  |             |             |         |   |             |
|----|----------|----|---------|--------|---|----|----|---------|-------------|--|--|-------------|-------------|---------|---|-------------|
| 30 | 6/2/2016 | 22 | 9382026 | 178137 | 8 | 38 | 41 | 43187.9 | 8.644722222 |  |  | 102.8615517 | 43085.03845 | 43192.8 | - | 107.7615517 |
| 31 | 6/2/2016 | 21 | 9382024 | 178167 | 8 | 39 | 18 | 43134.9 | 8.655       |  |  | 105.4244321 | 43029.47557 | 43192.8 | - | 163.3244321 |
| 32 | 6/2/2016 | 20 | 9382022 | 178195 | 8 | 39 | 57 | 43150.8 | 8.665833333 |  |  | 108.1258465 | 43042.67415 | 43192.8 | - | 150.1258465 |
| 33 | 6/2/2016 | 19 | 9382014 | 178224 | 8 | 41 | 1  | 43151.9 | 8.683611111 |  |  | 112.558937  | 43039.34106 | 43192.8 | - | -153.458937 |
| 34 | 6/2/2016 | 18 | 9382011 | 178255 | 8 | 41 | 42 | 43152.7 | 8.695       |  |  | 115.3988856 | 43037.30111 | 43192.8 | - | 155.4988856 |
| 35 | 6/2/2016 | 17 | 9382002 | 178286 | 8 | 42 | 18 | 43120.0 | 8.705       |  |  | 117.8924989 | 43002.1075  | 43192.8 | - | 190.6924989 |
| 36 | 6/2/2016 | 16 | 9381998 | 178322 | 8 | 42 | 54 | 43105.3 | 8.715       |  |  | 120.3861123 | 42984.91389 | 43192.8 | - | 207.8861123 |
| 37 | 6/2/2016 | 15 | 9381993 | 178356 | 8 | 43 | 29 | 43098.3 | 8.724722222 |  |  | 122.8104586 | 42975.48954 | 43192.8 | - | 217.3104586 |
| 38 | 6/2/2016 | 14 | 9381985 | 178391 | 8 | 44 | 5  | 43077.9 | 8.734722222 |  |  | 125.304072  | 42952.59593 | 43192.8 | - | -240.204072 |
| 39 | 6/2/2016 | 13 | 9381980 | 178427 | 8 | 44 | 39 | 43108   | 8.744166667 |  |  | 127.6591513 | 42980.34085 | 43192.8 | - | 212.4591513 |
| 40 | 6/2/2016 | 12 | 9381972 | 178465 | 8 | 45 | 13 | 43108.3 | 8.753611111 |  |  | 130.0142306 | 42978.28577 | 43192.8 | - | 214.5142306 |
| 41 | 6/2/2016 | 11 | 9381962 | 178504 | 8 | 45 | 51 | 43113.9 | 8.764166667 |  |  | 132.6463781 | 42981.25362 | 43192.8 | - | 211.5463781 |
| 42 | 6/2/2016 | 10 | 9381950 | 178536 | 8 | 46 | 27 | 43098.8 | 8.774166667 |  |  | 135.1399914 | 42963.66001 | 43192.8 | - | 229.1399914 |
| 43 | 6/2/2016 | 9  | 9381937 | 178563 | 8 | 47 | 4  | 43102.3 | 8.784444444 |  |  | 137.7028718 | 42964.59713 | 43192.8 | - | 228.2028718 |
| 44 | 6/2/2016 | 8  | 9381926 | 178589 | 8 | 47 | 43 | 43113.3 | 8.795277778 |  |  | 140.4042863 | 42972.89571 | 43192.8 | - | 219.9042863 |
| 45 | 6/2/2016 | 7  | 9381916 | 178617 | 8 | 48 | 19 | 43079.3 | 8.805277778 |  |  | 142.8978997 | 42936.4021  | 43192.8 | - | 256.3978997 |
| 46 | 6/2/2016 | 6  | 9381906 | 178641 | 8 | 48 | 56 | 43112.5 | 8.815555556 |  |  | 145.4607801 | 42967.03922 | 43192.8 | - | 225.7607801 |
| 47 | 6/2/2016 | 5  | 9381895 | 178663 | 8 | 49 | 33 | 43122.1 | 8.825833333 |  |  | 148.0236605 | 42974.07634 | 43192.8 | - | -           |

|    |          |   |      |         |        |   |    |    |         |             |         |       |              |             |             |             |
|----|----------|---|------|---------|--------|---|----|----|---------|-------------|---------|-------|--------------|-------------|-------------|-------------|
|    |          |   |      |         |        |   |    |    |         |             |         |       |              |             | 218.7236605 |             |
| 48 | 6/2/2016 |   | 4    | 9381886 | 178691 | 8 | 50 | 10 | 43025.8 | 8.836111111 |         |       | 150.5865409  | 42875.21346 | 43192.8     | -           |
| 49 | 6/2/2016 |   | 3    | 9381877 | 178711 | 8 | 50 | 41 | 43037.8 | 8.844722222 |         |       | 152.7338191  | 42885.06618 | 43192.8     | -           |
| 50 | 6/2/2016 |   | 2    | 9381870 | 178728 | 8 | 51 | 9  | 43046.1 | 8.8525      |         |       | 154.6732962  | 42891.4267  | 43192.8     | -           |
| 51 | 6/2/2016 |   | 1    | 9381868 | 178747 | 8 | 51 | 42 | 42952.1 | 8.861666667 |         |       | 156.9591084  | 42795.14089 | 43192.8     | -           |
| 52 | 6/2/2016 | 0 | base | 9381847 | 178753 | 8 | 52 | 49 | 43116.1 | 8.880277778 | -336.88 | 161.6 | 161.6        | 42954.5     | 43192.8     | -238.3      |
| 53 | 6/2/2016 | 3 | 1    | 9381895 | 178758 | 8 | 53 | 31 | 43067.6 | 8.891944444 |         |       | -3.930299252 | 43063.6697  | 43192.8     | -           |
| 54 | 6/2/2016 |   | 2    | 9381900 | 178739 | 8 | 54 | 21 | 42987.8 | 8.905833333 |         |       | -8.609226933 | 42979.19077 | 43192.8     | -           |
| 55 | 6/2/2016 |   | 3    | 9381905 | 178719 | 8 | 55 | 5  | 43147.8 | 8.918055556 |         |       | -12.72668329 | 43135.07332 | 43192.8     | -           |
| 56 | 6/2/2016 |   | 4    | 9381915 | 178701 | 8 | 55 | 40 | 43295.3 | 8.927777778 |         |       | -16.00193267 | 43279.29807 | 43192.8     | 86.49806733 |
| 57 | 6/2/2016 |   | 5    | 9381925 | 178677 | 8 | 56 | 37 | 42843.0 | 8.943611111 |         |       | -21.33591022 | 42821.66409 | 43192.8     | -           |
| 58 | 6/2/2016 |   | 6    | 9381935 | 178648 | 8 | 57 | 28 | 42895.7 | 8.957777778 |         |       | -26.10841646 | 42869.59158 | 43192.8     | -           |
| 59 | 6/2/2016 |   | 7    | 9381944 | 178626 | 8 | 58 | 8  | 43461.2 | 8.968888889 |         |       | -29.8515586  | 43431.34844 | 43192.8     | 238.5484414 |
| 60 | 6/2/2016 |   | 8    | 9381956 | 178596 | 8 | 58 | 50 | 43248.2 | 8.980555556 |         |       | -33.78185786 | 43214.41814 | 43192.8     | 21.61814214 |
| 61 | 6/2/2016 |   | 9    | 9381967 | 178569 | 9 | 0  | 0  | 43031.3 | 9           |         |       | -40.33235661 | 42990.96764 | 43192.8     | -           |
| 62 | 6/2/2016 |   | 10   | 9381981 | 178539 | 9 | 0  | 38 | 42935.5 | 9.010555556 |         |       | -43.88834165 | 42891.61166 | 43192.8     | -           |
| 63 | 6/2/2016 |   | 11   | 9381992 | 178510 | 9 | 1  | 50 | 42844.6 | 9.030555556 |         |       | -50.62599751 | 42793.974   | 43192.8     | -           |
| 64 | 6/2/2016 |   | 12   | 9382002 | 178478 | 9 | 2  | 50 | 42921.6 | 9.047222222 |         |       | -56.24071072 | 42865.35929 | 43192.8     | -           |
| 65 | 6/2/2016 |   | 13   | 9382018 | 178440 | 9 | 3  | 44 | 43005.4 | 9.062222222 |         |       | -61.29395262 | 42944.10605 | 43192.8     | -           |

|    |          |   |      |         |        |   |    |    |         |             |         |        |              |             |             |             |
|----|----------|---|------|---------|--------|---|----|----|---------|-------------|---------|--------|--------------|-------------|-------------|-------------|
|    |          |   |      |         |        |   |    |    |         |             |         |        |              |             | 248.6939526 |             |
| 66 | 6/2/2016 |   | 14   | 9382028 | 178402 | 9 | 4  | 46 | 42996.1 | 9.079444444 |         |        | -67.09582294 | 42929.00418 | 43192.8     | -           |
| 67 | 6/2/2016 |   | 15   | 9382031 | 178364 | 9 | 5  | 4  | 43051.8 | 9.084444444 |         |        | -68.78023691 | 42983.01976 | 43192.8     | -           |
| 68 | 6/2/2016 |   | 16   | 9382038 | 178329 | 9 | 6  | 52 | 43163.5 | 9.114444444 |         |        | -78.8867207  | 43084.61328 | 43192.8     | -           |
| 69 | 6/2/2016 |   | 17   | 9382045 | 178300 | 9 | 7  | 29 | 43529.8 | 9.124722222 |         |        | -82.34912718 | 43447.45087 | 43192.8     | 254.6508728 |
| 70 | 6/2/2016 |   | 18   | 9382050 | 178267 | 9 | 8  | 4  | 43089.6 | 9.134444444 |         |        | -85.62437656 | 43003.97562 | 43192.8     | -           |
| 71 | 6/2/2016 |   | 19   | 9382051 | 178240 | 9 | 8  | 40 | 43223.6 | 9.144444444 |         |        | -88.99320449 | 43134.6068  | 43192.8     | -           |
| 72 | 6/2/2016 |   | 20   | 9382055 | 178213 | 9 | 11 | 44 | 43723.4 | 9.195555556 |         |        | -106.2116584 | 43617.18834 | 43192.8     | 424.3883416 |
| 73 | 6/2/2016 | 0 | base | 9381847 | 178753 | 9 | 19 | 33 | 42966.0 | 9.325833333 | -336.88 | -150.1 | -150.1       | 42815.9     | 43192.8     | -376.9      |

## CARA MENCARI KOORDINAT LETAK BIJIH BESI pada website (<http://twcc.fr/id/#>)



# **LAMPIRAN 6**

## **DOKUMENTASI**

# SURVEY LOKASI PENELITIAN

Penentuan Titik Lokasi Penelitian



Pasir Besi yang Menempel



Penampakan dasar pasir besi secara kasat mata Awal



Pengambilan Sampel



Penentuan Titik Koordinat



#### A. DOKUMENTASI PENELITIAN GEOMAGNETIK

##### 1. PERSIAPAN ALAT MAGNETOMETER GEOTRON G5 PROTON



##### 2. Looping di base



3. Proses pengukuran



4. Proses pencatatan data pada stasiun atau grid



5. Merangkai kembali alat yang telah digunakan



B. FOTO-FOTO ALAT PENELITIAN

**ALAT SENSOR PADA PERANGKAT  
GEOTRON G5 PROTON**



**ALAT PEMBACA ANOMALI MEDAN  
MAGNET PADA PERANGKAT  
GEOTRON G5 PROTON**



**SEPERANGKAT MAGNETOMETER  
GEOTRON G5 PROTON**



**GPS**

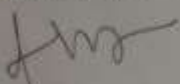
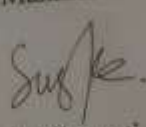
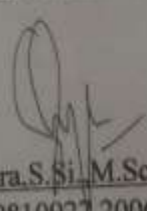




### C. FOTO PENAMPAKAN LOKASI PENELITIAN



**SURAT IZIN PEMINJAMAN ALAT MAGNETOMETER GEOTRON G 5  
PROTON DI SAINS BUILDING FMIPA UNHAS**

|  <p>KEMENTERIAN AGAMA R.I.<br/>UNIVERSITAS ISLAM NEGERI (UIN) ALAUDDIN MAKASSAR<br/>FAKULTAS SAINS DAN TEKNOLOGI<br/>JURUSAN FISIKA<br/>Kantor: Kampus II Jl. H. M. Yasin Limpo No. 36. Romang Polong, Gowa.</p>  |                                |        |     |    |           |        |     |   |                                |   |  |
|--|--------------------------------|--------|-----|----|-----------|--------|-----|---|--------------------------------|---|--|
| <p>Kepada Yth<br/>Kepala/Pimpinan Scince Building FMIPA UNHAS<br/>Di<br/>Tempat,</p> <p>Assalamualaikum Wr. Wb.<br/>Yang bertanda tangan dibawah ini:<br/>Nama : Susilas Tuti<br/>Nim : 60400112006<br/>Jurusan : Fisika Fakultas Sains dan Teknologi UIN Alauddin Makassar<br/>Judul penelitian: Survey Potensi Bijih Besi Di Kabupaten Bantaeng Dengan Menggunakan Metode Geomagnet.</p> <p>Meminta bantuan kepada Bapak/Ibu untuk peminjaman alat selama 1 (satu) hari dan demi terlaksananya penelitian tersebut:</p> <table border="1"> <thead> <tr> <th>No</th> <th>Nama Alat</th> <th>Jumlah</th> <th>KET</th> </tr> </thead> <tbody> <tr> <td>1</td> <td>Magnetometer Proton Geotron G5</td> <td>1</td> <td></td> </tr> </tbody> </table> <p>Demikian Permohonan Saya, Atas Kerja Samanya Saya Ucapkan Terima kasih.<br/>Wassalamualaikum Wr. Wb.</p> <p>Gowa, 1 juni 2016</p> <p>Pembimbing II</p> <p><br/> <u>Rahmaniah S.Si.,M.Si</u><br/> Nip: 198002132009012006</p> <p>Mahasiswa</p> <p><br/> <u>Susilas tuti</u><br/> Nim: 60400112006</p> <p>Mengetahui,<br/> Ketua Jurusan Fisika</p> <p><br/> <u>Sahara S.Si., M.Sc., Ph.D</u><br/> Nip: 19810927 200604 2003</p> |                                |        |     | No | Nama Alat | Jumlah | KET | 1 | Magnetometer Proton Geotron G5 | 1 |  |
| No   | Nama Alat                      | Jumlah | KET |    |           |        |     |   |                                |   |  |
| 1  | Magnetometer Proton Geotron G5 | 1      |     |    |           |        |     |   |                                |   |  |

## SURAT KETERANGAN

Berdasarkan permohonan ijin untuk melaksanakan penelitian dalam rangka penyusunan skripsi sebagai salah satu syarat penyelesaian studi akhir Sarjana /S.1.

bahwa benar Mahasiswa yang tersebut dibawah ini telah melaksanakan penelitian di kawasan wisata Pantai Marina Desa Baruga kec. Pajukukang Kab. Bantaeng pada tanggal 2 juni 2016.

- |                |   |                   |
|----------------|---|-------------------|
| 1. Nama        | : | Nurhidayah        |
| NIM / Semester | : | 60400112015 / VII |
| 2. Nama        | : | Susilas Tuti      |
| NIM / Semester | : | 60400112016 / VII |
| 3. Nama        | : | Nurhidayat        |
| NIM / Semester | : | 60400112014 / VII |
| 4. Nama        | : | Indah Permatasari |
| NIM / Semester | : | 60400112068 / VII |

Demikian surat keterangan ini kami buat dan dapat digunakan sebagaimana mestinya.





**KEMENTERIAN AGAMA  
UNIVERSITAS ISLAM NEGERI ALAUDDIN MAKASSAR  
FAKULTAS SAINS DAN TEKNOLOGI**

Kampus I : Jl. Sultan Alauddin No. 63 Makassar ■ (0411) 868720, Fax. (0411) 864923  
Kampus II : Jl. H.M. Yasin Limpo No.36, Romangpolong-Gowa ■ (0411) 841879, Fax. (0411) 8221400

Nomor : ST.V1.1/PP.009/ 802/2016  
Perihal : Penting  
Lamp : -  
Hal : Undangan Seminar Draft Skripsi

Samata Gowa, 19 Februari 2016

Kepada Yth.  
Bapak/Ibu Dosen /Mahasiswa (ii)  
Di -  
Makassar

**Assalamu Alaikum Wr. Wb.**

Dengan hormat, kami mengundang Bapak/Ibu/Mahasiswa (ii) untuk menghadiri  
Seminar Draft Skripsi Mahasiswa:

|               |   |   |
|---------------|---|---|
| Nama          | : | Silastuti   |
| NIM           | : | 60400112006   |
| Jurusan       | : | Fisika  |
| Judul Skripsi | : | "Survei Potensi Pasir Besi Dengan Metode Geomagnet Di<br>Kabupaten Bantaeng Sulawesi Selatan" |

Yang Insya Allah akan dilaksanakan pada :

|              |   |   |
|--------------|---|---|
| Hari/Tanggal | : | Senin/22 Februari 2016                  |
| Waktu        | : | 10.00-11.00 Wita                        |
| Tempat       | : | Fakultas Sainstek UIN Alauddin Makassar |

Demikian atas perhatian dan kehadirannya diucapkan terima kasih



Prof. Dr. H. Arifuddin, M.Ag.  
NIP. 19691205 199303 1 001

Tembusan :  
Mahasiswa ybs.



**KEMENTERIAN AGAMA  
UNIVERSITAS ISLAM NEGERI ALAUDDIN MAKASSAR  
FAKULTAS SAINS DAN TEKNOLOGI**

Kampus I : Jl. Sultan Alauddin No. 63 Makassar ■ (0411) 868720, Fax. (0411) 864923  
Kampus II : Jl. H.M. Yasin Limpo No.36, Romangporong Gowa ■ (0411) 841879, Fax. (0411) 8221400

Nomor : ST.VI.1/PP.009/10 T/2016  
Sifat : Penting  
Lamp : -  
Hal : Izin Penelitian  
Untuk Menyusun Skripsi

Makassar, 0/ Maret 2016

Kepada Yth.  
Kepala Pengelolah Pantai Marina Kab. Bantaeng,  
Di-  
Tempat

*Assalamu Alaikum Wr. Wb.*

Dengan hormat kami sampaikan, bahwa mahasiswa UIN Alauddin Makassar yang tersebut namanya di bawah ini :

|            |  |
|------------|--|
| Nama       | : Susilas Tutti  |
| NIM        | : 60400112006  |
| Semester   | : VII  |
| Fakultas   | : Sains & Teknologi UIN Alauddin Makassar                    |
| Jurusan    | : Fisika   |
| Pembimbing | 1. Muh. Said, L. S.Si., M.Pd.<br>2. Rahmannian, S.Si., M.Si. |

Bermaksud melakukan penelitian dalam rangka penyusunan Skripsi berjudul "Survey Potensi Bijih Besi Di Kabupaten Bantaeng Dengan Metode Geomagnetik" sebagai salah satu syarat penyelesaian Studi akhir Sarjana/S.1.

Untuk maksud tersebut kami mengharapkan kiranya kepada mahasiswa yang bersangkutan diberi izin untuk penelitian di Pantai Marina Kab. Bantaeng.

Demikian harapan kami, atas perhatian dan kerjasamanya kami ucapan terima kasih.



Tembusan:

1. Ketua Prodi/Jurusan Fisika Pak. Sainstek UIN Alauddin
2. Arsip



**KEPUTUSAN DEKAN FAKULTAS SAINS & TEKNOLOGI**

**UIN ALAUDDIN MAKASSAR**

**NOMOR : 953 TAHUN 2016**

**TENTANG**

**PANITIA UJIAN KOMPREHENSIF**

**JURUSAN FISIKA FAKULTAS SAINS DAN TEKNOLOGI**

**DEKAN FAKULTAS SAINS & TEKNOLOGI UIN ALAUDDIN MAKASSAR**

- Membaca  
Menimbang
- Surat permohonan Ujian Komprehensip : SUSILAS TUTI, NIM: 60400112006
  - Bahwa untuk pelaksanaan dan kelancaran ujian komprehensif perlu dibentuk panitia ujian
- Mengingat
- 1. Undang-undang No. 20 Tahun 2003 tentang Sistem Pendidikan Nasional;
  - 2. Peraturan Pemerintah Nomor 60 Tahun 1999 tentang Pendidikan Tinggi;
  - 3. Keputusan Presiden Nomor 57 Tahun 2005 tentang Perubahan Institut Agama Islam Negeri Alauddin menjadi Universitas Islam Negeri Alauddin Makassar;
  - 4. Keputusan Menteri Agama RI Nomor 2 Tahun 2006 tentang Mekanisme Pelaksanaan Pembayaran atas Bahan Anggaran Pendapatan dan Belanja Negara di Lingkungan Kementerian Agama;
  - 5. Keputusan Menteri Agama RI. Nomor 20 Tahun 2014 tentang Statuta UIN Alauddin Makassar;
  - 6. Keputusan Menteri Agama RI. No. 25 Tahun 2013 tentang Organisasi dan Tata Kerja UIN Alauddin Makassar
  - 7. Surat Keputusan Rektor UIN Alauddin No.129 C tahun 2013

**MEMUTUSKAN**

- Menetapkan
- 1. Membentuk Panitia Ujian Komprehensif, Jurusan Fisika Fakultas Sains dan Teknologi UIN Alauddin Makassar dengan komposisi:
    - Ketua : Dr.Hj.Wasilah,S.T., M.T.
    - Sekertaris : Nassar,S.Ag.
    - Pengaji I : Dr.Sohrah,M.Ag.
    - Pengaji II : Muh.Sald L, S.Si., M.Pd.
    - Pengaji III : Rahmaniah,S.Si., M.Si.
    - Pelaksana : Agusdin,S.Sos.
  - 2. Panitia bertugas melaksanaan ujian
  - 3. Biaya pelaksanaan ujian dibebankan kepada anggaran Fakultas Sains dan Teknologi UIN Alauddin Makassar.
  - 4. Panitia dianggap bubar setelah menyelesaikan tugasnya.
  - 5. Apabila dikemudian hari ternyata terdapat kekeliruan dalam surat keputusan ini akan diubah dan diperbaiki sebagaimana mestinya.

Surat keputusan ini disampaikan kepada yang bersangkutan untuk diketahui dan dilaksanakan dengan penuh rasa tanggung jawab.

Ditetapkan di  
Pada tanggal

: Makassar  
: 09-Jun-16





KEMENTERIAN AGAMA R.I.  
UNIVERSITAS ISLAM NEGERI (UIN) ALAUDDIN MAKASSAR  
FAKULTAS SAINS DAN TEKNOLOGI

Kampus I: Jl. Sultan Alauddin No.63 Telp. 864924 ( Fax 864923 )  
Kampus II: Jl. Sultan Alauddin No.36 Telp. 5622375-424835 ( Fax 424836 )

Nomor : ST.VI.1/ PP.00.9/2306/2016 Samata Gowa, 12 Agustus 2016  
Sifat : Penting  
Lamp : -  
Hal : Undangan Seminar Hasil

Kepada Ythp

Bapak/Ibu/Mahasiswa(i)  
Di-  
Makassar

**Assalamu Alai'kum Wr. Wb.**

Dengan hormat, kami mengundang Bapak/Ibu/Mahasiswa (i) untuk menghadiri Seminar Hasil Penelitian Mahasiswa:

|               |   |  |
|---------------|---|--|
| Nama          | : | Susilas Tuti   |
| NIM           | : | 60400112006  |
| Jurusan       | : | Fisika   |
| Judul Skripsi | : | Survey Biji Besi di Kabupaten Bantaeng dengan Menggunakan Metode Geomagnet |

Yang Insya Allah akan dilaksanakan pada :

|             |   |                          |
|-------------|---|--------------------------|
| Har/Tanggal | : | Selasa/16 Agustus 2016   |
| Waktu       | : | 10.00-11.00 Wita         |
| Tempat      | : | Fak. Sains dan Teknologi |

Demikian atas perhatiannya kami diucapkan terima kasih.

**Wassalam**



*Prof.Dr.H.Arifuddin,M.Ag.  
NIP.10691205 199303 1 001*

**Tembusan :**  
Mahasiswa ybs

**UIN ALAUDDIN MAKASSAR**  
**NOMOR : 1234 TAHUN 2016**

**TENTANG**

**PANITIA SEMINAR HASIL PENELITIAN DAN PENYUSUNAN SKRIPSI MAHASISWA  
SAINS & TEKNOLOGI UIN ALAUDDIN MAKASSAR**

**DEKAN FAKULTAS SAINS & TEKNOLOGI UIN ALAUDDIN MAKASSAR**

- Membaca : Surat Permohonan **SUSILAS TUTI**, NIM 60400112006, tertanggal 09-Agust-16, untuk melaksanakan seminar Hasil .
- Menimbang : Bahwa untuk pelaksanaan dan kelancaran seminar draft/hasil, perlu dibentuk panitia seminar Hasil dan penyusunan skripsi
- Mengingat : 1. Undang-undang No. 20 Tahun 2003 tentang Sistem Pendidikan Nasional;  
2. Peraturan Pemerintah Nomor 60 Tahun 1999 tentang Pendidikan Tinggi;  
3. Keputusan Presiden Nomor 17 Tahun 2000 tentang pelaksanaan Anggaran Pendapatan dan Belanja Negara;  
4. Keputusan Menteri Agama Nomor: 289 Tahun 1993 JO Nomor: 202-B Tahun 1998 tentang Pemberian Kuasa dan Pendeklegasian Wewenang Menandatangani Surat Keputusan  
5. Keputusan Menteri Agama Nomor: 2 Tahun 2006 tentang Pedoman Pembayaran dalam Pelaksanaan Anggaran Pendapatan dan Belanja Negara di Lingkungan Departemen Agama  
6. Keputusan Menteri Agama RI. No. 25 Tahun 2013 tentang Organisasi dan Tata Kerja UIN Alauddin Makassar  
7. Keputusan Menteri Agama RI. Nomor 20 Tahun 2014 tentang Statuta UIN Alauddin Makassar;  
8. Keputusan Menteri Keuangan No.330/05/2008 tentang penetapan UIN Alauddin Makassar pada Dep.Agama sebagai Instansi Pemerintah yang Menerapkan Pengelolaan Badan Layanan Umum (BLU)

**MEMUTUSKAN**

Menetapkan Pertama : Membentuk Panitia Seminar Proposal, Jurusan Fisika Fakultas Sains dan Teknologi UIN Alauddin Makassar dengan komposisi :

Ketua : Iswadi, S.Pd., M.Si.  
Sekertaris : Ihsan, S.Pd., M.Si.  
Pembimbing I : Muh.Said I, S.Si., M.Pd.  
Pembimbing II : Rahmaniah, S. Si., M.Si  
Pengaji I : Sahara,S.Si., M.Sc., Ph.D.  
Pengaji II : Ayusari Wahyuni,S.Si., M.Sc.  
Pengaji III : Dr.Sohrah,M.Ag.  
Pelaksana : Hapsah,S.T.

Kedua : 1. Panitia bertugas melaksanakan seminar draft/hasil, memberi bimbingan, petunjuk-petunjuk, perbaikan mengenai materi, metode, bahasa dan kemampuan menguasai masalah penyusunan skripsi  
2. Biaya pelaksanaan seminar draft penelitian dibebankan kepada anggaran Fakultas Sains dan Teknologi UIN Alauddin Makassar  
3. Apabila dikemudian hari ternyata terdapat kekeliruan dalam surat keputusan ini akan diubah dan diperbaiki sebagaimana mestinya

Surat Keputusan ini disampaikan kepada yang bersangkutan untuk diketahui dan dilaksanakan dengan penuh tanggungjawab.

Diteta pkan di : Makassar  
Pada tanggal : 09-Agust-16



